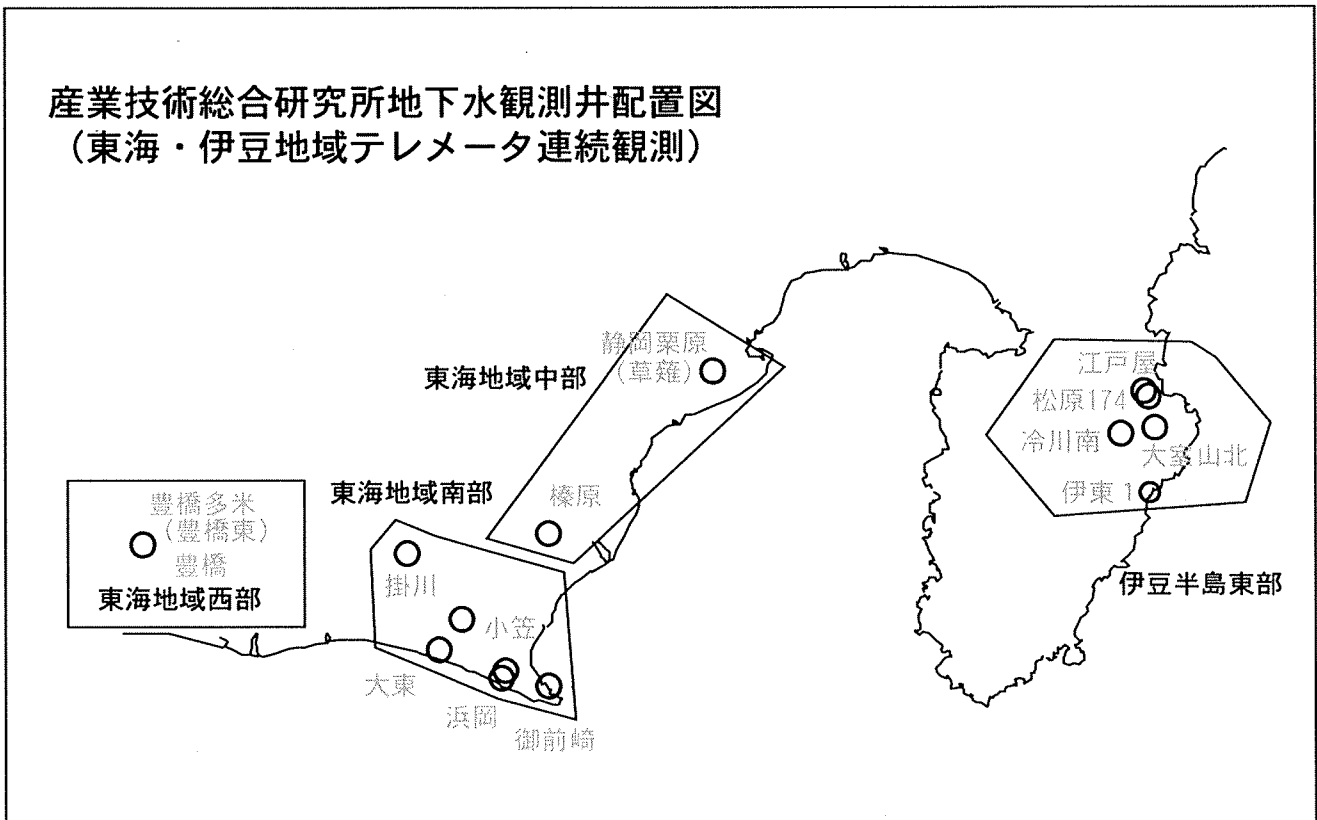


東海・伊豆地域等の地下水観測結果



【資料目次】

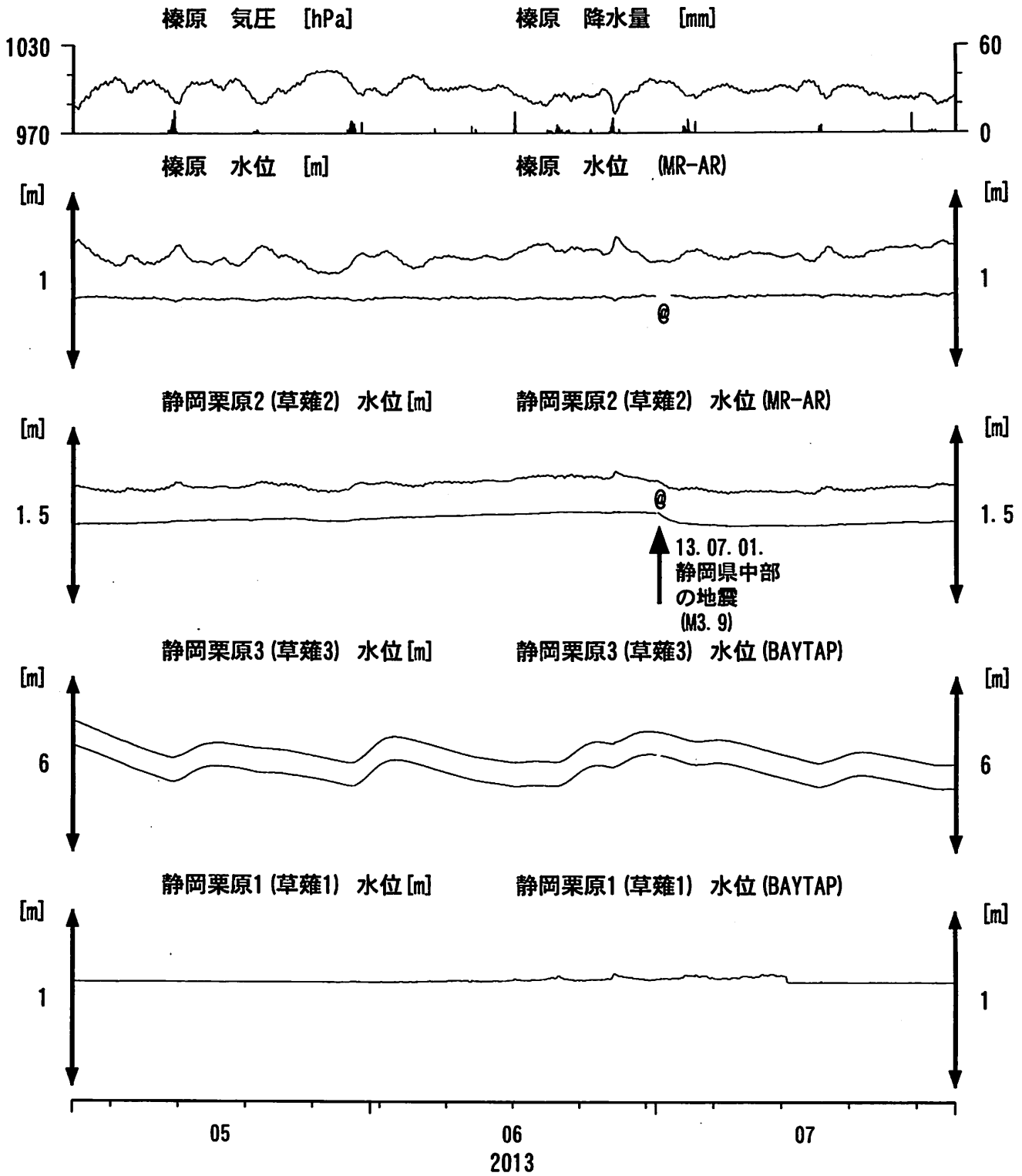
表紙

1. 東海地域中部 [榛原, 静岡栗原(草薙)] 地下水 3成分歪;中期
2. 東海地域中部 [榛原, 静岡栗原(草薙)] 地下水 3成分歪;長期
3. 東海地域南部 [大東, 小笠, 浜岡, 御前崎] 地下水;中期
4. 東海地域南部 [大東, 小笠, 浜岡, 御前崎] 地下水;長期
- 4-b. 東海地域南部 [浜岡] 地下水・沈下;長期
- 4-c. 東海地域南部 [掛川] 地下水・沈下;長期
5. 東海地域西部 [豊橋, 豊橋多米(豊橋東)] 地下水・歪・傾斜;中期
- 5-b. 東海地域西部 [豊橋多米(豊橋東)] 歪等;中期
6. 東海地域西部 [豊橋・豊橋多米(豊橋東)] 地下水・歪・傾斜;長期
- 6-b. 東海地域西部 [豊橋多米(豊橋東)] 歪等;長期
7. 伊豆半島東部 [松原174, 江戸屋, 大室山北, 冷川南, 伊東1] 地下水;中期
8. 伊豆半島東部 [松原174, 江戸屋, 大室山北, 冷川南, 伊東1] 地下水;長期
9. 関東地域 [つくば1] 地下水;中期
10. 関東地域 [つくば1] 地下水;長期

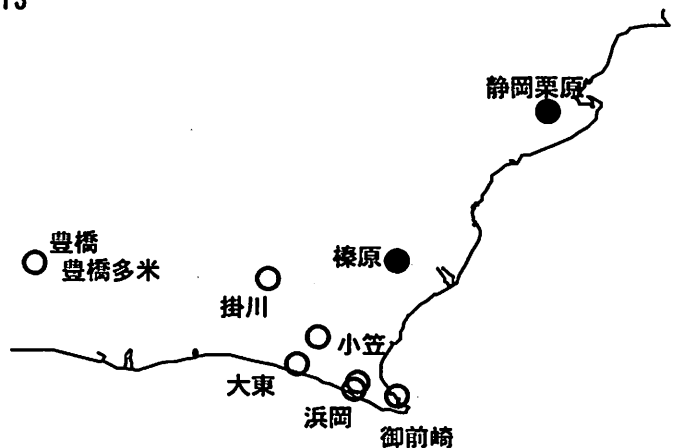
別紙

- ・榛原・浜岡の降雨グラフ

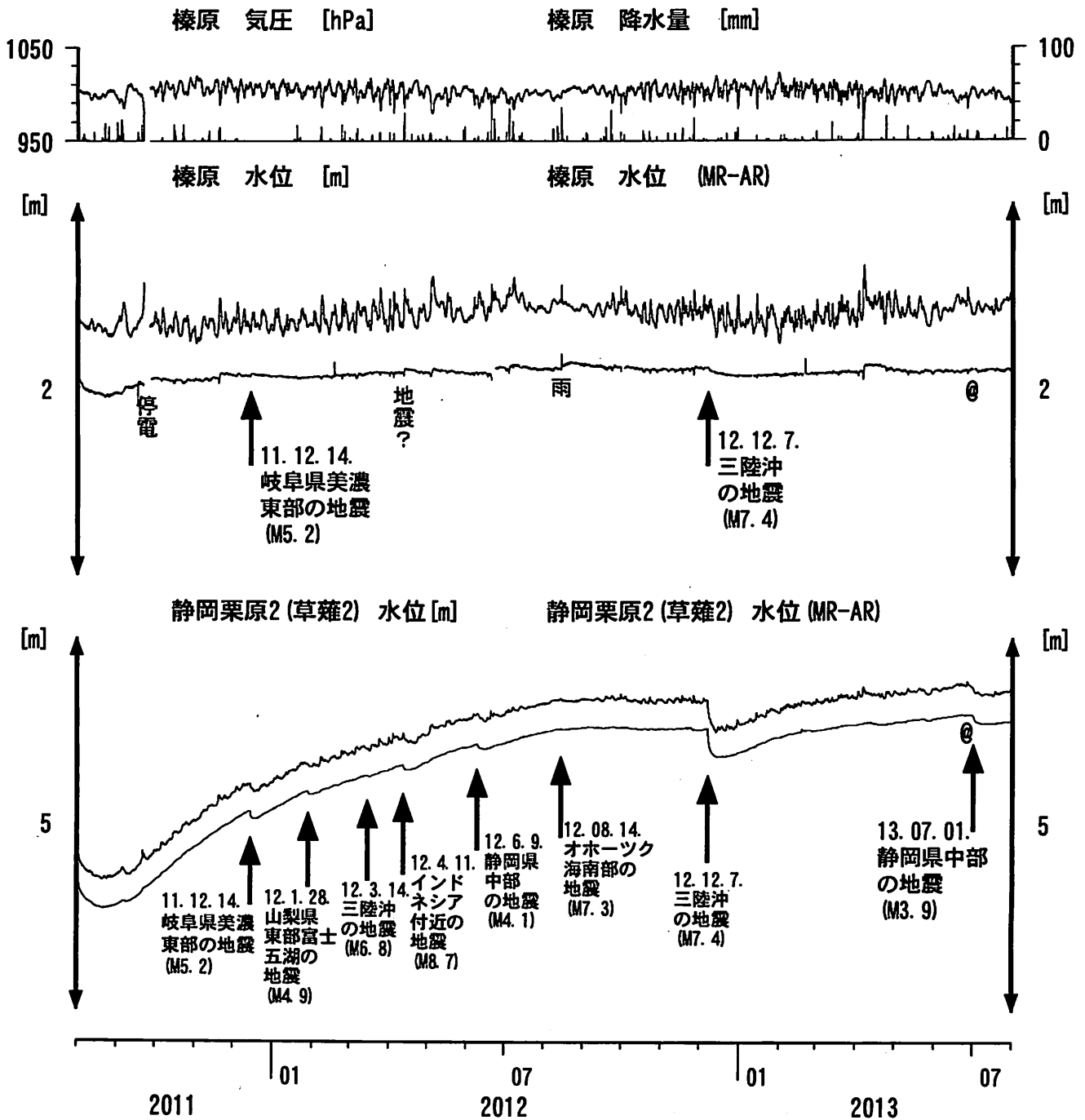
東海地域中部（榛原・草薙）中期 （時間値）
 (2013/05/01 00:00 - 2013/08/01 00:00 (JST))



コメント：*;雨量補正不十分. \$;保守.
 @;月初めの補正値のギャップは,
 解析プログラムの見かけ上のものである.



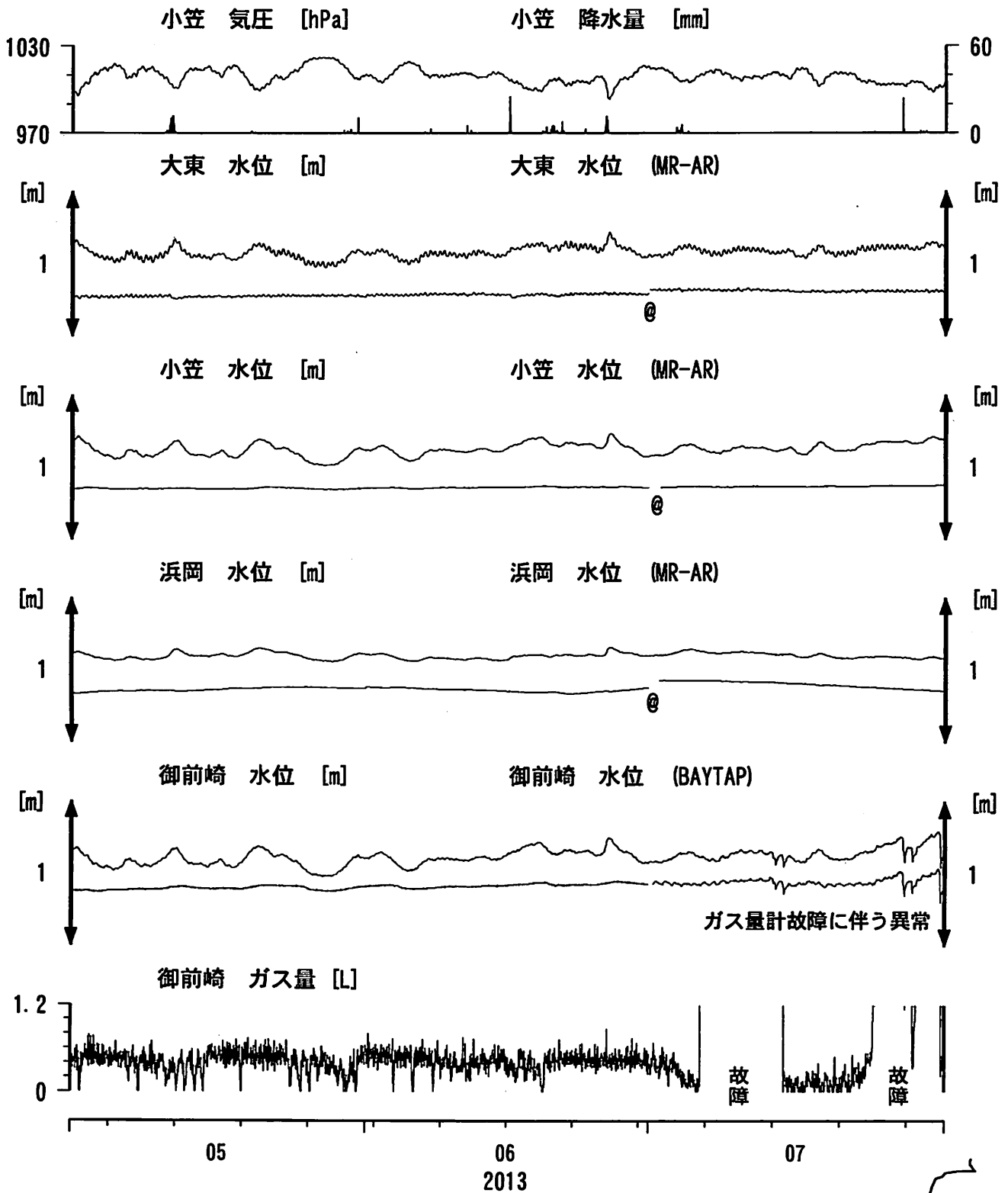
東海地域中部 (榛原・草薙) 長期 (時間値) (2011/08/01 00:00 - 2013/08/01 00:00 (JST))



コメント：*;雨量補正不十分。?;原因不明.



東海地域南部 地下水観測結果 中期 (時間値)
 (2013/05/01 00:00 - 2013/08/01 00:00 (JST))

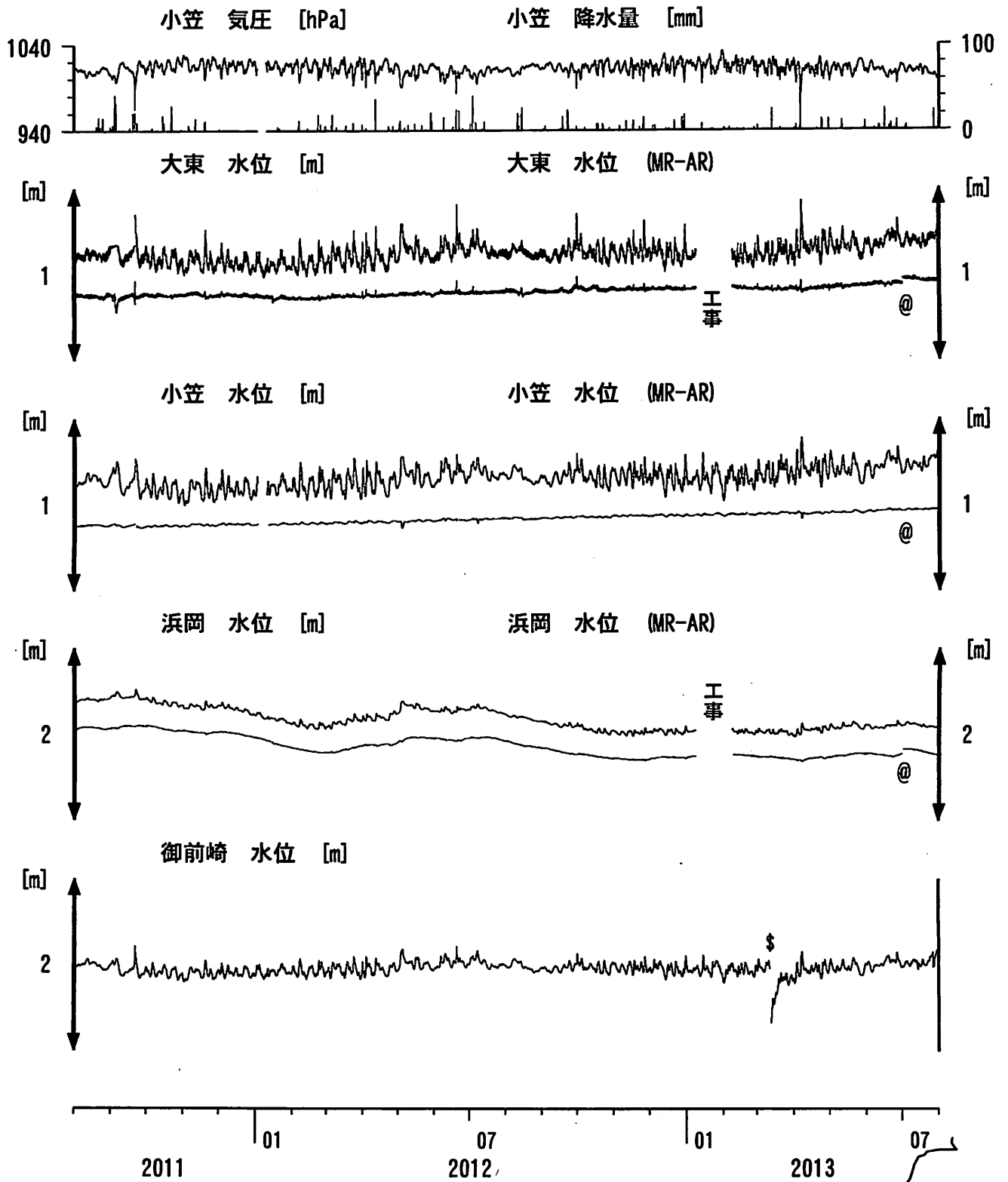


コメント:

*:雨量補正不十分, \$:保守. ?;不明.
 @;月初めの補正値のギャップは,
 解析プログラムの見かけ上のものである.
 2013年7月6日に御前崎のガス流量計が故障.

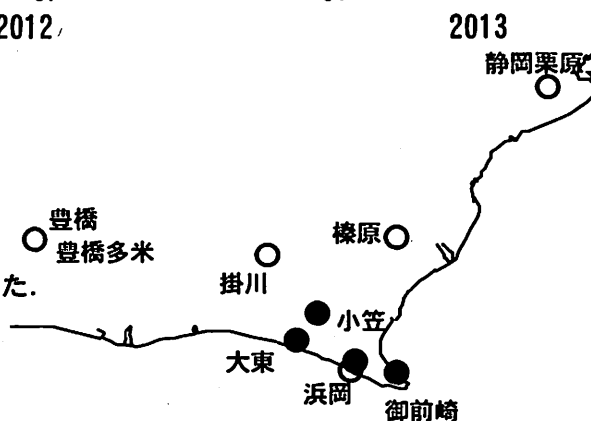


東海地域南部 地下水観測結果 長期 (時間値) (2011/08/01 00:00 - 2013/08/01 00:00 (JST))

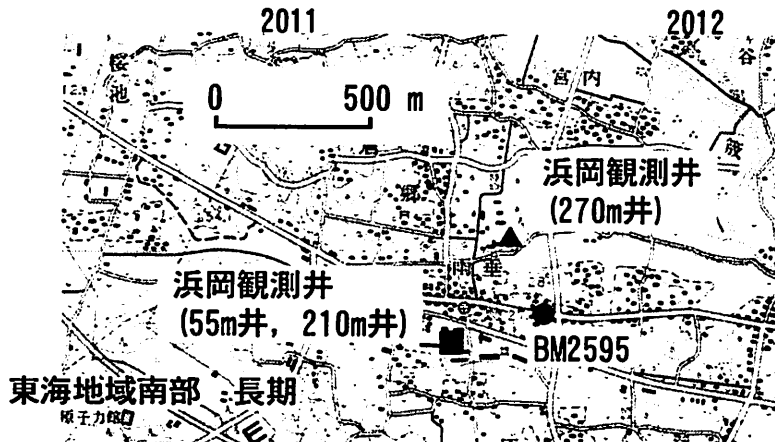
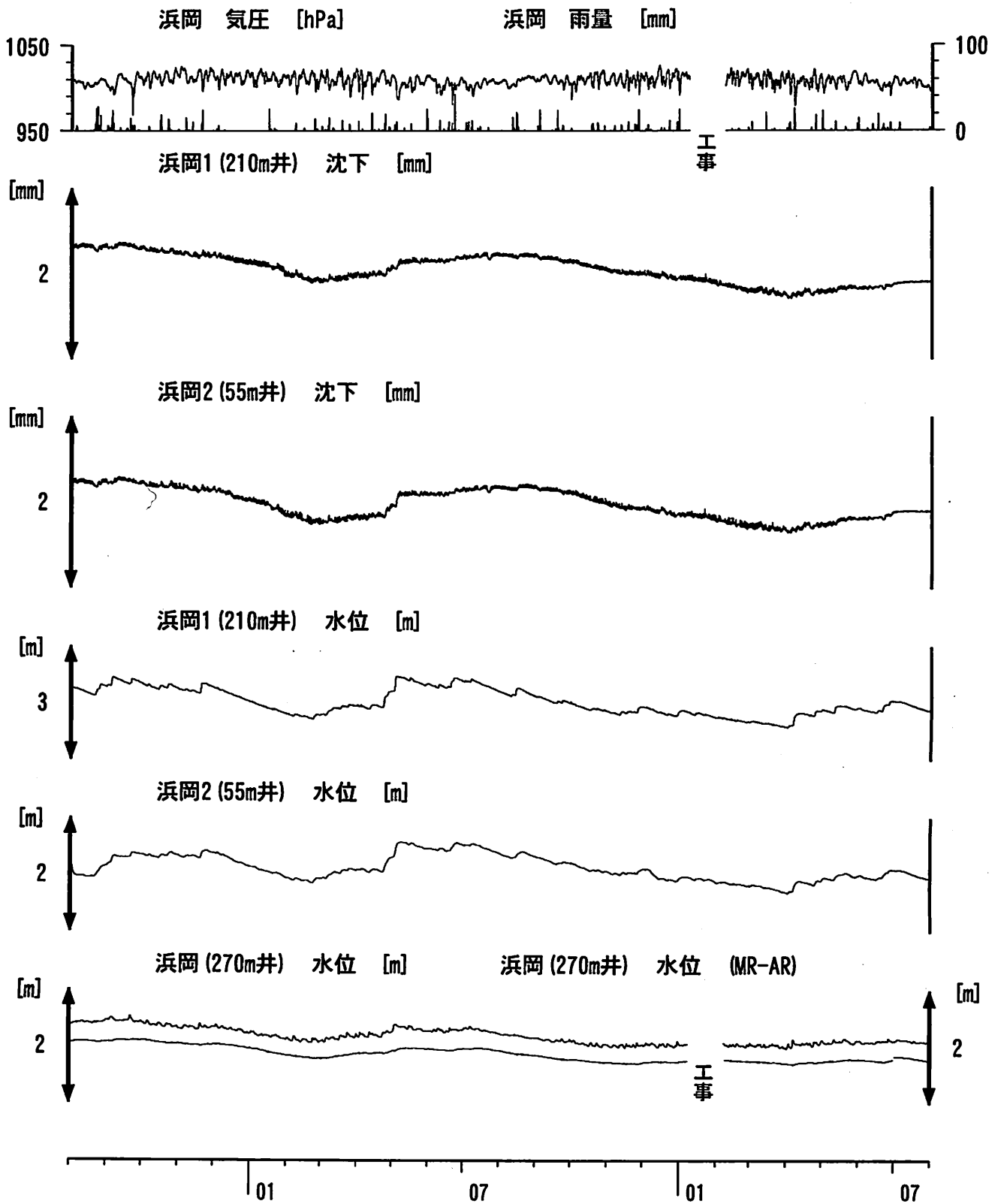


コメント:

*;雨量補正不十分. \$;保守.
 @;月初めの補正值のギャップは、
 解析プログラムの見かけ上のものである。
 大東・小笠の井戸口から水が時々溢れるよう
 になったので、2011年9月21日に井戸口の管を延長した。
 2013年1月8日～2月9日の大東と浜岡は、
 観測小屋老朽化のため建替工事で欠測。



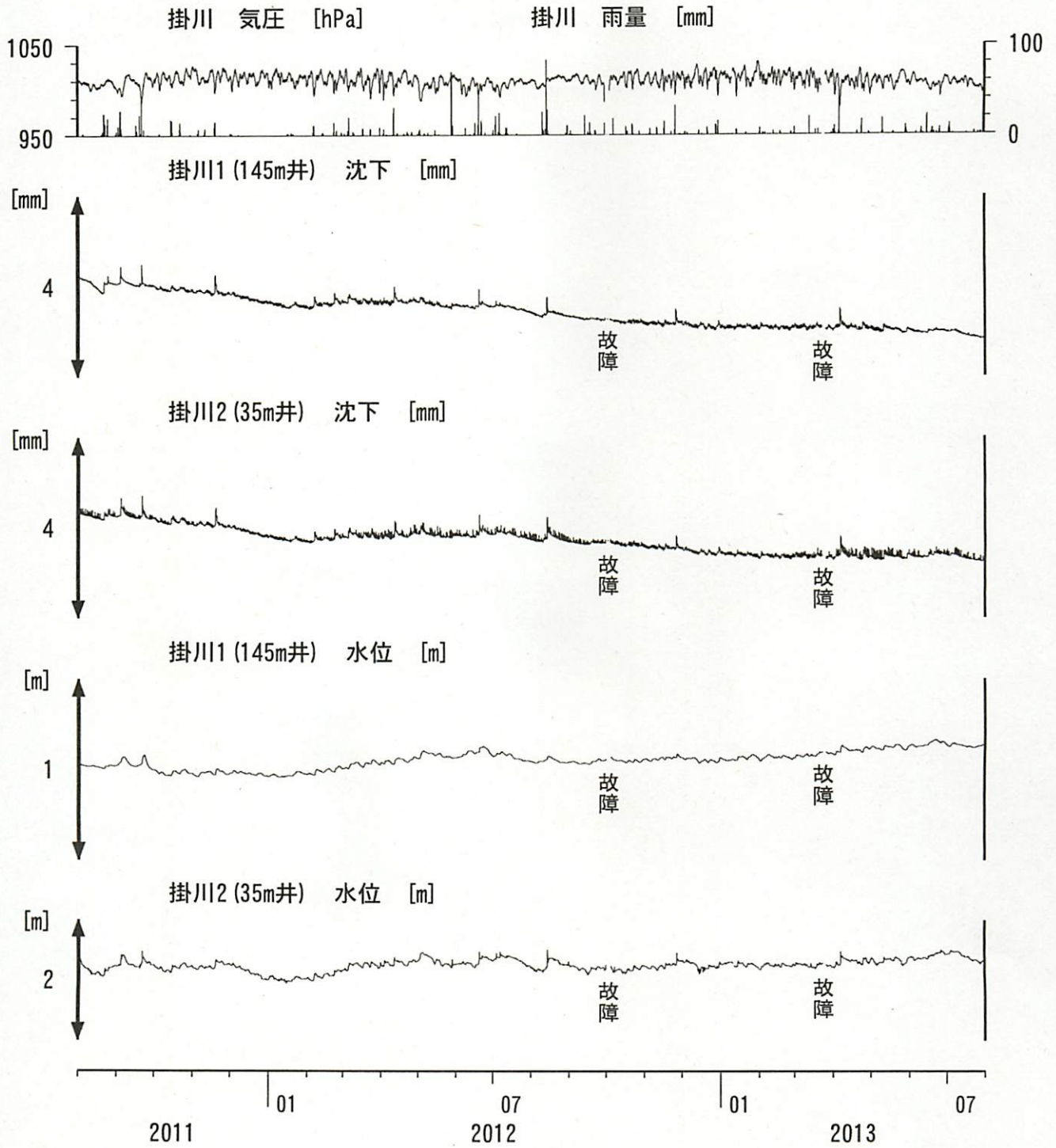
浜岡沈下・水位 (時間値) (2011/08/01 00:00 - 2013/08/01 00:00 (JST))



コメント: \$;保守.



掛川沈下・水位 (時間値) (2011/08/01 00:00 - 2013/08/01 00:00 (JST))



コメント：\$;保守。
?;原因不明。



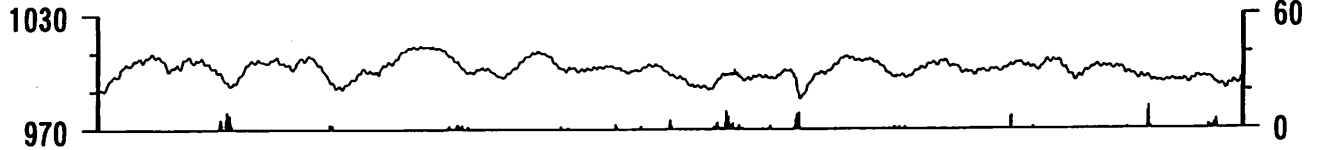
0 500 m



東海地域西部（豊橋・豊橋東）中期（時間値）
 (2013/05/01 00:00 - 2013/08/01 00:00 (JST))

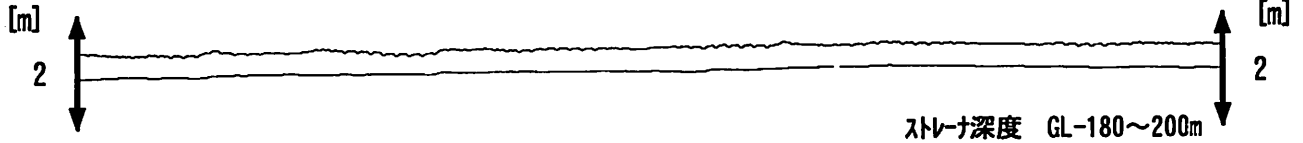
豊橋 気圧 [hPa]

豊橋 雨量 [mm]



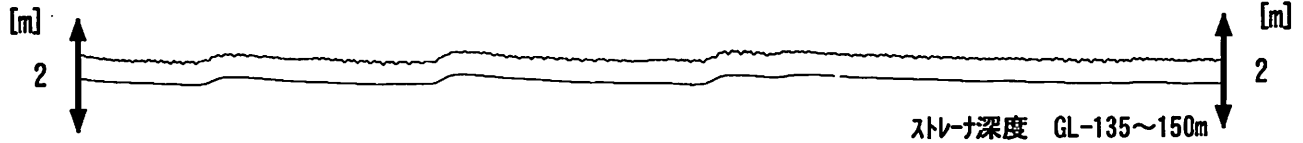
豊橋1 水位 [m]

豊橋1 水位 (BAYTAP)



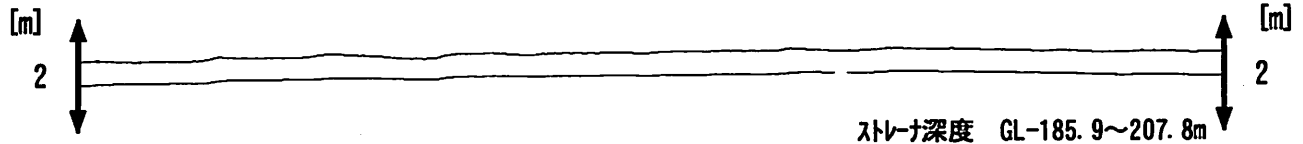
豊橋2 水位 [m]

豊橋2 水位 (BAYTAP)

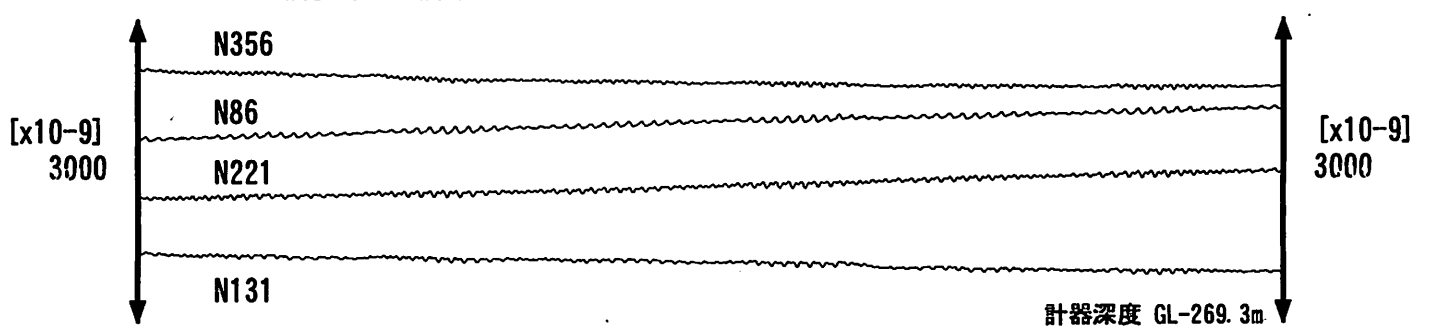


豊橋多米 (豊橋東) 水位 [m]

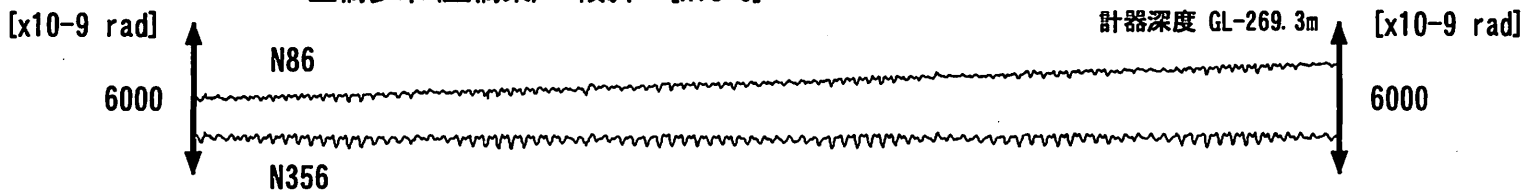
豊橋多米 (豊橋東) 水位 (BAYTAP)



豊橋多米 (豊橋東) 歪 [x10-9]



豊橋多米 (豊橋東) 傾斜 [x10-9]



05

06
2013

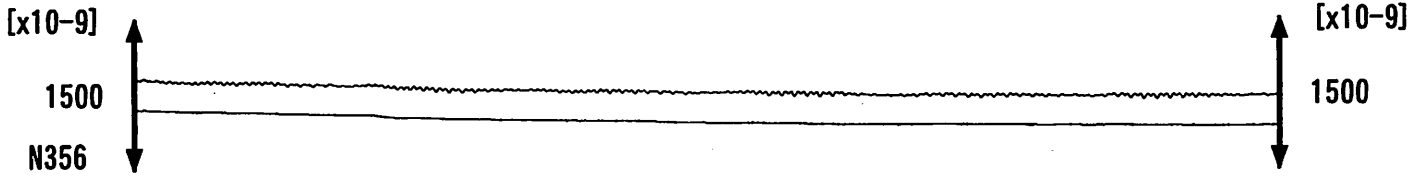
07

コメント: \$; 保守. ?; 原因不明.

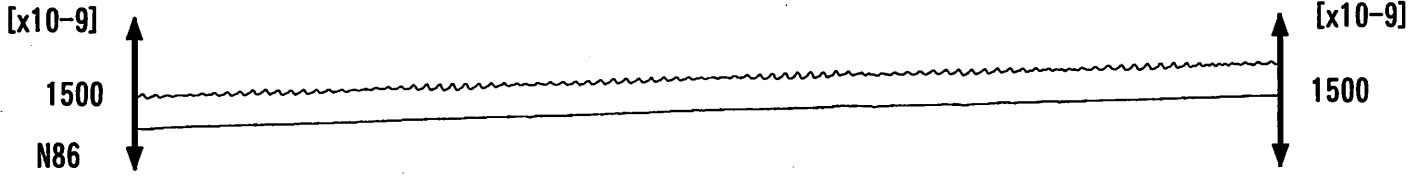


東海地域西部 (豊橋東 歪) 中期 (時間値)
 (2013/05/01 00:00 - 2013/08/01 00:00 (JST))

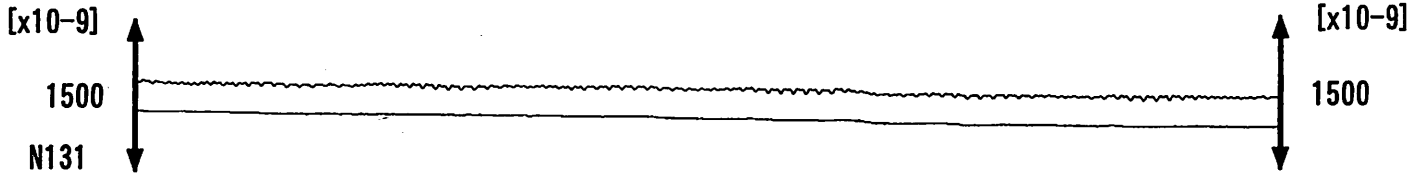
豊橋多米 (豊橋東) 歪N356E [x10⁻⁹] 豊橋多米 (豊橋東) 歪N356E (BAYTAP)



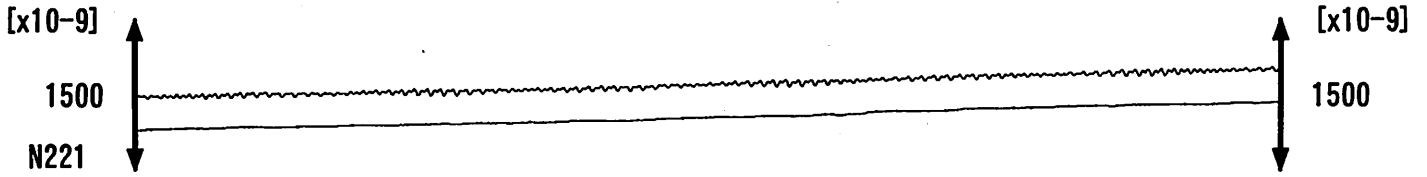
豊橋多米 (豊橋東) 歪N86E [x10⁻⁹] 豊橋多米 (豊橋東) 歪N86E (BAYTAP)



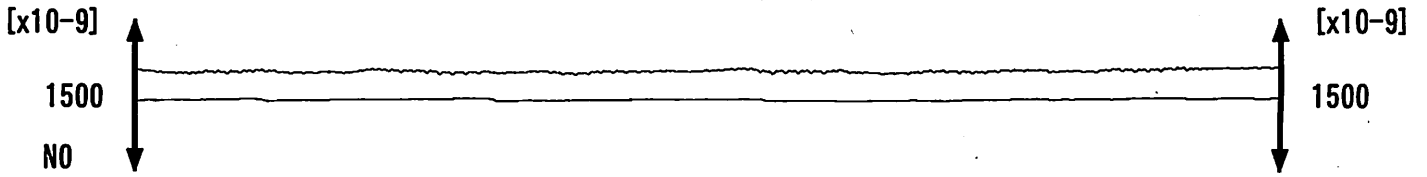
豊橋多米 (豊橋東) 歪N131E [x10⁻⁹] 豊橋多米 (豊橋東) 歪N131E (BAYTAP)



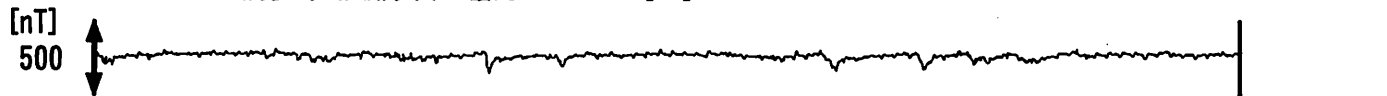
豊橋多米 (豊橋東) 歪N221E [x10⁻⁹] 豊橋多米 (豊橋東) 歪N221E (BAYTAP)



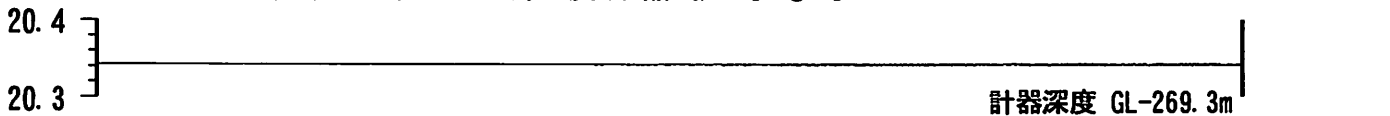
豊橋多米 (豊橋東) 歪鉛直 [x10⁻⁹] 豊橋多米 (豊橋東) 歪鉛直 (BAYTAP)



豊橋多米 (豊橋東) 磁力 N356E [nT]

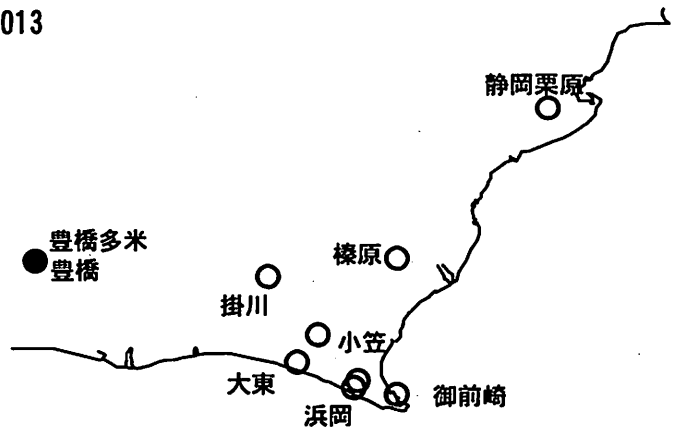


豊橋多米 (豊橋東) 歪計温度 (水晶式) [deg. C]



05 06 07
2013

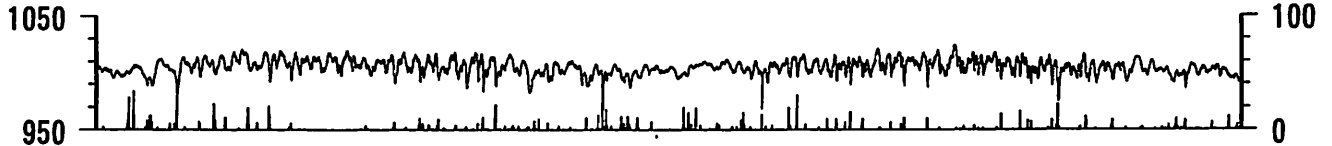
コメント: \$;保守. ?;原因不明.



東海地域西部 (豊橋・豊橋東) 長期 (時間値)
 (2011/08/01 00:00 - 2013/08/01 00:00 (JST))

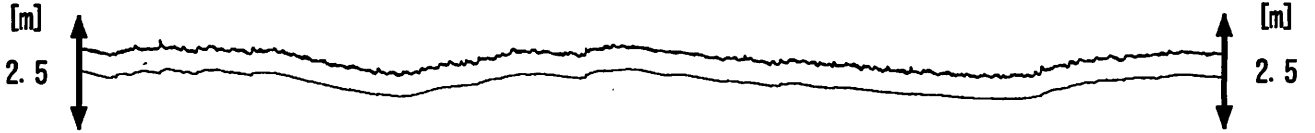
豊橋 気圧 [hPa]

豊橋 雨量 [mm]



豊橋1 水位 [m]

豊橋1 水位 (BAYTAP)



豊橋2 水位 [m]

豊橋2 水位 (BAYTAP)

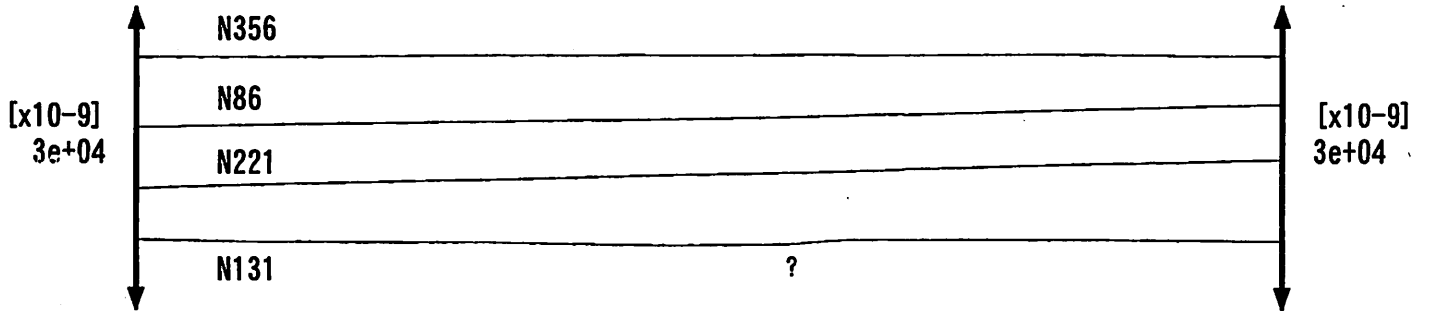


豊橋多米 (豊橋東) 水位 [m]

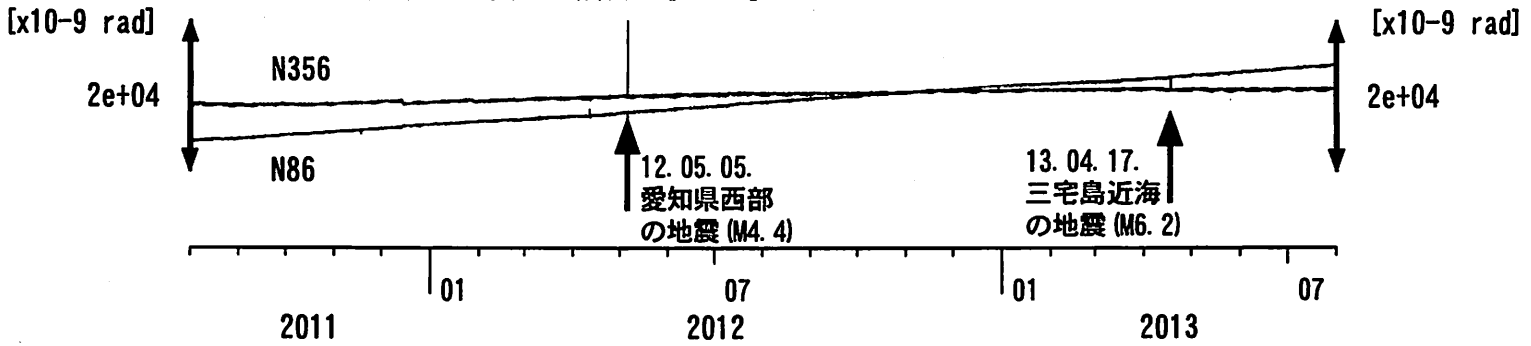
豊橋多米 (豊橋東) 水位 (BAYTAP)



豊橋多米 (豊橋東) 歪 [x10⁻⁹]



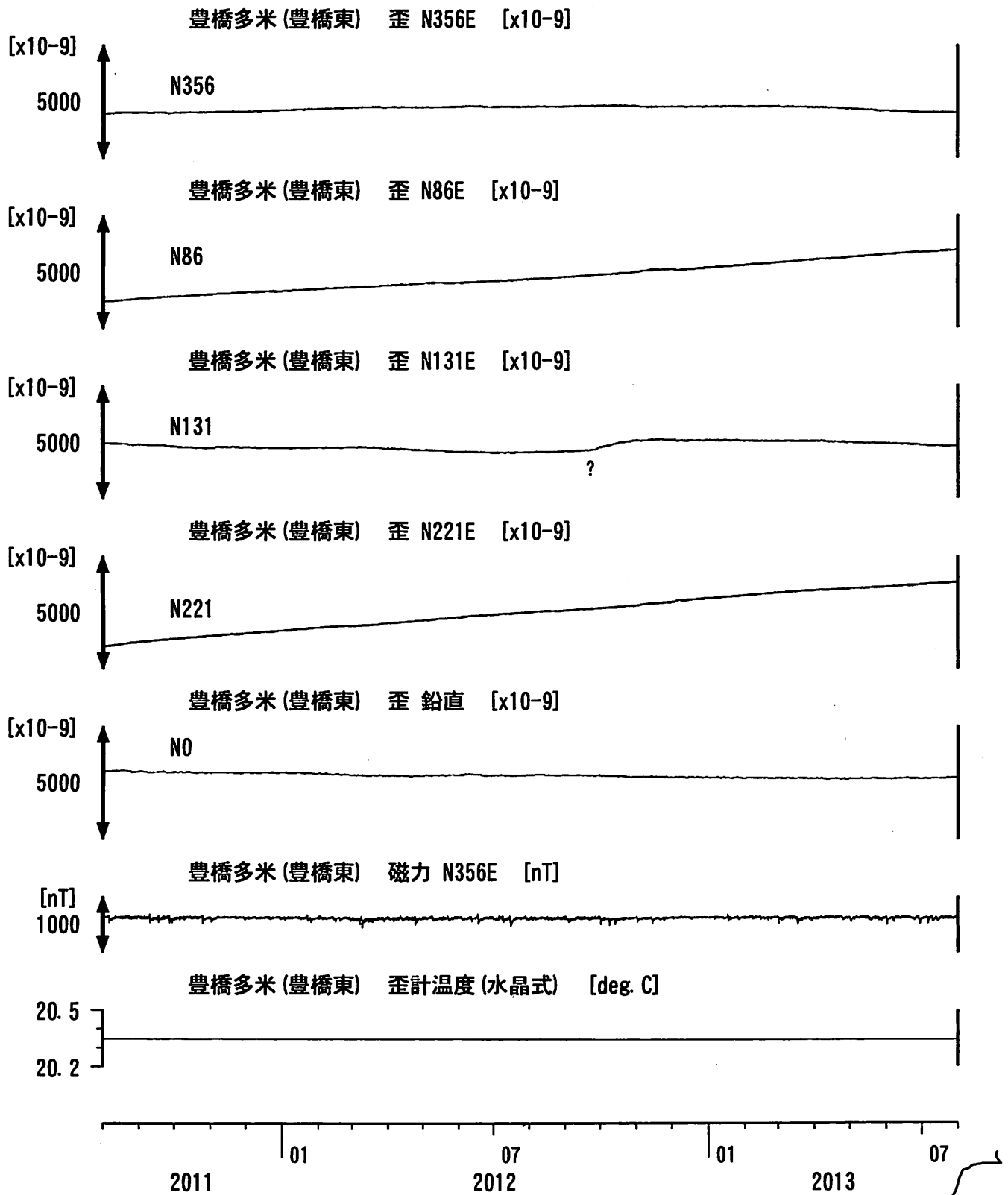
豊橋多米 (豊橋東) 傾斜 [x10⁻⁹]



コメント: \$; 保守. ?; 原因不明.



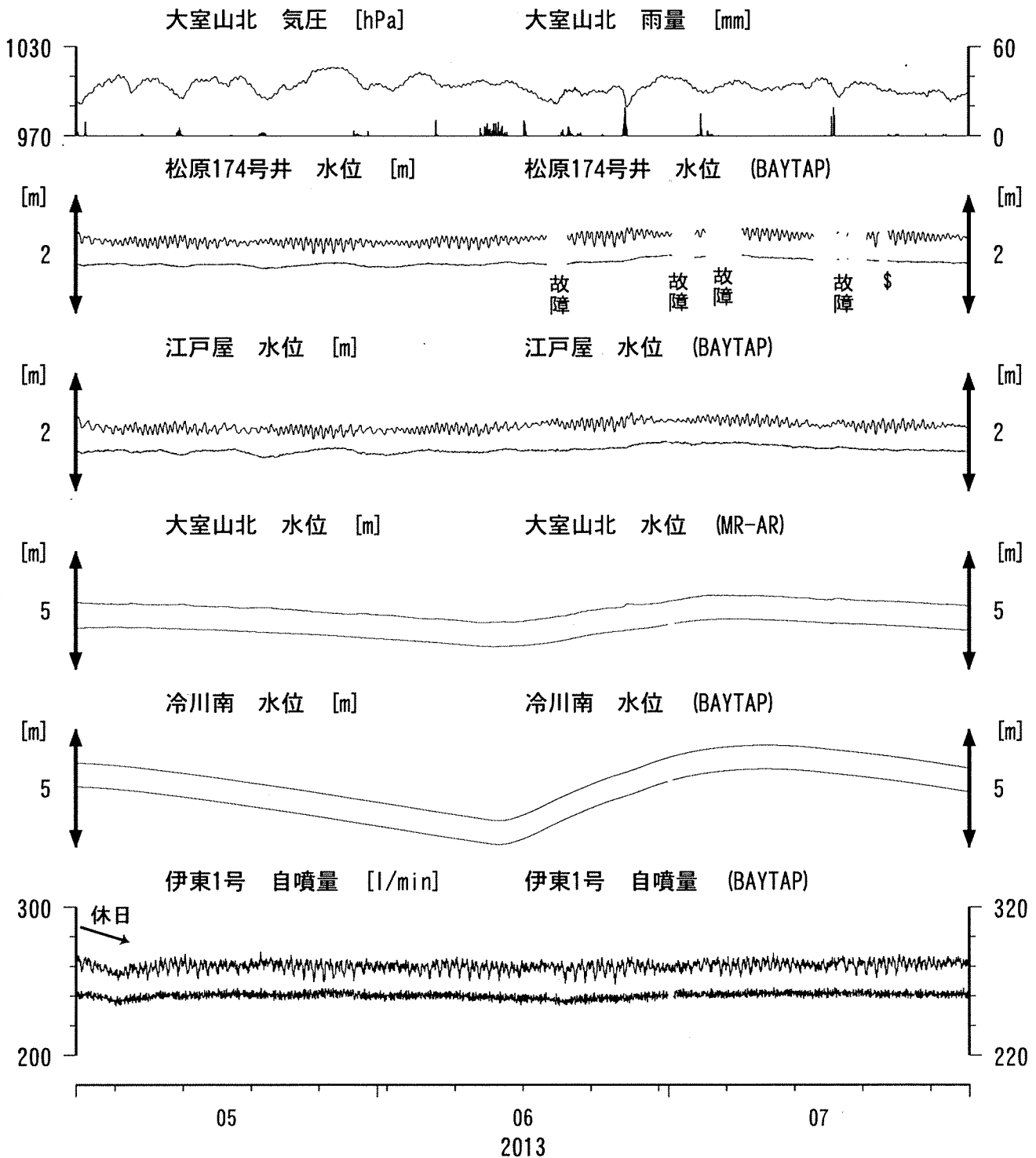
東海地域西部 (豊橋東 歪) 長期 (時間値)
 (2011/08/01 00:00 - 2013/08/01 00:00 (JST))



コメント: \$; 保守. ?; 原因不明.



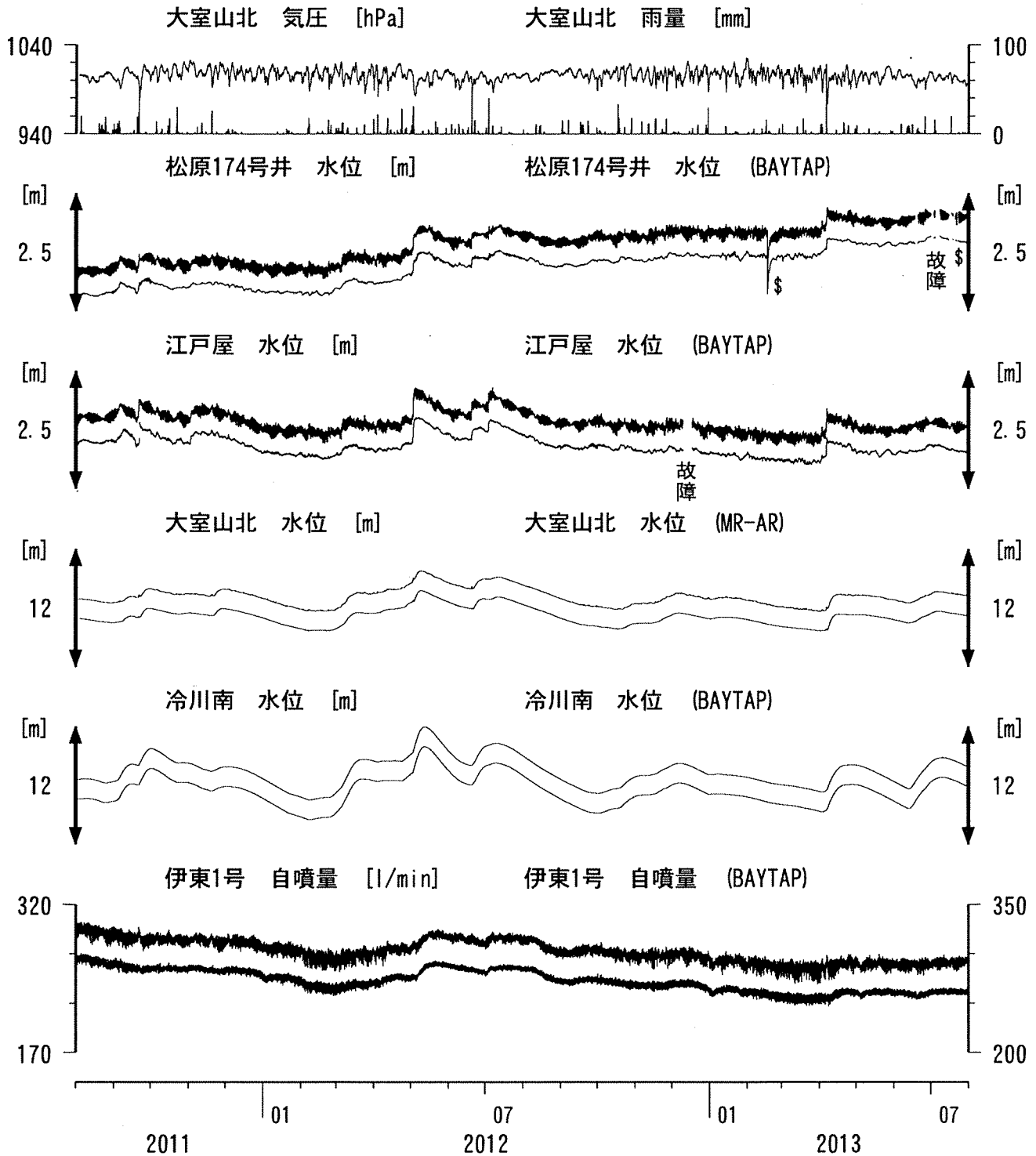
伊豆半島東部 地下水位・自噴量 中期 (時間値) (2013/05/01 00:00 - 2013/08/01 00:00 (JST))



コメント：\$;保守. ?;原因不明.
 松原174号井は静岡県による観測.
 伊東1は、休日・年末年始に周囲の
 温泉使用量が増加するため、自噴量が減少する。
 伊東1の自噴量は、量が少なくなると
 配管構造のため、見かけ上、値がばらつく。



伊豆半島東部 地下水位・自噴量 長期 (時間値) (2011/08/01 00:00 - 2013/08/01 00:00 (JST))

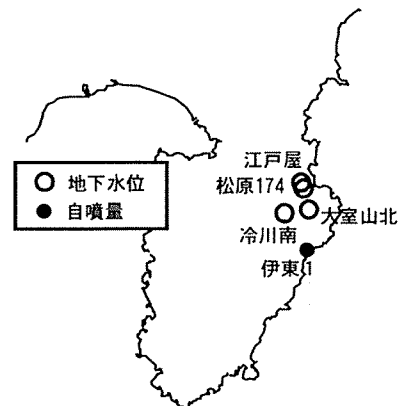


コメント：\$;保守. ?;原因不明.

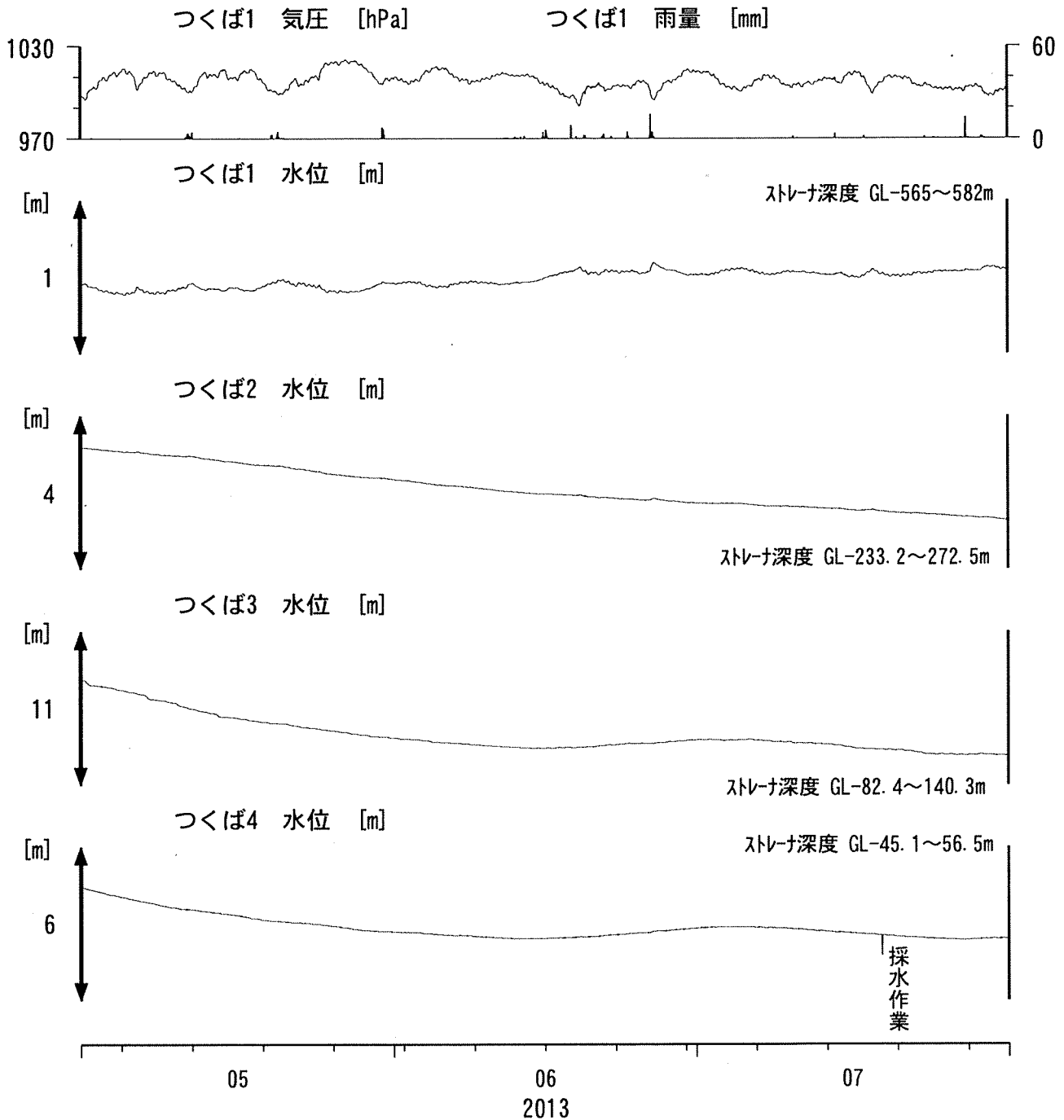
松原174号井は静岡県による観測.

伊東1は、休日・年末年始に周囲の温泉使用量が増加するため、自噴量が減少する.

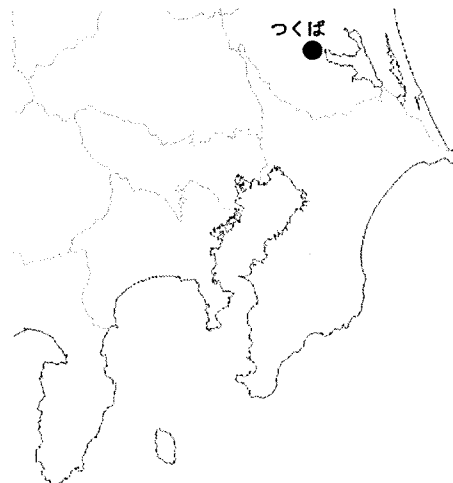
伊東1の自噴量は、量が少なくなると配管構造のため、見かけ上、値がばらつく.



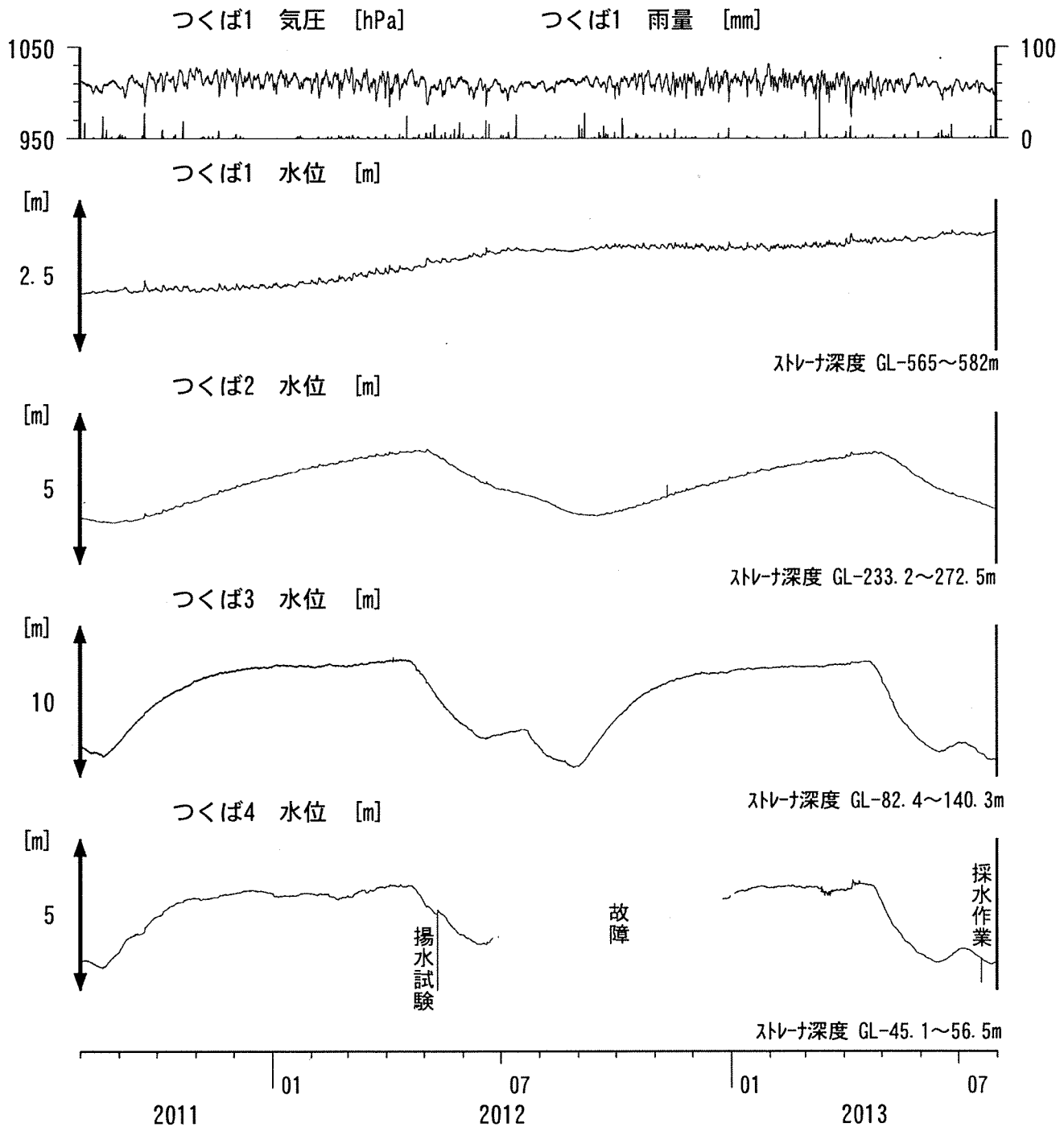
関東地域 地下水観測結果 中期 (時間値)
 (2013/05/01 00:00 - 2013/08/01 00:00 (JST))



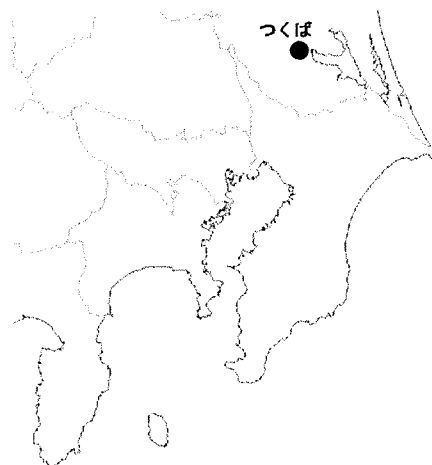
コメント：\$;保守。
 つくば2~4の水位が、例年春~秋に低下するのは、
 周囲の揚水によると考えられる。



関東地域 地下水観測結果 長期 (時間値)
 (2011/08/01 00:00 - 2013/08/01 00:00 (JST))

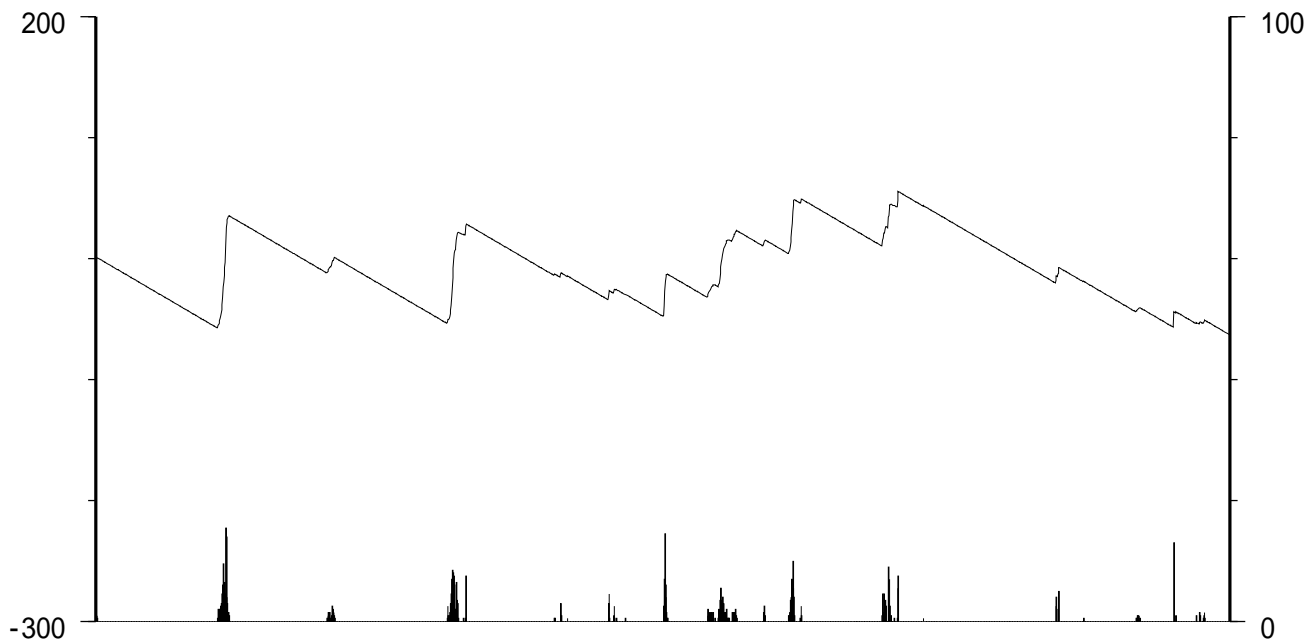


コメント：\$;保守。
 つくば2~4の水位が、例年春~秋に低下するのは、
 周囲の揚水によると考えられる。
 2012年7月頃から不調だった孔4水位計は
 2013年3月13日に交換した。

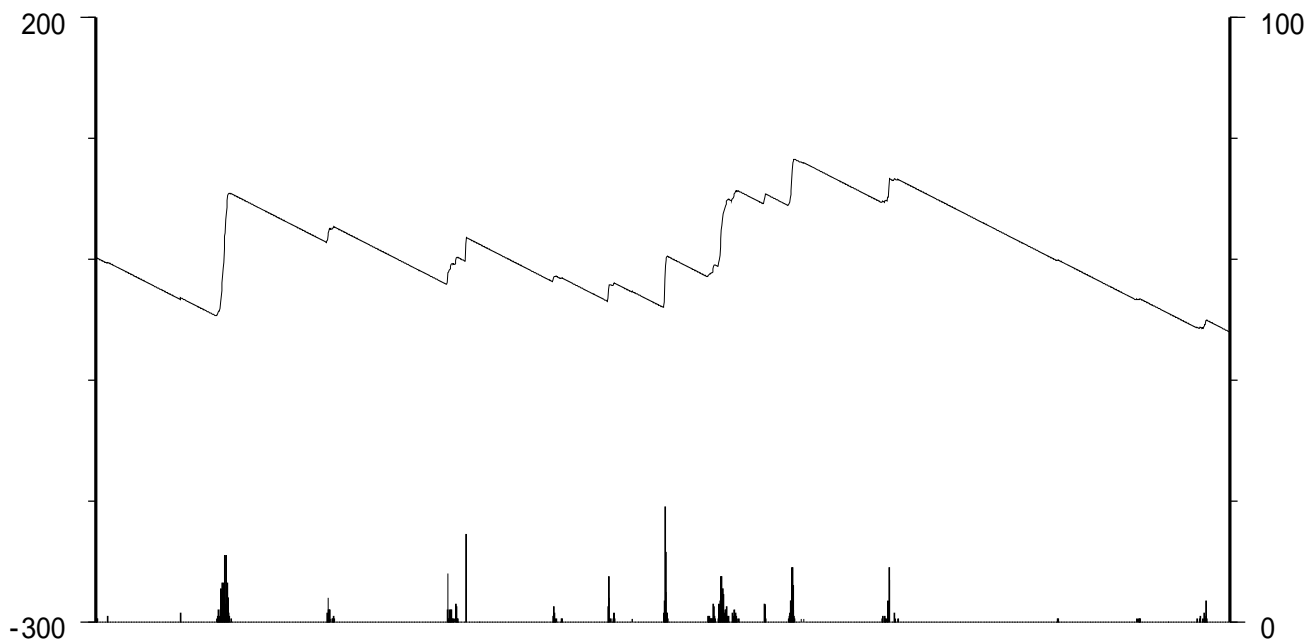


榛原・浜岡観測井 直近3ヶ月の積算降雨量トレンド除去グラフ [mm]
(2013/05/01 00:00 - 2013/08/01 00:00 (JST))

榛原 降水量(積算) [mm] (時間値)



浜岡 降水量(積算) [mm] (時間値)



05

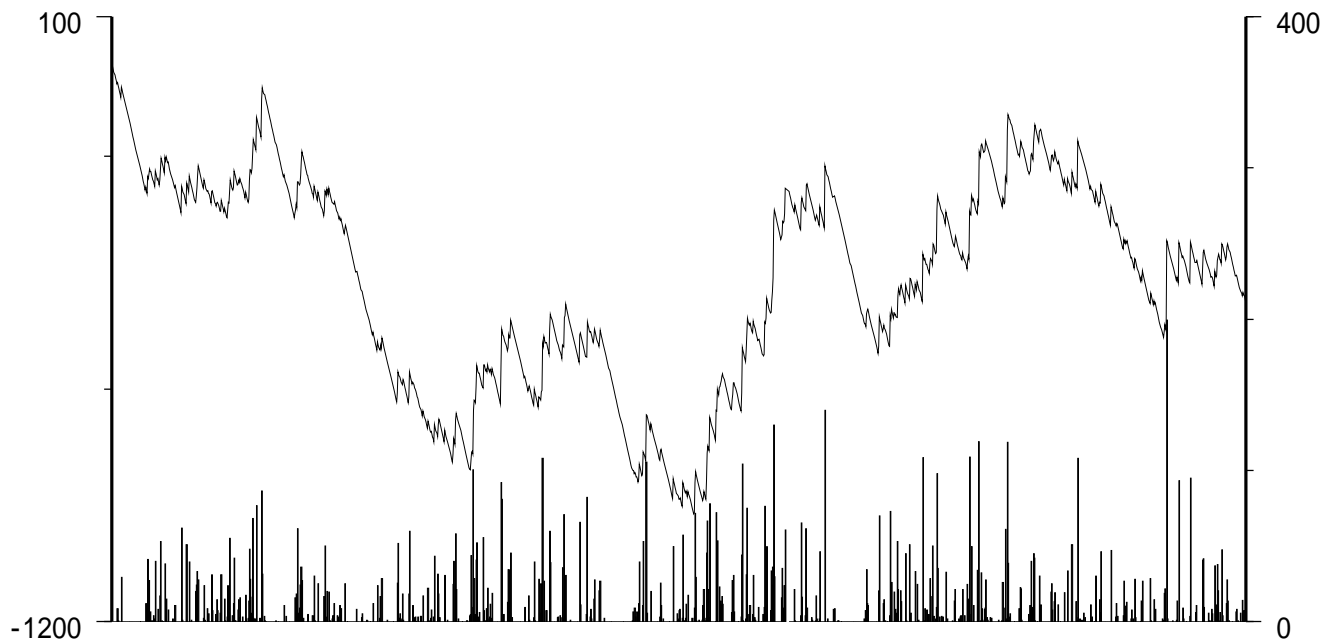
06

07

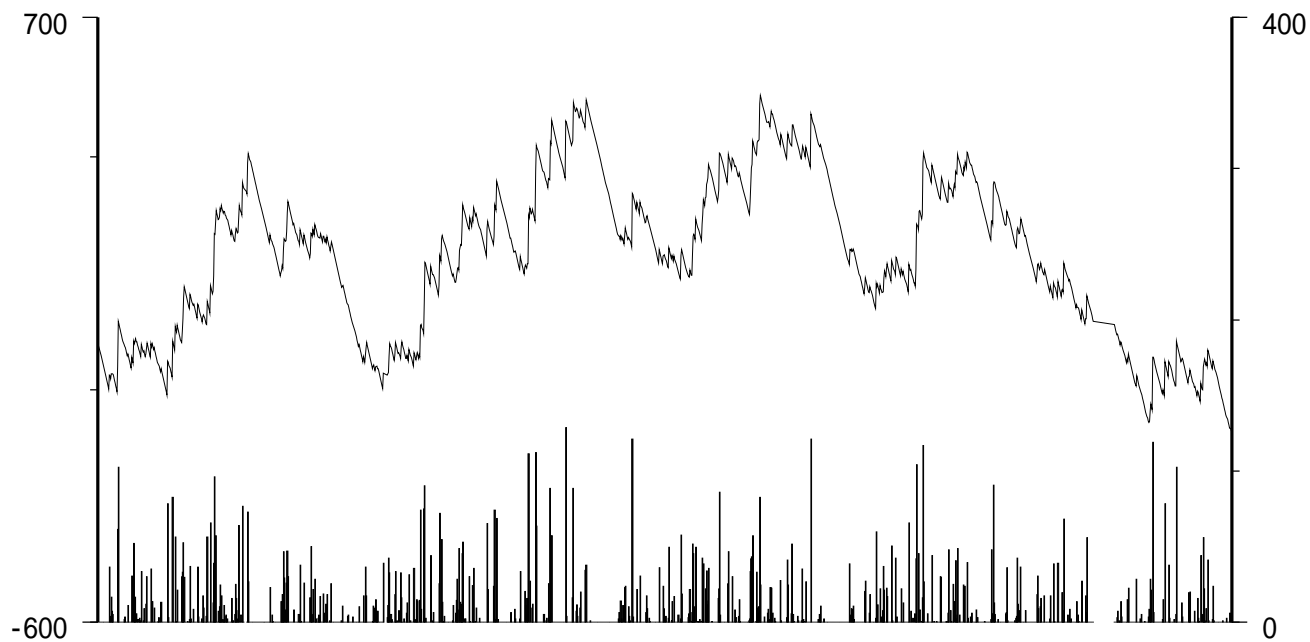
2013

榛原・浜岡観測井 降雨量の積算からトレンド除去後のグラフ [mm]
(2009/01/01 00:00 - 2013/08/01 00:00 (JST))

榛原 降水量(積算) [mm] (時間値)



浜岡 降水量(積算) [mm] (時間値)



01 07 01 07 01 07 01 07 01 07
2009 2010 2011 2012 2013

紀伊半島～四国の地下水・歪観測結果(2013年5月～2013年7月)

東海・紀伊半島・四国における短期的スロースリップイベント(2013年5月～2013年7月)

産業技術総合研究所

産業技術総合研究所(産総研)では、東海・紀伊半島・四国の地下水等総合観測施設18点において、歪・地下水等の観測を行っている。観測点配置図を第1図に示す。

第2～34図には、2013年2月～2013年7月における歪(傾斜)・地下水位の1時間値の生データ(上線)と補正值(下線)を示す。歪・傾斜の図において「N120E」などと示してあるのは、歪・傾斜の測定方向が北から120度東方向に回転していることを示す。補正值は、潮汐解析プログラムBAYTAP-G[Tamura *et al.*, 1991]によって、気圧・潮汐・不規則ノイズの影響を除去した結果である。歪・傾斜のグラフについては、直線トレンド(1次トレンド)を除去している。第35～40図には、産総研で決定した、エンベロープ相関法による深部低周波微動の震源の時空間分布および個数を示す。微動の地域分けについては、第35図(RT0～3)、第37図(RK0～4)、第39図(RS0～RS3)に示している。

東海全体(RT0～3)で微動の発生回数が50個/日以上の日を含む期間(その期間については、回数が20個/日以上で活動開始、20個/日未満で活動終了と判断する)については、第2～6図および第35～36図に灰色網掛けにてその期間を主な活動地域(RT0～3)と共に表示した。紀伊半島全体(RK0～4)で微動の発生回数が50個/日以上の日を含む期間(その期間については、回数が20個/日以上で活動開始、20個/日未満で活動終了と判断する)については、第6～19図および第37～38図に灰色網掛けにてその期間を主な活動地域(RK0～4)と共に表示した。四国東部(RS4-RS6)の合計で微動の発生回数が25個/日以上の日を含む期間(その期間については、回数が10個/日以上で活動開始、10個/日未満で活動終了と判断する)については、第20～28図および第39～40図に灰色網掛けにてその期間を主な活動地域(RS4～6)と共に表示した。四国西部(RS0～RS3)の合計で微動の発生回数が100個/日以上の日を含む期間(その期間については、回数が20個/日以上で活動開始、20個/日未満で活動終了と判断する)については、第25～34図および第39～40図に灰色網掛けにてその期間を主な活動地域(RS0-3)と共に表示した。

歪・傾斜の変化から短期的SSEの断層モデルを推定したイベントについて、その解析結果を報告する。断層モデル推定手法については、解析結果の後に示す。

2013年5月15～19日頃にかけて、長野県南西部～愛知県北東部県境付近において、深部低周波微動活動が観測され(第41図)、気象庁の多成分歪5観測点において僅かな変化が観測された(第42図)。産総研の多成分歪1観測点の記録を加えて断層面の推定を行った結果を第43図に示す。推定されたMwは5.3であった。なお、断層面の最終解は、微動域付近で短期的SSEが発生したと仮定し、そのモーメントを推定することを目的として、断層の位置を微動域に限定して推定した。

長野・愛知県県境付近では、264日前の2012年8月16～18日および19～24日に、それぞれMw5.9および5.8の短期的SSEが、発生したと推定されている(第43図の矩形1と矩形2)。また、約25日前の2013年4月20日前後には、やや南側の領域(愛知県北東部)において、気象庁の解析によって小規模な短期的SSEが発生したと推定されている。

2013年5月24～6月5日頃にかけて、豊後水道～四国西部において、活発な深部低周波微動活動が観測され(第44図)、産総研の歪2観測点、地下水1観測点、防災科研Hi-net高感度加速度計(傾斜)10観測点において変化が観測された(第45図)。微動の発生状況を参考にして期間を3つに分けて断層面の推定を行った結果を第46～48図に示す。推定されたMwはそれぞれ5.9, 5.7, 5.7であった。

期間Aの推定断層面付近では、166日前の2012年12月9～11日にMw6.0(第46～48図の矩形3)、期間Bの推定断層面付近では、67日前の2013年3月21日午後～22日にMw5.4(第46～48図の矩形4)、期間Cの推定断層面付近では、181日前の2012年11月26日～12月3日にMw5.4および5.9の短期的SSE(第46～48図の矩形1, 2)がそれぞれ発生したと推定されている。

2013年6月11～12日頃にかけて、愛知県内における産総研の多成分歪2観測点、気象庁の多成分歪2観測

点、防災科研Hi-net高感度加速度計(傾斜)3観測点において小さな変化が観測された(第50図)。これらの観測結果から断層面の推定を行った結果を第51図に示す。推定されたMwは5.3であった。この期間、愛知県西部では若干の深部低周波微動活動が観測されている(第49図)

この領域の東側に隣接する愛知県中部では、218日前の2012年10月31日-11月5日にMw5.5およびMw5.7(第51図の矩形1, 2)、西側に隣接する愛知県西部では、197日前の2012年11月21-26日頃にMw5.6若しくは5.5(第51図の矩形3, 4)、58日前の2013年4月10-14日午前にはMw5.4(第51図の矩形7)の短期的SSEが発生したと推定されている(第51図)。

2013年6月28~7月3日頃にかけて、愛知県および三重県における産総研の多成分歪3観測点、気象庁の多成分歪2観測点において僅かな変化が観測された(第53図)。この期間、愛知県西部では若干の深部低周波微動活動が観測されている(第52図)。3つの期間について、断層面の位置を微動発生領域周辺に限定して、観測結果から断層面の推定を行った結果を第54~56図に示す。何れの期間も、推定された断層モデルは、位置・大きさ共に任意性が高いと考えられる。

この領域の東側に隣接する領域では、16日前の2013年6月11日-12日にMw5.3が(第54-56図の矩形7)、この領域と重なる愛知県西部では、214日前の2012年11月21-26日頃にMw5.6若しくは5.5(第54-56図の矩形3, 4)、75日前の2013年4月10-14日午前にはMw5.4の短期的SSEが発生したと推定されている(第54-56図の矩形6)。

2013年7月23日午後~26日午前にかけて、奈良県東部~三重県中部において活発な深部低周波微動活動が観測され(第57図)、産総研の多成分歪4観測点、傾斜1観測点、防災科研の高感度加速度計(傾斜)4観測点において変化が観測された(第58図)。これらの観測結果から断層面の推定を行った結果を第59図に示す。

この領域では、217日前の2012年12月17-18日頃にMw5.3の短期的SSEが発生したと推定されている(第59図の矩形1)。

解析方法

短期的SSEの断層面推定には、それぞれの観測点の水平歪4成分(一部の気象庁観測点では8成分)・体積歪・地下水圧・傾斜2成分の記録を用いる。地下水圧は、O1およびM2分潮の振幅をBAYTAP-G [Tamura et al., 1991]により計算し、GOTIC2 [Matsumoto et al., 2001]により推定した地球個体潮汐および海洋荷重潮汐(O1およびM2分潮)との振幅比を用いて、体積歪に変換する。歪・地下水・傾斜ともに、観測波形からBAYTAP-Gにより、気圧応答成分、潮汐成分およびホワイトノイズ成分を取り除く。また、イベント直前の期間を用いて1次トレンドも取り除く。微動活動も参考にして、数時間~半日単位で活動開始・終了時期を判断し、その期間の変化量を短期的SSEによる変化量とする。その際、歪についてはMatsumoto et al. [2010]の手法で理論潮汐歪を用いてキャリブレーションを行っている。

断層面の推定は、計算時間の短縮と、推定された結果の一意性を確認するために2段階で行う。断層面推定は板場ほか[2012]の手法を用いた。フィリピン海プレート境界面上[弘瀬ほか, 2007]に多数の断層面を仮定してグリッドサーチにより推定する。仮定した断層面上のすべりによって各観測点で期待される歪変化の計算にはOkada [1992]のプログラムを用いる。1段階目には、断層面のサイズは固定(幅・長さ共に20km)、断層面の位置(0.1° 間隔)およびすべり量(1~100mmの間で1mm間隔)のみ可変として広範囲で計算を行う。1段階目の結果を示す図では、それぞれの断層面において最適なすべり量を与えたときの、観測値と計算値(期待値)との残差分布を示している。これにより、短期的SSEが生じている可能性が高い領域を絞り込むとともに、推定された結果の任意性を確認することが出来る。2段階目には、1段階目で絞り込んだ領域(=残差が小さい領域)付近で、位置及びすべり量に加えて、断層面の長さを10~80km、幅を10~50km、それぞれ1km間隔で可変として計算を行なう。その結果、観測値との残差が最小となる断層面が1つ計算されるが、計算に使用している観測点数が少ない場合や、断層面と観測点配置の関係によっては任意性が高くなるので注意が必要である。なお、異種観測値を統合して解析するため、観測点ごとに残差をノイズレベルによって規格化している。ノイズレベルは、気圧応答、潮汐成分およびホワイトノイズ成分を取り除いた後(微動活動が活発な期間および周辺の日雨量50mmを超える時期を除く)の24時間階差の 2σ とした。

深部低周波微動の検出・震源決定には、エンベロープ相関法を用いている。

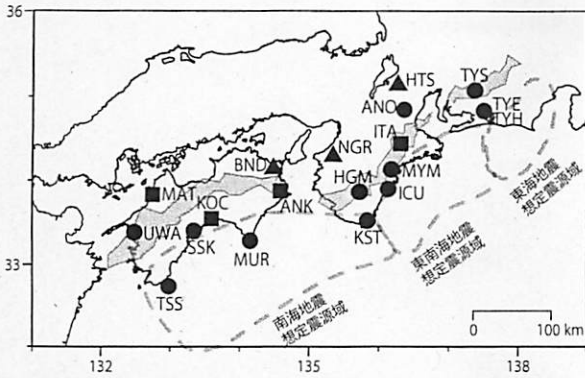
謝辞

短期的SSEの断層モデル推定には、防災科研Hi-net高感度加速度計(傾斜計)および気象庁、静岡県のも成分歪計および体積歪計の記録を使用しました。気象庁の歪計データを解析する際には、気象庁によるキャリブレーション係数を使用しました。微動の解析には、防災科研Hi-net、気象庁、東京大学、京都大学、名古屋大学、高知大学、九州大学の地震波形記録を使用しました。低周波地震の震央位置表示には、気象庁の一元化カタログを使用しました。ここに記して感謝します。

(板場智史・北川有一・小泉尚嗣・高橋誠・松本則夫・武田直人)

参考文献

- 弘瀬冬樹, 中島淳一, 長谷川昭 (2007), Double-Difference Tomography法による西南日本の3次元地震波速度構造およびフィリピン海プレートの形状の推定, *地震*, **60**, 1-20.
- 板場智史, 松本則夫, 北川有一, 小泉尚嗣, 松澤孝紀, 歪・傾斜・地下水統合解析による短期的スロースリップイベントのモニタリング, *日本地球惑星連合2012年大会*, 千葉, 5月, 2012.
- Matsumoto, K., T. Sato, T. Takanezawa, and M. Ooe, GOTIC2: A Program for Computation of Oceanic Tidal Loading Effect, *J. Geod. Soc. Japan*, **47**, 243-248, 2001.
- Matsumoto, N., O. Kamigaichi, Y. Kitagawa, S. Itaba, and N. Koizumi (2010), In-situ Calibration of Borehole Strainmeter Using Green's Functions for Surface Point Load at a Depth of Deployment, *Eos, Trans. AGU*, Abstract G11A-0626.
- Okada, Y. (1992), Internal deformation due to shear and tensile faults in a half-space, *Bull. Seismol. Soc. Am.*, **82**, 1018-1040.
- Tamura, Y., T. Sato, M. Ooe and M. Ishiguro (1991), A procedure for tidal analysis with a Bayesian information criterion, *Geophys. J. Int.*, **104**, 507-516.

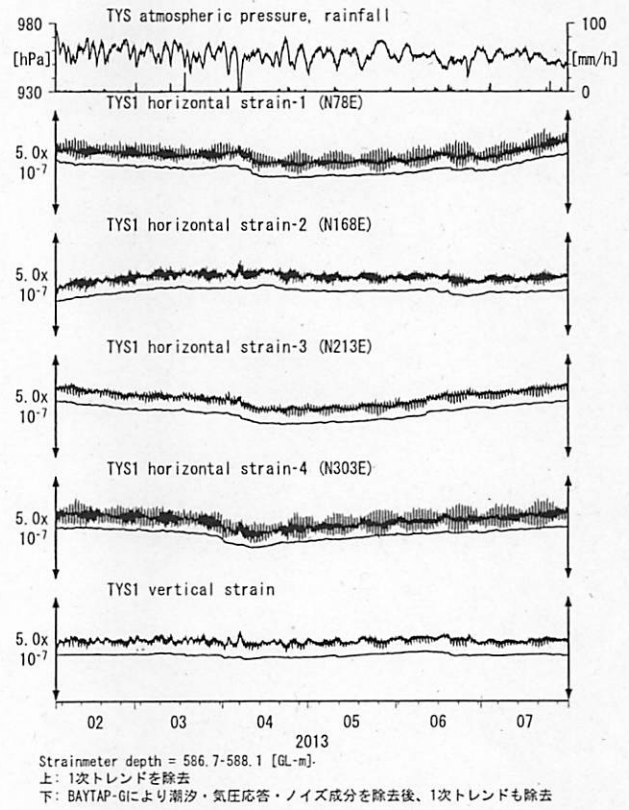


第1図: 地下水観測点の分布図 (●・■・▲)。●はデジタル方式の石井式歪計・傾斜計を
している新規観測点、■はGladwin式歪計・ミットヨ式傾斜計を併設している新規観測点、▲はア
ナログ方式の石井式歪計を併設している既存の観測点。灰色の領域は短期的SSE及び深部低周波微
動が定期的に発生していると考えられる地域。

第1表: 産総研観測点の新名称。平成23年1月17日から「市町村名」+「町・字名等」を基本とす
る名称に変更している。なお、3文字コードは変更していない。

3文字コード (変更無し)	旧名称	新名称	新名称 ふりがな	市区町村	回
TYS	豊田下山	豊田神殿	とよたかんの	愛知県豊田市	2,3
TYE	豊橋東	豊橋多米	とよはしため	愛知県豊橋市	4,5
HTS	桑荘	桑荘香之庄	あいしょうこうのしょう	滋賀県愛知郡桑荘町	6
ANO	安濃	津安濃	つあのう	三重県津市	7,8
ITA	飯高赤桶	松阪飯高	まつさかいいたか	三重県松阪市	9,10
MYM	海山	紀北海山	きほくみやま	三重県北牟婁郡紀北町	11,12
ICU	井内浦	熊野磯崎	くまのいそざき	三重県熊野市	13,14
HGM	本宮三越	田辺本宮	たなべほんぐう	和歌山県田辺市	15,16
KST	串本津荷	串本津荷	くしもつが	和歌山県東牟婁郡串本町	17,18
NGR	根来	岩出東坂本	いわでひがしさかもと	和歌山県岩出市	19
BND	坂東	瀬門大麻	なるとおおあさ	徳島県鳴門市	20
ANK	阿南桑野	阿南桑野	あなんくわの	徳島県阿南市	21,22
MUR	室戸	室戸岬	むろとみさき	高知県室戸市	23,24
KOC	高知市	高知五台山	こうちごたいさん	高知県高知市	25,26
SSK	須崎	須崎大谷	すきおおたに	高知県須崎市	27,28
TSS	土佐清水	土佐清水松尾	とさしみずまつお	高知県土佐清水市	29,30
UWA	宇和	西予宇和	せいようわ	愛媛県西予市	31,32
MAT	松山	松山南江戸	まつやまみなみえど	愛媛県松山市	33,34

第2図 Crustal strains at TYS (時間値)
(2013/02/01 00:00 - 2013/08/01 00:00 (JST))

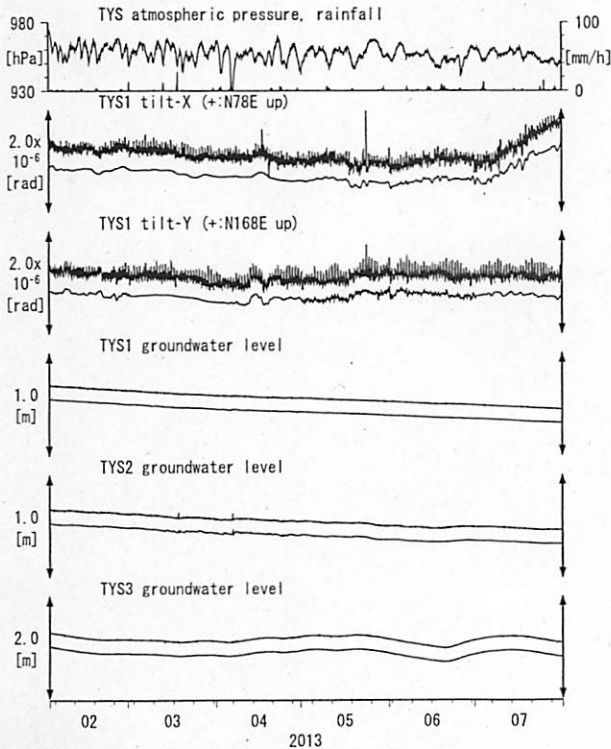


Strainmeter depth = 586.7-588.1 [GL-m].

上: 1次トレンドを除去

下: BAYTAP-Gにより潮汐・気圧応答・ノイズ成分を除去後、1次トレンドも除去

第3図 Tilt and groundwater level at TYS (時間値)
(2013/02/01 00:00 - 2013/08/01 00:00 (JST))



Tiltmeter depth = 585.9-586.7 [GL-m]

TYS1 : Screen depth = 404.8-426.7 [GL-m]

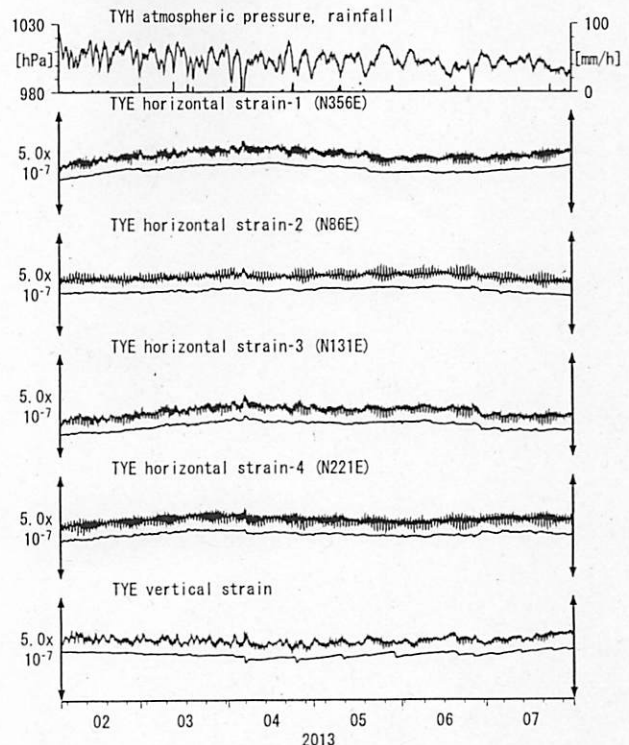
TYS2 : Screen depth = 148.8-154.3 [GL-m]

TYS3 : Screen depth = 26.8-32.3 [GL-m]

上: tiltは1次トレンド除去

下: BAYTAP-Gにより潮汐・気圧応答・ノイズ成分除去、tiltは1次トレンドも除去

第4図 Crustal strain at TYE (時間値)
(2013/02/01 00:00 - 2013/08/01 00:00 (JST))

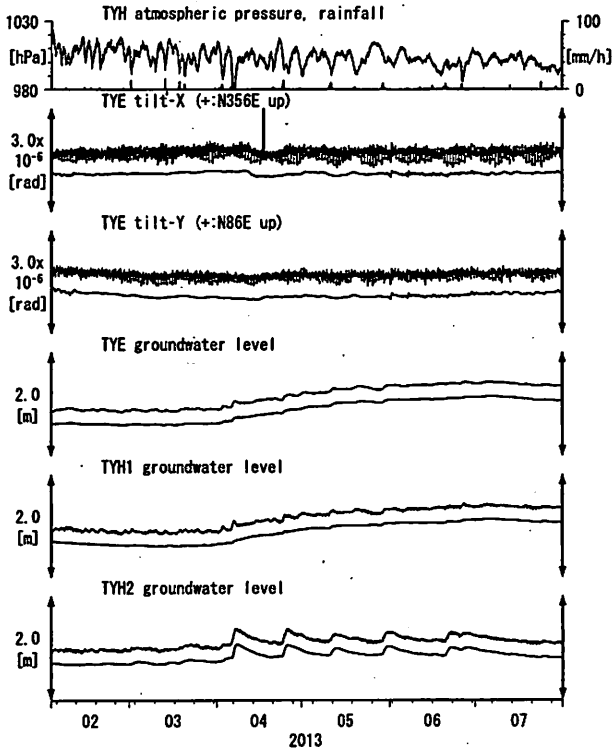


Strainmeter depth = 266.5-267.9 [GL-m]

上: 1次トレンドを除去

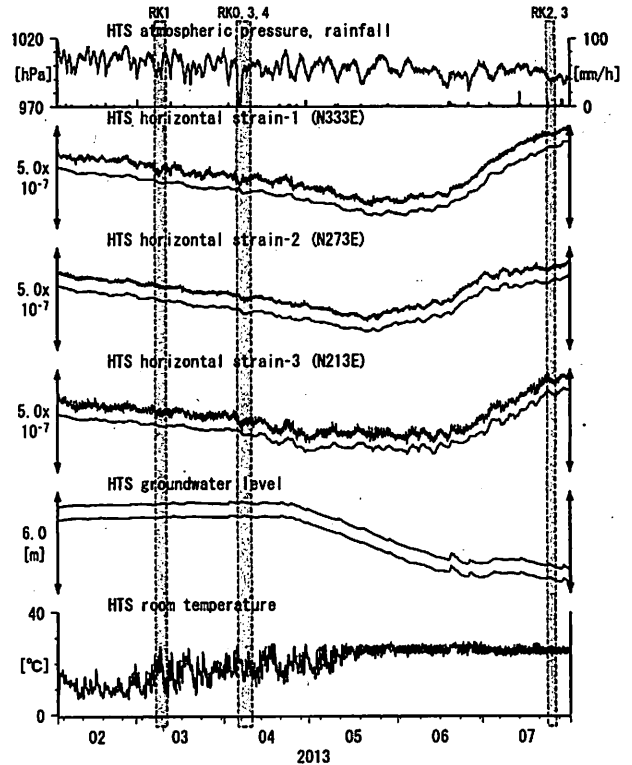
下: BAYTAP-Gにより潮汐・気圧応答・ノイズ成分を除去後、1次トレンドも除去

第5図 Tilt and groundwater level at TYE and TYH (時間値)
(2013/02/01 00:00 - 2013/08/01 00:00 (JST))



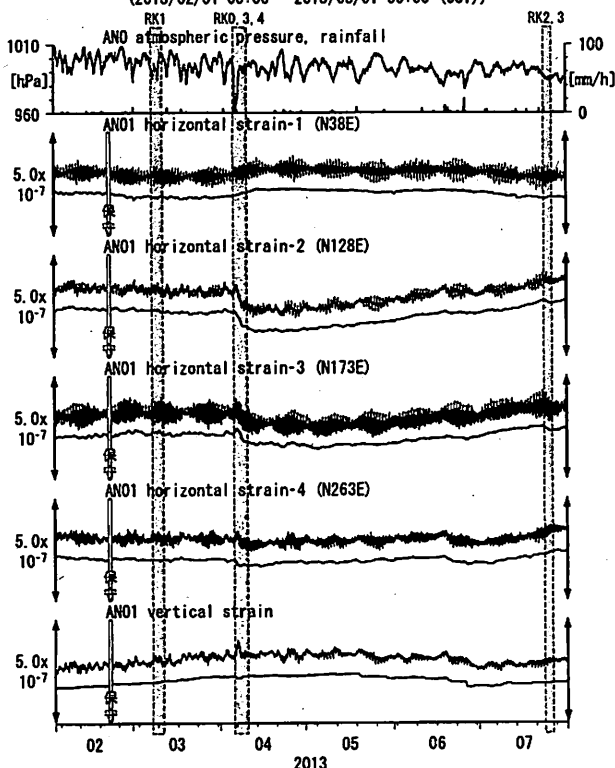
Tiltmeter depth = 265.6-266.5 [GL-m]
 TYE : Screen depth = 185.9-207.8 [GL-m]
 TYH1 : Screen depth = 178.6-200.4 [GL-m]
 TYH2 : Screen depth = 133.7-150.0 [GL-m]
 上: tiltは1次トレンドを除去
 下: BAYTAP-Gにより潮汐・気圧応答・ノイズ成分を除去、tiltは1次トレンドも除去

第6図 Crustal strains and groundwater level at HTS (時間値)
(2013/02/01 00:00 - 2013/08/01 00:00 (JST))



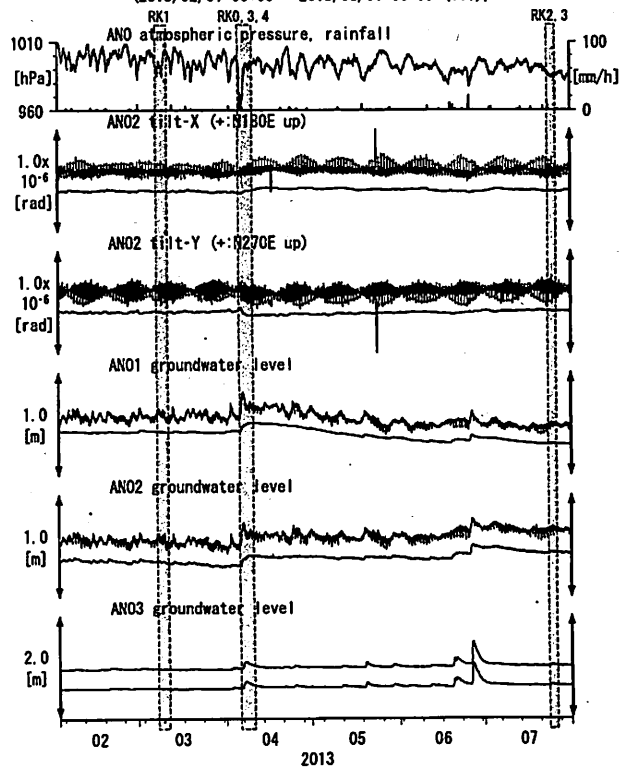
Strainmeter depth = 433.5-436.5 [GL-m]
 Screen depth = 338.3-360.1 [GL-m]
 上: strainは1次トレンドを除去
 下: BAYTAP-Gにより潮汐・気圧応答・ノイズ成分を除去後、strainは1次トレンドも除去

第7図 Crustal strains at ANO (時間値)
(2013/02/01 00:00 - 2013/08/01 00:00 (JST))



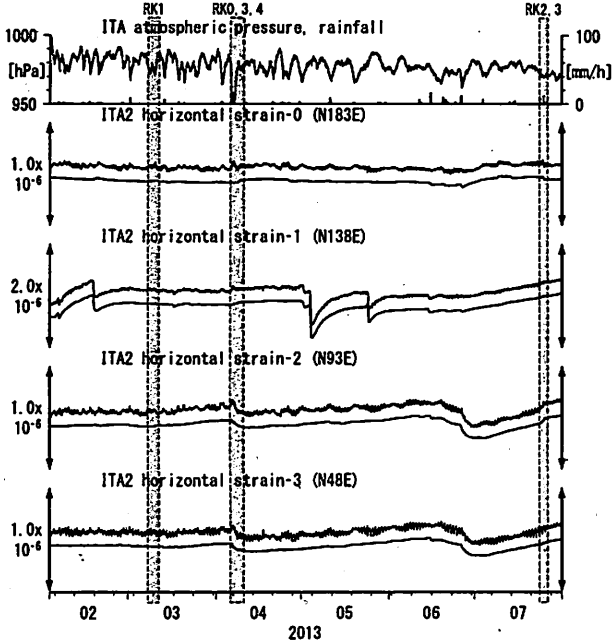
Strainmeter depth = 588.9-590.3 [GL-m]
 上: 1次トレンドを除去
 下: BAYTAP-Gにより潮汐・気圧応答・ノイズ成分を除去後、1次トレンドも除去

第8図 Tilt and groundwater level at ANO (時間値)
(2013/02/01 00:00 - 2013/08/01 00:00 (JST))



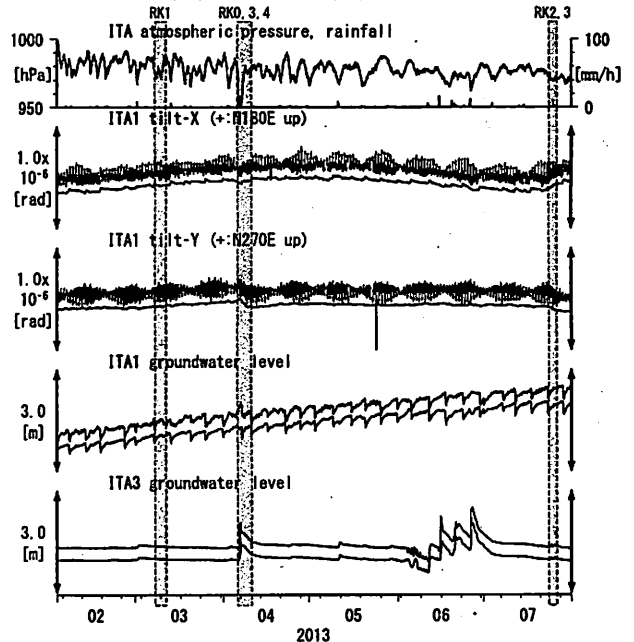
Tiltmeter depth = 236.6-237.3 [GL-m]
 ANO1 : Screen depth = 502.7-513.6 [GL-m]
 ANO2 : Screen depth = 197.5-208.5 [GL-m]
 ANO3 : Screen depth = 12.0-22.9 [GL-m]
 上: tiltは1次トレンドを除去
 下: BAYTAP-Gにより潮汐・気圧応答・ノイズ成分を除去、tiltは1次トレンドも除去

第9図 Crustal strains at ITA (時間値)
(2013/02/01 00:00 - 2013/08/01 00:00 (JST))



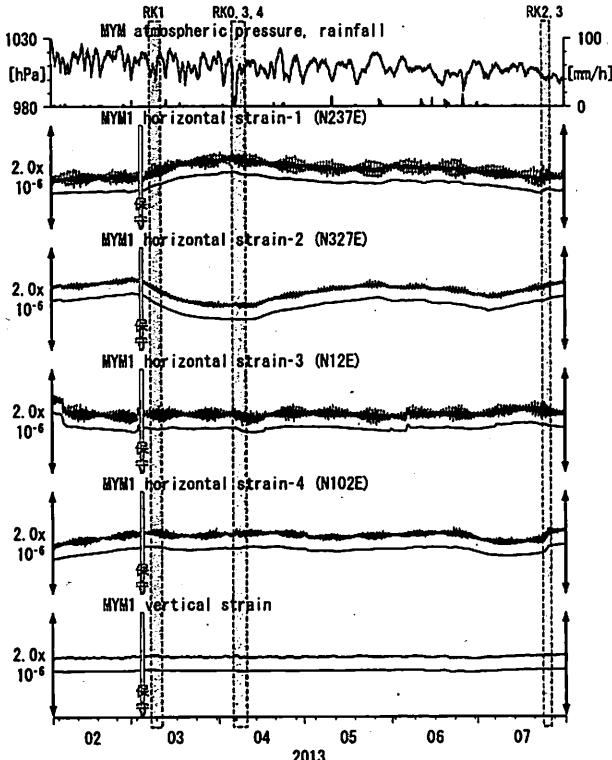
Strainmeter depth = 181.3-183.6 [GL-m]
上: 1次トレンドを除去
下: BAYTAP-Giにより潮汐・気圧応答・ノイズ成分を除去後、1次トレンドも除去

第10図 Tilt and groundwater level at ITA (時間値)
(2013/02/01 00:00 - 2013/08/01 00:00 (JST))



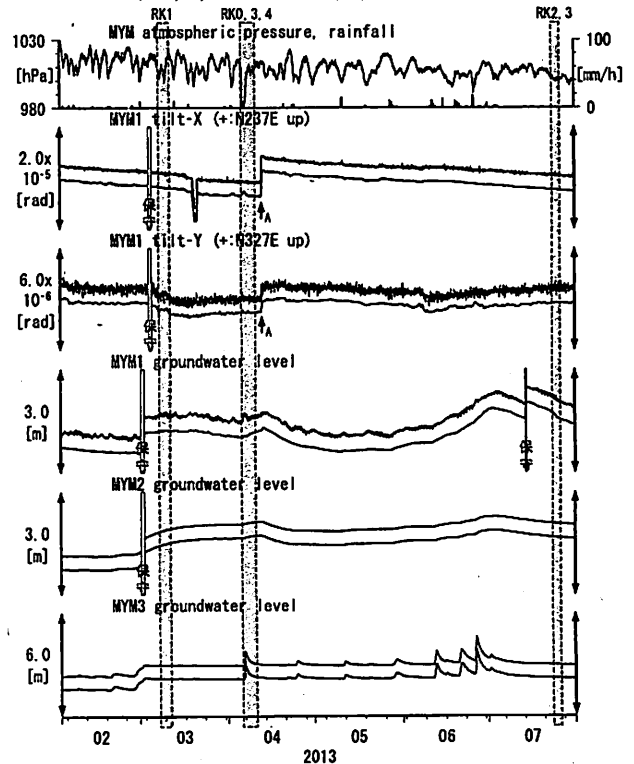
Tiltmeter depth = 595.7-597.3 [GL-m]
ITA1 : Screen depth = 547.6-558.5 [GL-m]
ITA3 : Screen depth = 10.8-16.3 [GL-m]
上: tiltは1次トレンドを除去
下: BAYTAP-Giにより潮汐・気圧応答・ノイズ成分を除去後、tiltは1次トレンドも除去

第11図 Crustal strains at MYM (時間値)
(2013/02/01 00:00 - 2013/08/01 00:00 (JST))

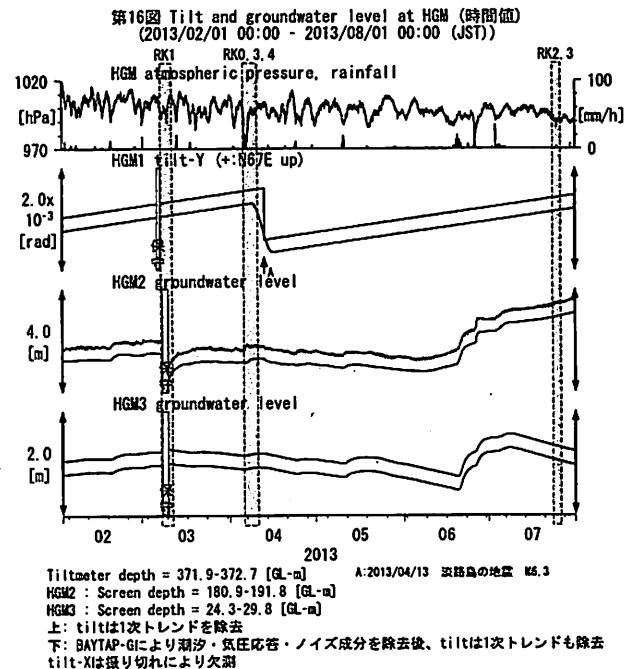
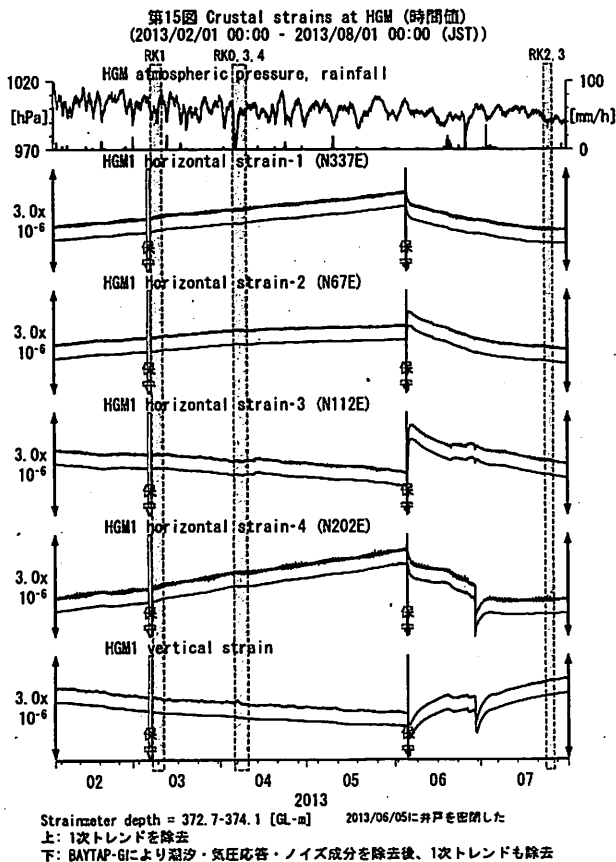
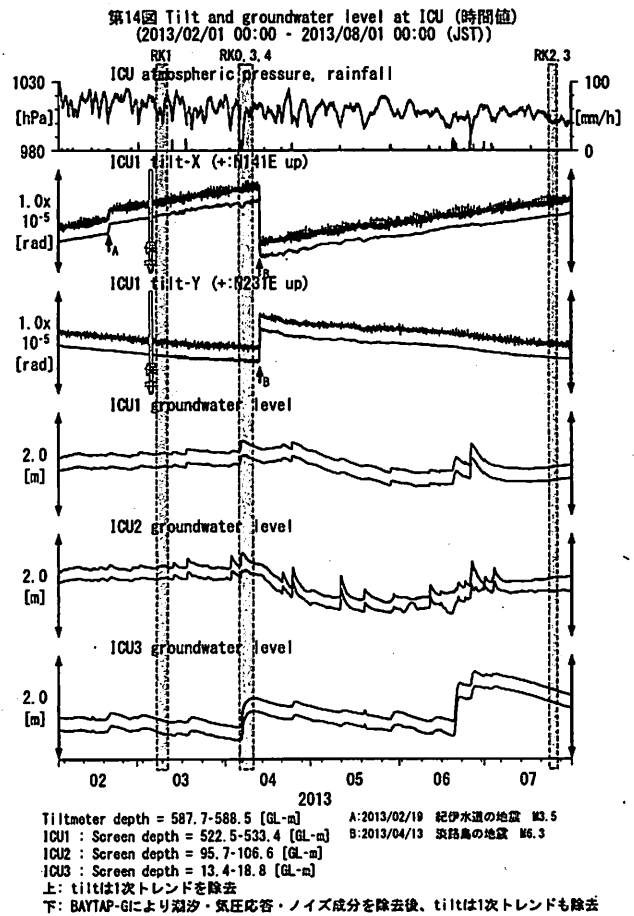
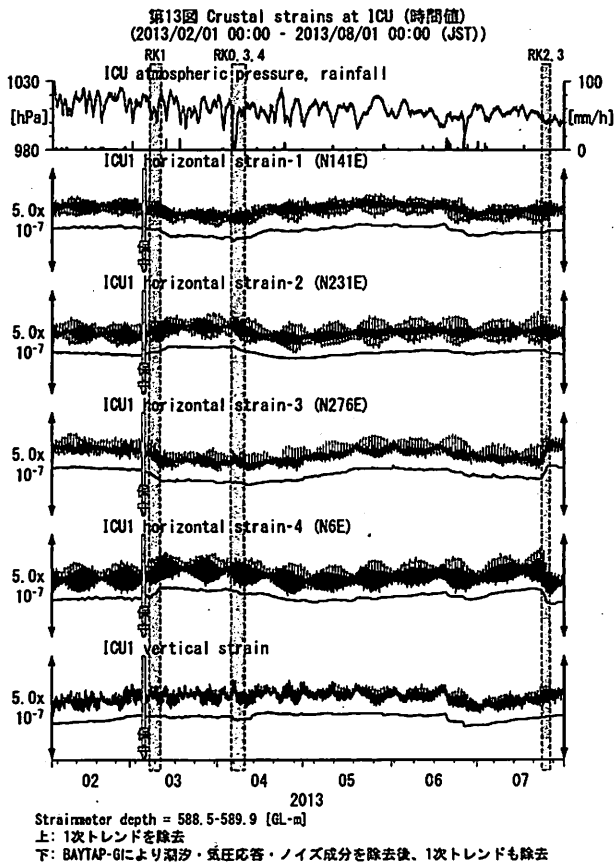


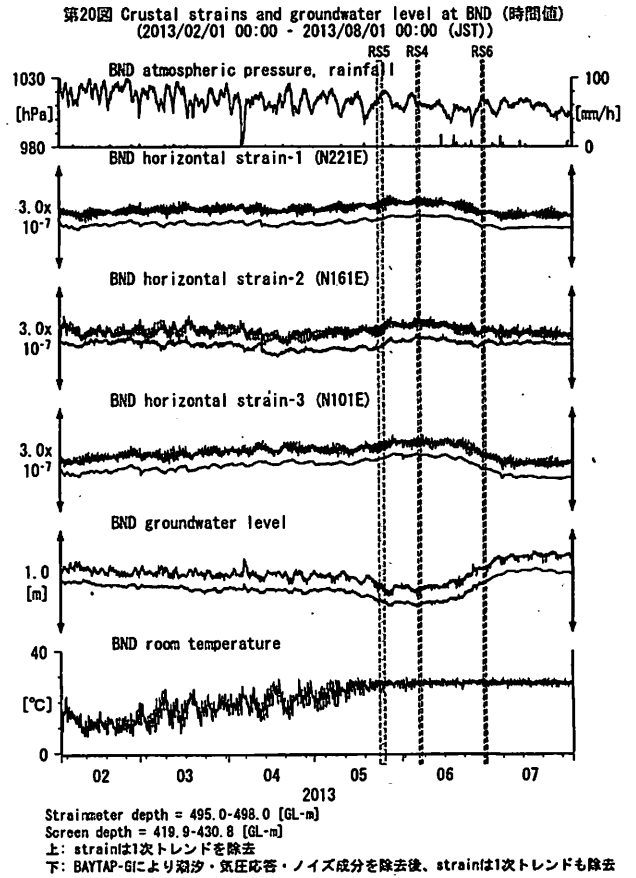
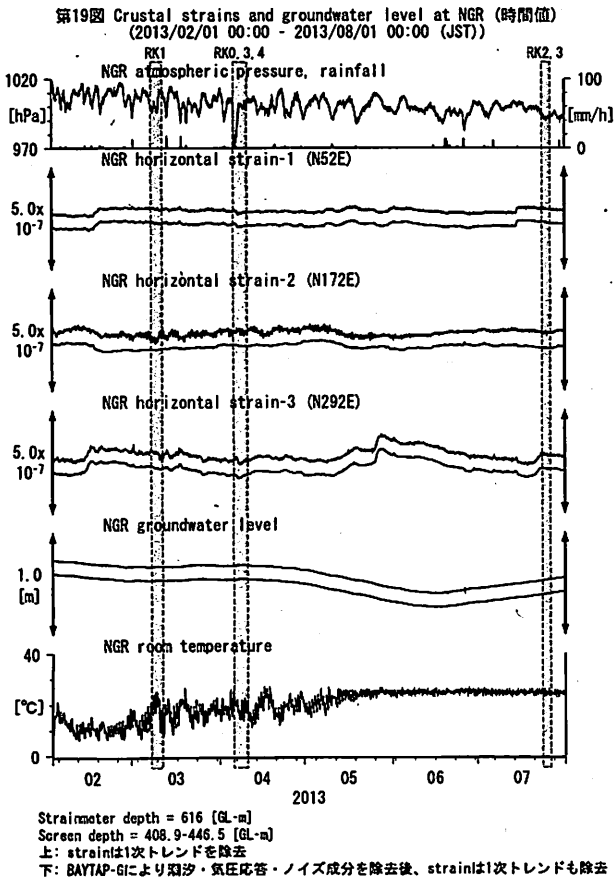
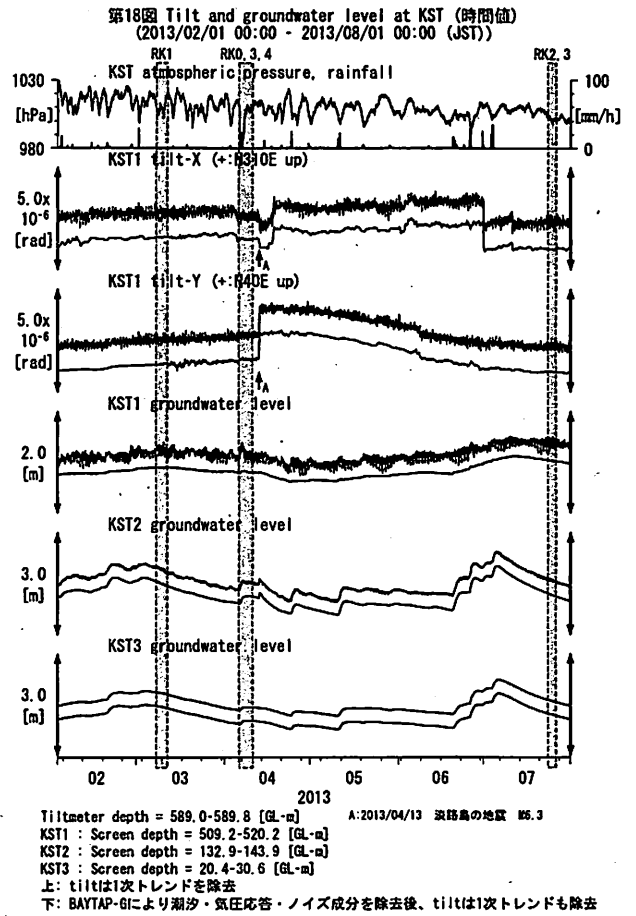
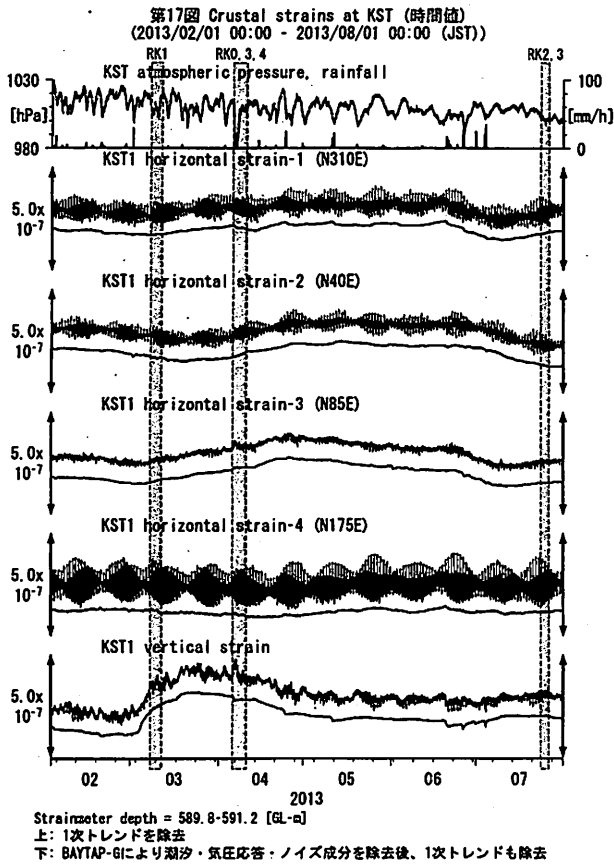
Strainmeter depth = 590.0-591.4 [GL-m]
上: 1次トレンドを除去
下: BAYTAP-Giにより潮汐・気圧応答・ノイズ成分を除去後、1次トレンドも除去

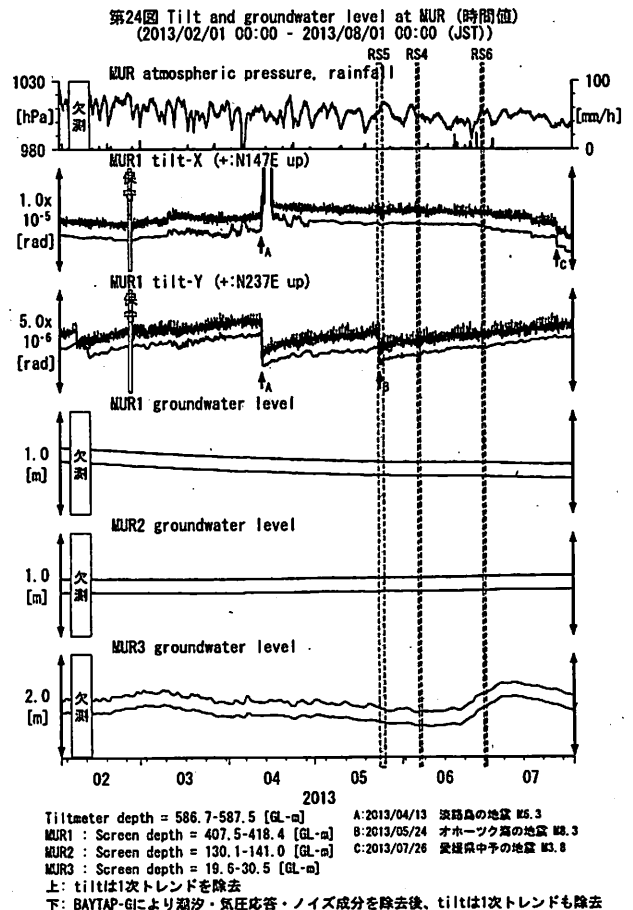
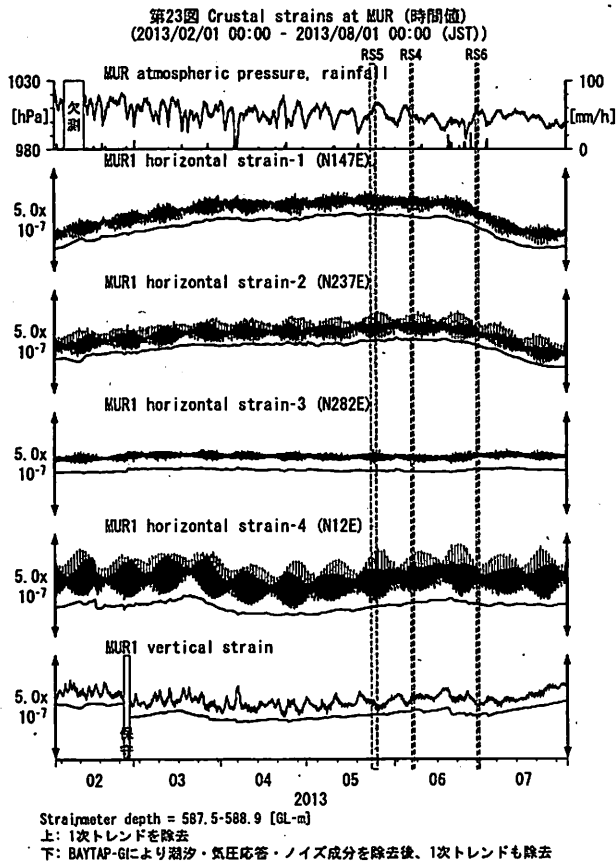
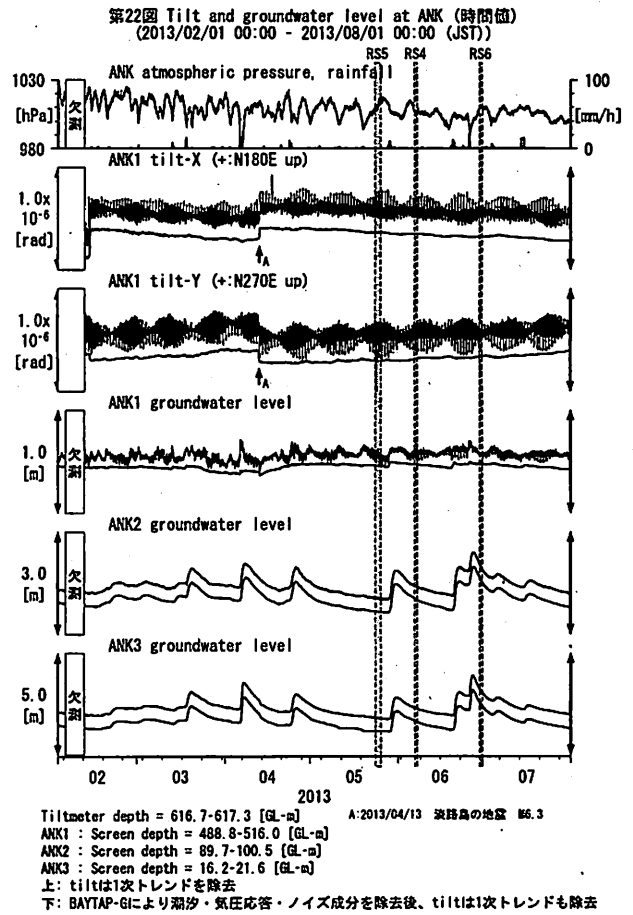
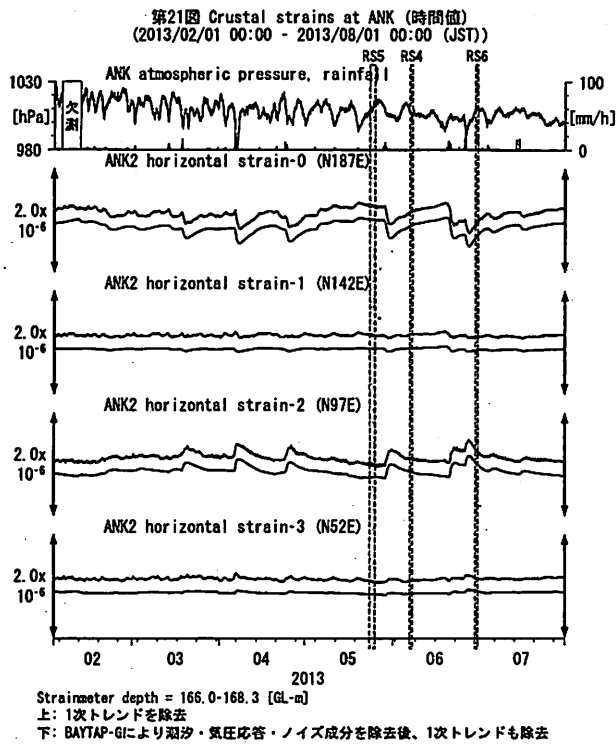
第12図 Tilt and groundwater level at MYM (時間値)
(2013/02/01 00:00 - 2013/08/01 00:00 (JST))

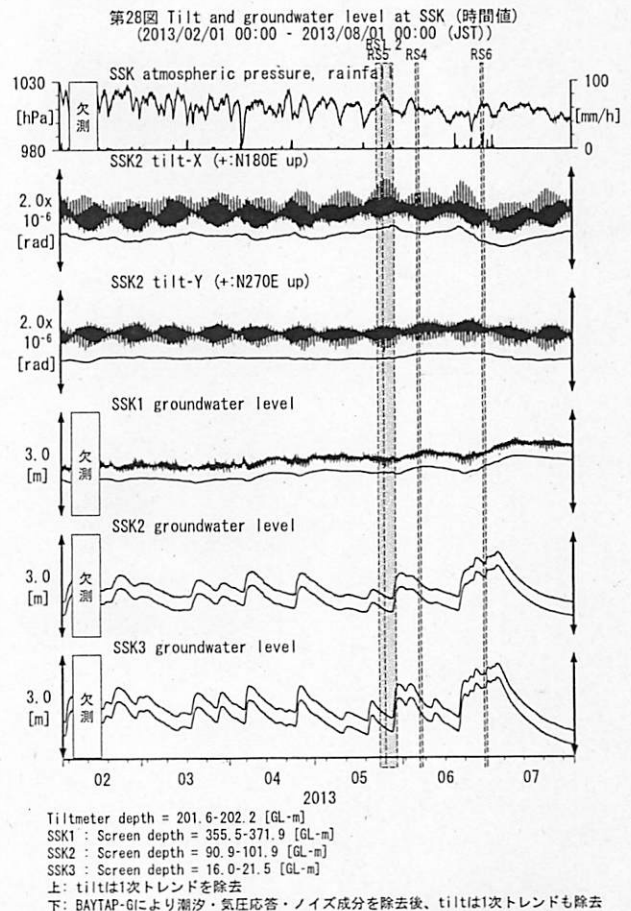
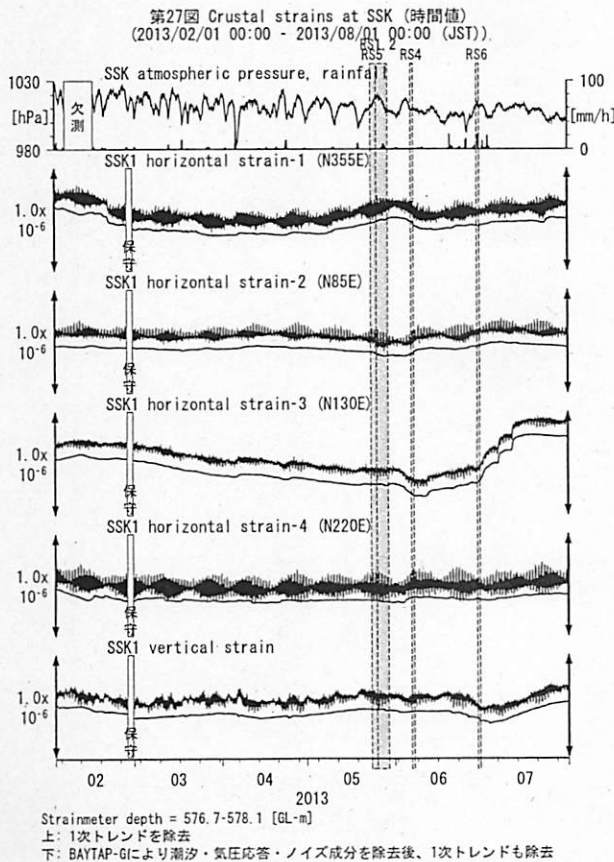
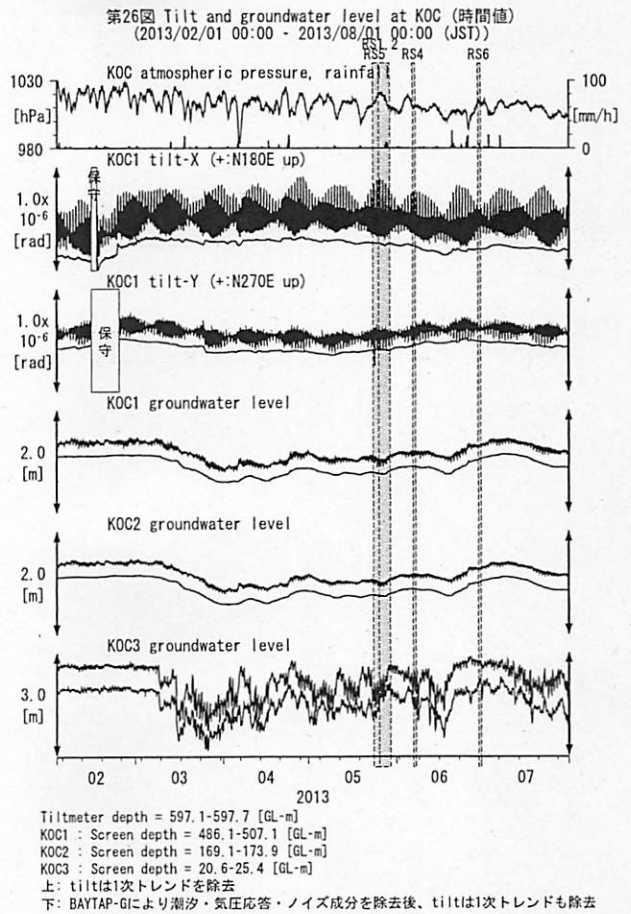
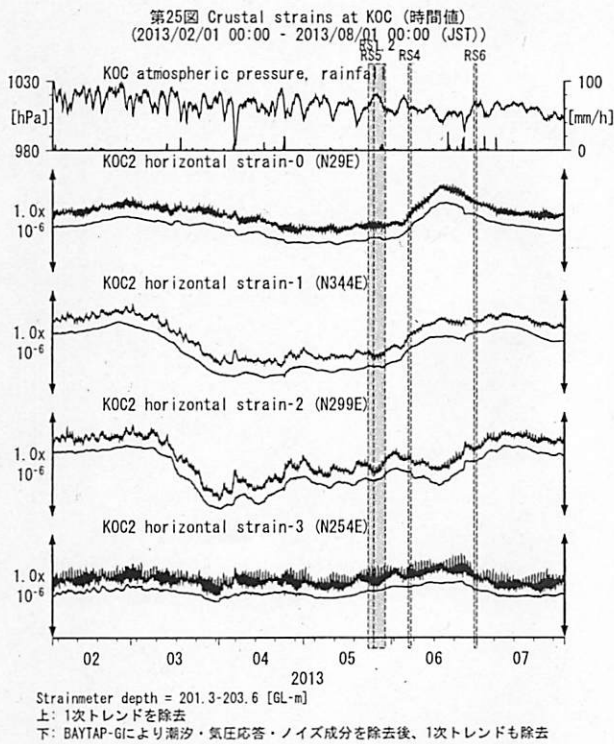


Tiltmeter depth = 589.2-590.0 [GL-m] A: 2013/04/13 茨城島の地震 55.3
MYM1 : Screen depth = 418.9-429.8 [GL-m]
MYM2 : Screen depth = 140.3-151.1 [GL-m]
MYM3 : Screen depth = 19.9-25.3 [GL-m]
上: tiltは1次トレンドを除去
下: BAYTAP-Giにより潮汐・気圧応答・ノイズ成分を除去後、tiltは1次トレンドも除去

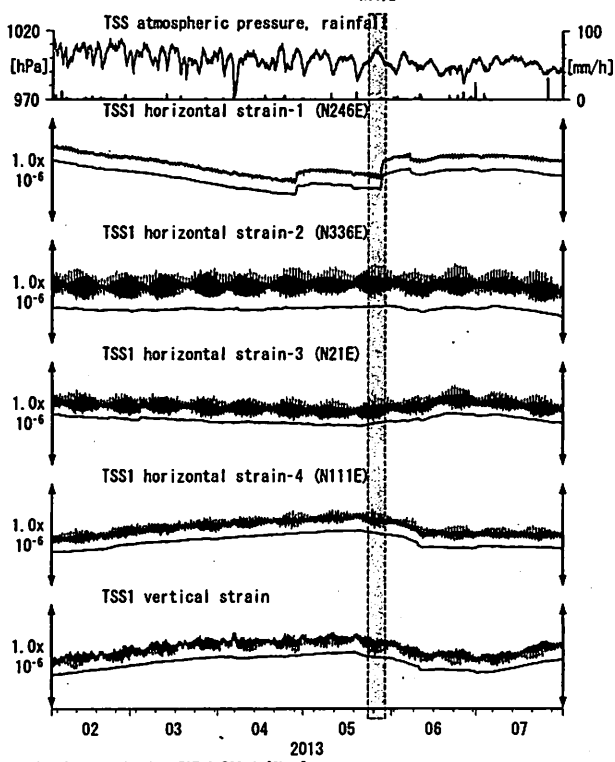






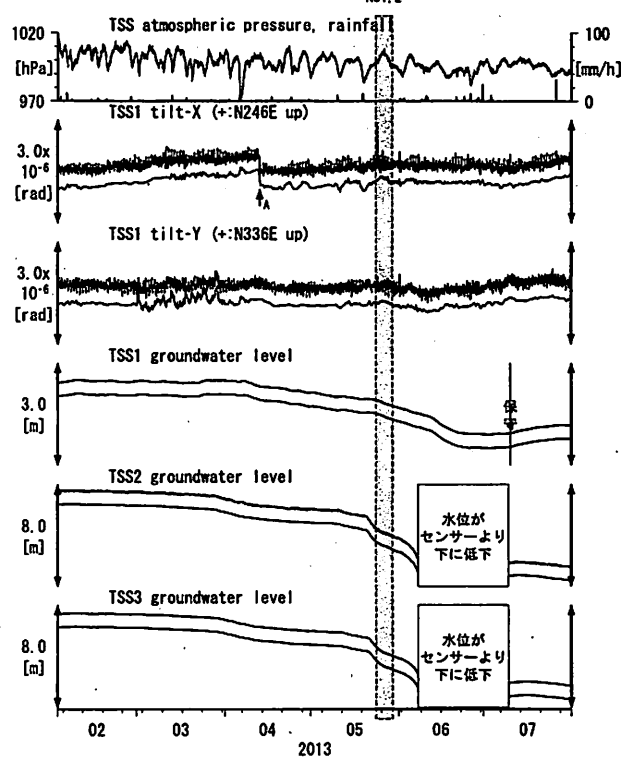


第29図 Crustal strains at TSS (時間値)
(2013/02/01 00:00 - 2013/08/01 00:00 (JST))



Strainmeter depth = 587.0-588.4 [GL-m]
上: 1次トレンドを除去
下: BAYTAP-Gにより潮汐・気圧応答・ノイズ成分を除去後、1次トレンドも除去
2013年1月から近くでトンネル工事が行われている

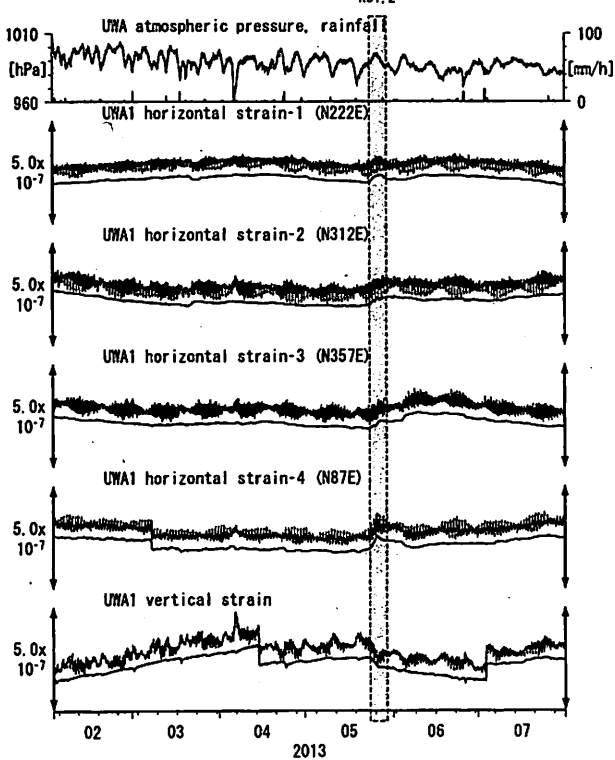
第30図 Tilt and groundwater level at TSS (時間値)
(2013/02/01 00:00 - 2013/08/01 00:00 (JST))



Tiltmeter depth = 586.2-587.0 [GL-m] A:2013/04/13 茨城島の地震 46.3

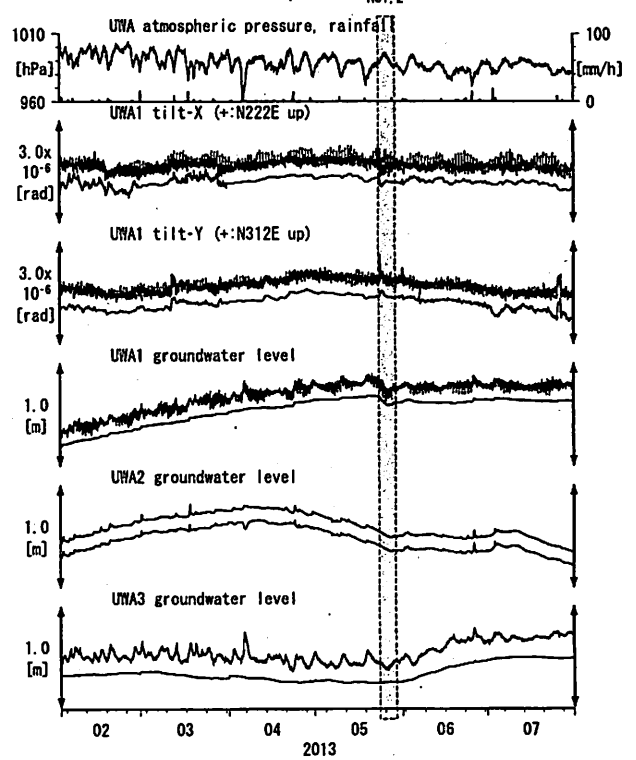
TSS1 : Screen depth = 467.7-473.2 [GL-m]
TSS2 : Screen depth = 238.9-244.3 [GL-m]
TSS3 : Screen depth = 129.1-134.6 [GL-m]
上: tiltは1次トレンドを除去
下: BAYTAP-Gにより潮汐・気圧応答・ノイズ成分を除去後、tiltは1次トレンドも除去
2013年1月から近くでトンネル工事が行われている

第31図 Crustal strains at UWA (時間値)
(2013/02/01 00:00 - 2013/08/01 00:00 (JST))



Strainmeter depth = 590.0-591.4 [GL-m]
上: 1次トレンドを除去
下: BAYTAP-Gにより潮汐・気圧応答・ノイズ成分を除去後、1次トレンドも除去

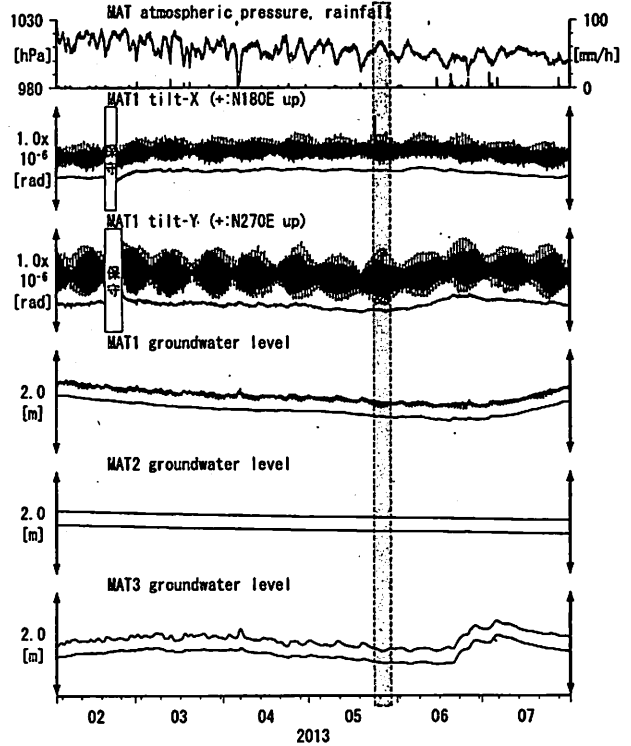
第32図 Tilt and groundwater level at UWA (時間値)
(2013/02/01 00:00 - 2013/08/01 00:00 (JST))



Tiltmeter depth = 589.2-590.0 [GL-m]

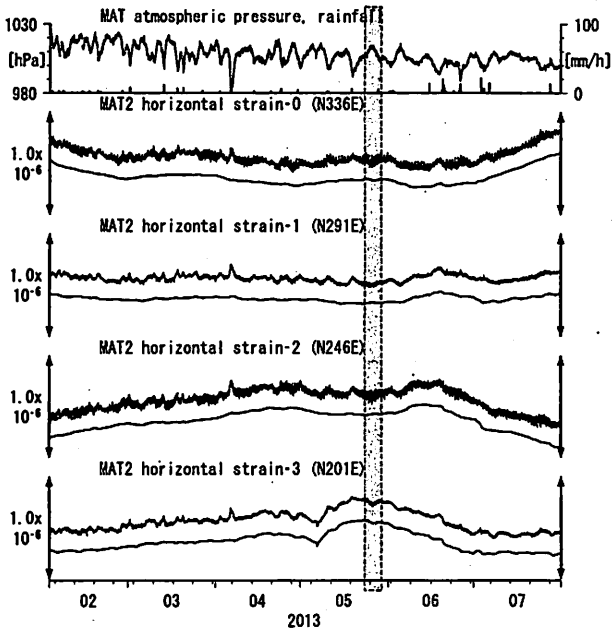
UWA1 : Screen depth = 446.4-457.4 [GL-m]
UWA2 : Screen depth = 68.9-79.9 [GL-m]
UWA3 : Screen depth = 13.6-18.4 [GL-m]
上: tiltは1次トレンドを除去
下: BAYTAP-Gにより潮汐・気圧応答・ノイズ成分を除去後、tiltは1次トレンドも除去

第34図 Tilt and groundwater level at MAT (時間値)
(2013/02/01 00:00 - 2013/08/01 00:00 (JST))

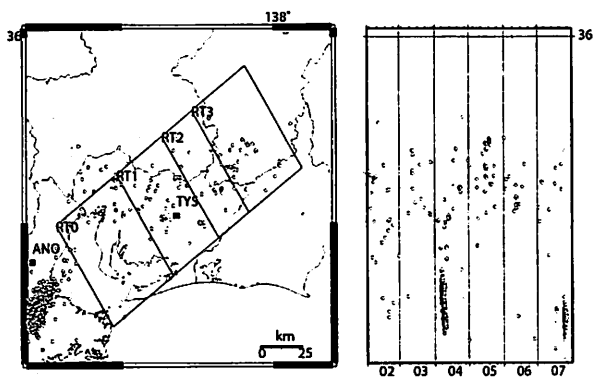


Tiltmeter depth = 596.7-597.3 [GL-m]
 MAT1 : Screen depth = 512.2-528.6 [GL-m]
 MAT2 : Screen depth = 170.2-181.1 [GL-m]
 MAT3 : Screen depth = 17.0-22.5 [GL-m]
 上: tiltは1次トレンドを除去
 下: BAYTAP-Gにより潮汐・気圧応答・ノイズ成分を除去後、tiltは1次トレンドも除去

第33図 Crustal strains at MAT (時間値)
(2013/02/01 00:00 - 2013/08/01 00:00 (JST))

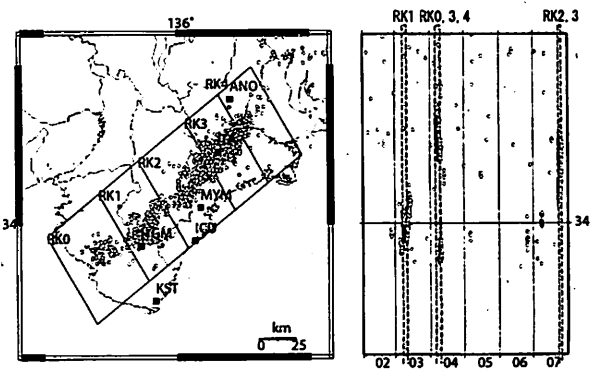
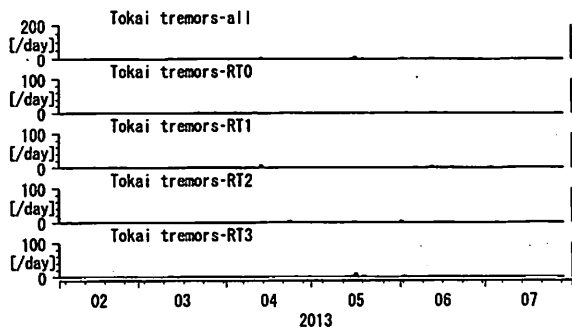


Strainmeter depth = 200.8-203.1 [GL-m]
 上: 1次トレンドを除去
 下: BAYTAP-Gにより潮汐・気圧応答・ノイズ成分を除去後、1次トレンドも除去



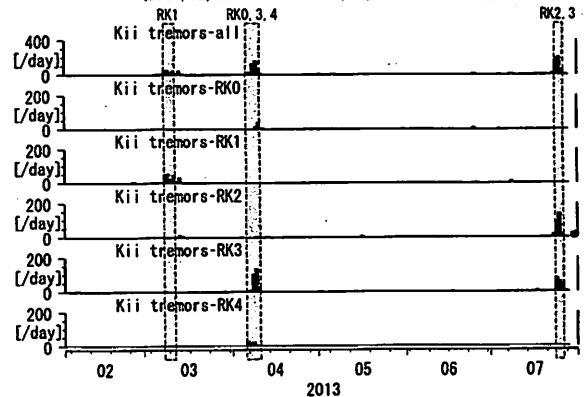
第35図 東海地方における深部低周波微動の時空間分布図(産総研による決定)

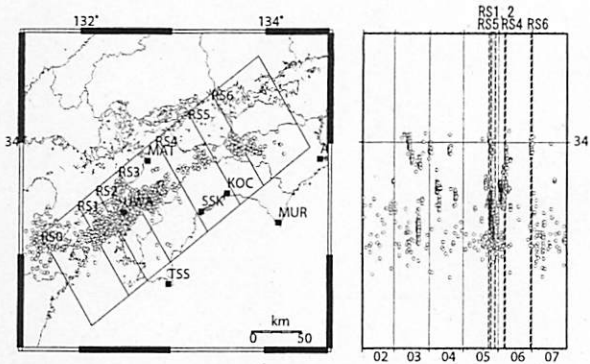
第36図 Deep low-frequency tremors in Tokai (日値)
(2013/02/01 00:00 - 2013/08/01 00:00 (JST))



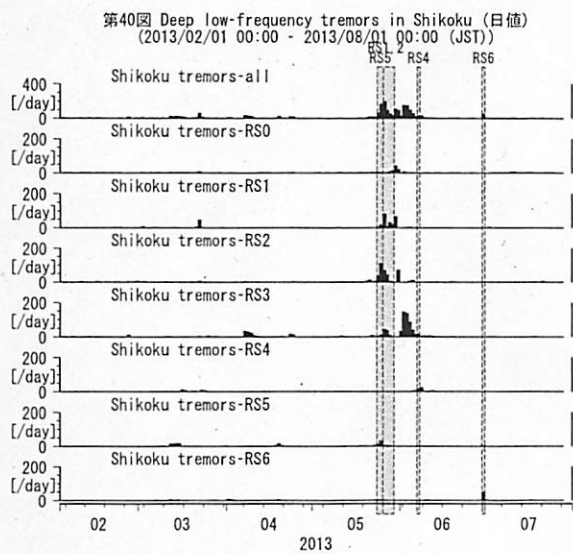
第37図 紀伊半島における深部低周波微動の時空間分布図(産総研による決定)

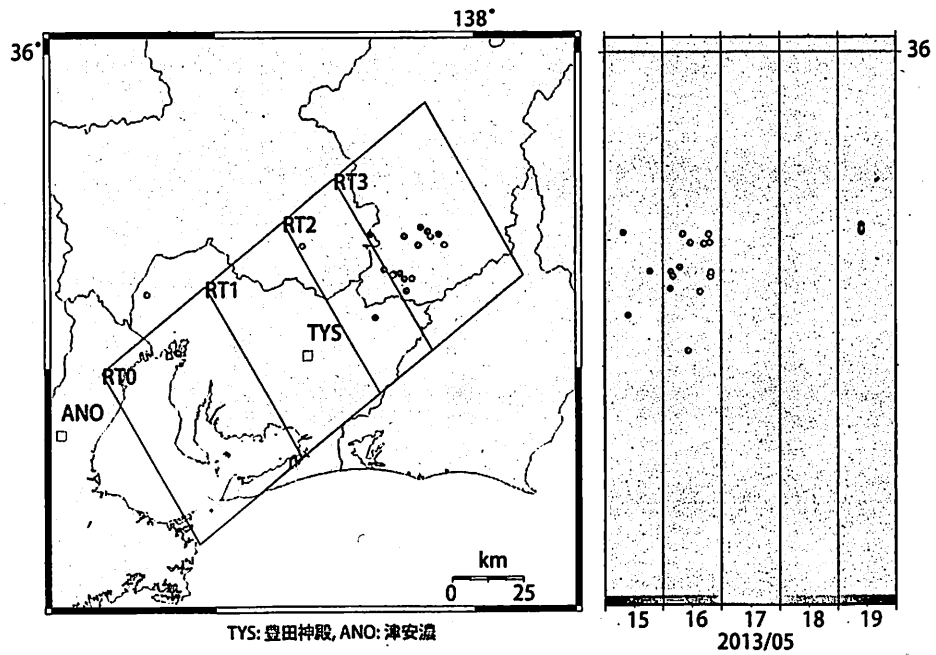
第38図 Deep low-frequency tremors in Kii Peninsula (日値)
(2013/02/01 00:00 - 2013/08/01 00:00 (JST))



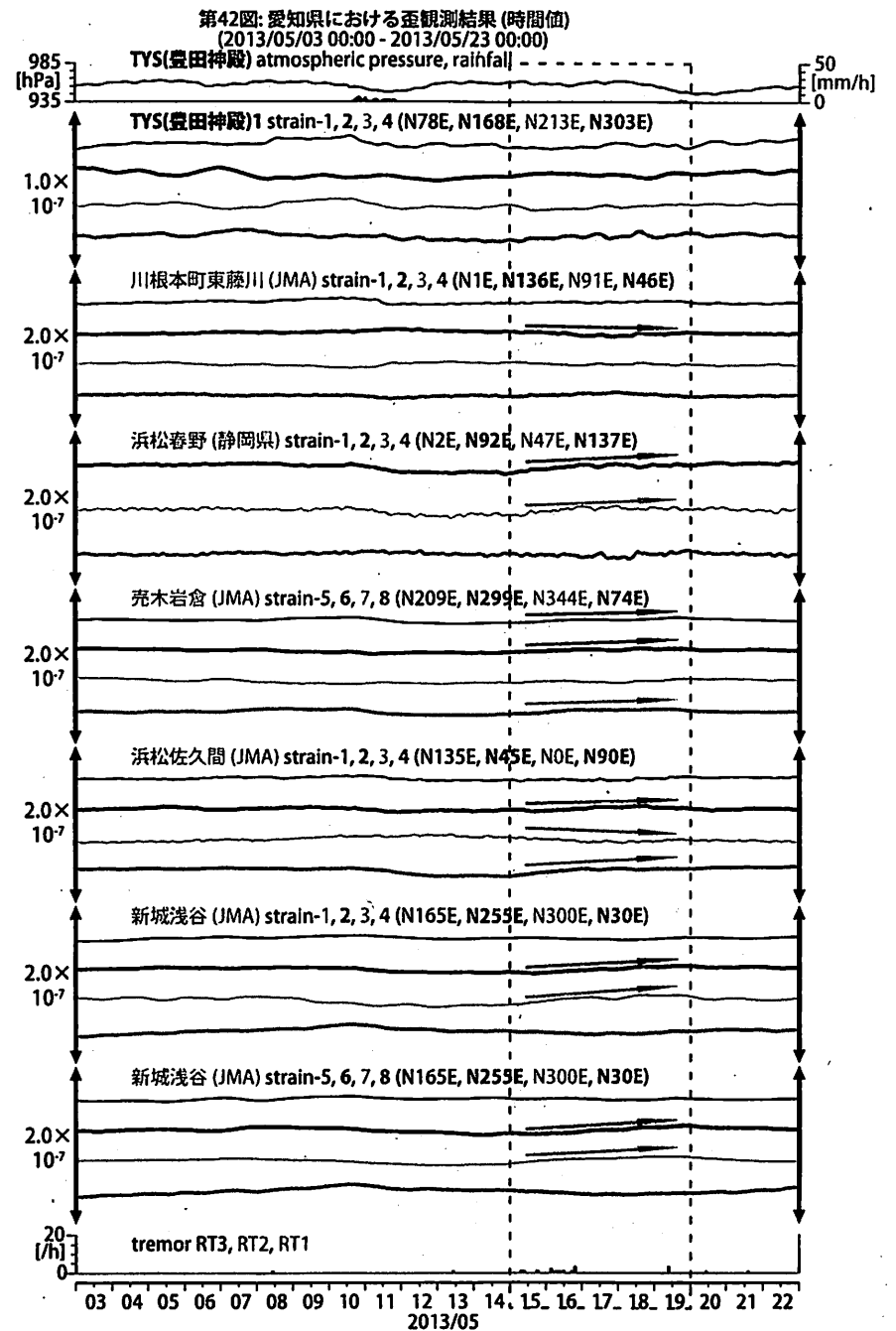


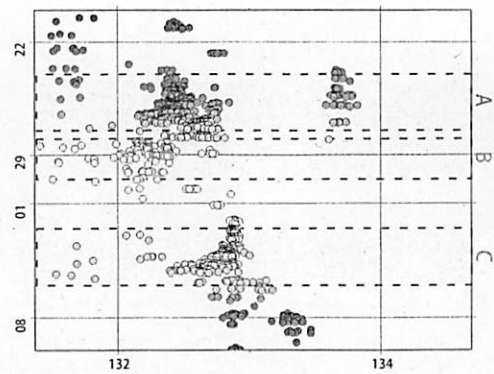
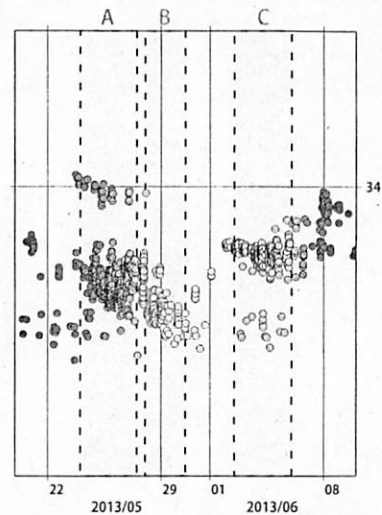
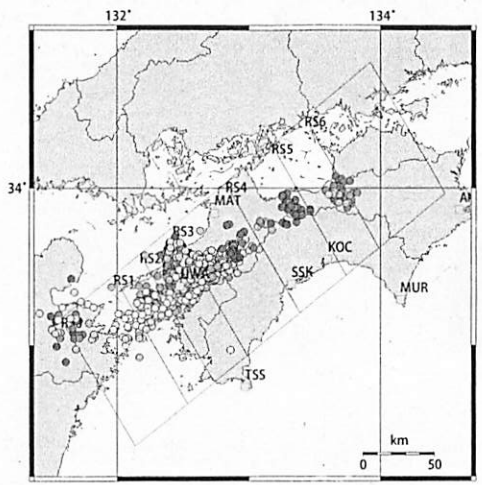
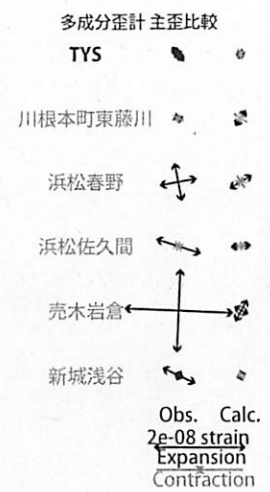
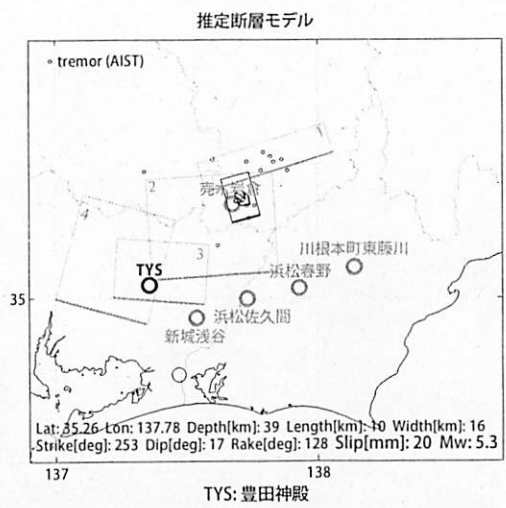
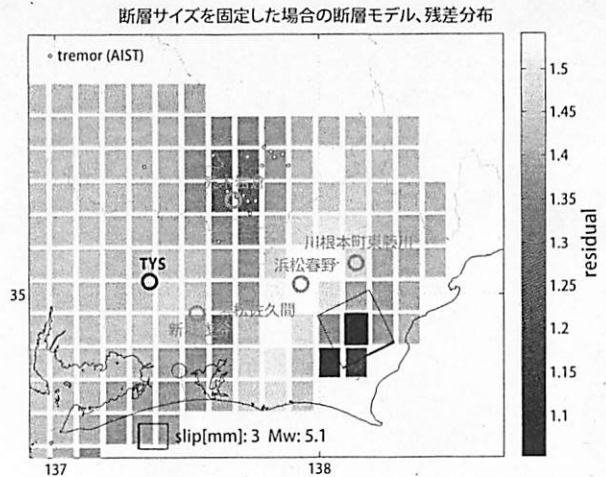
第39図 四国地方における深部低周波微動の時空間分布図(産総研による決定)





第41図: 2013/5/15 0:00 - 5/20 0:00 における東海地方の深部低周波微動の時空間分布図。
エンベロープ相関法により決定。





A: 5/24-27午前
 B: 5/28-30午前
 C: 6/2午後-5

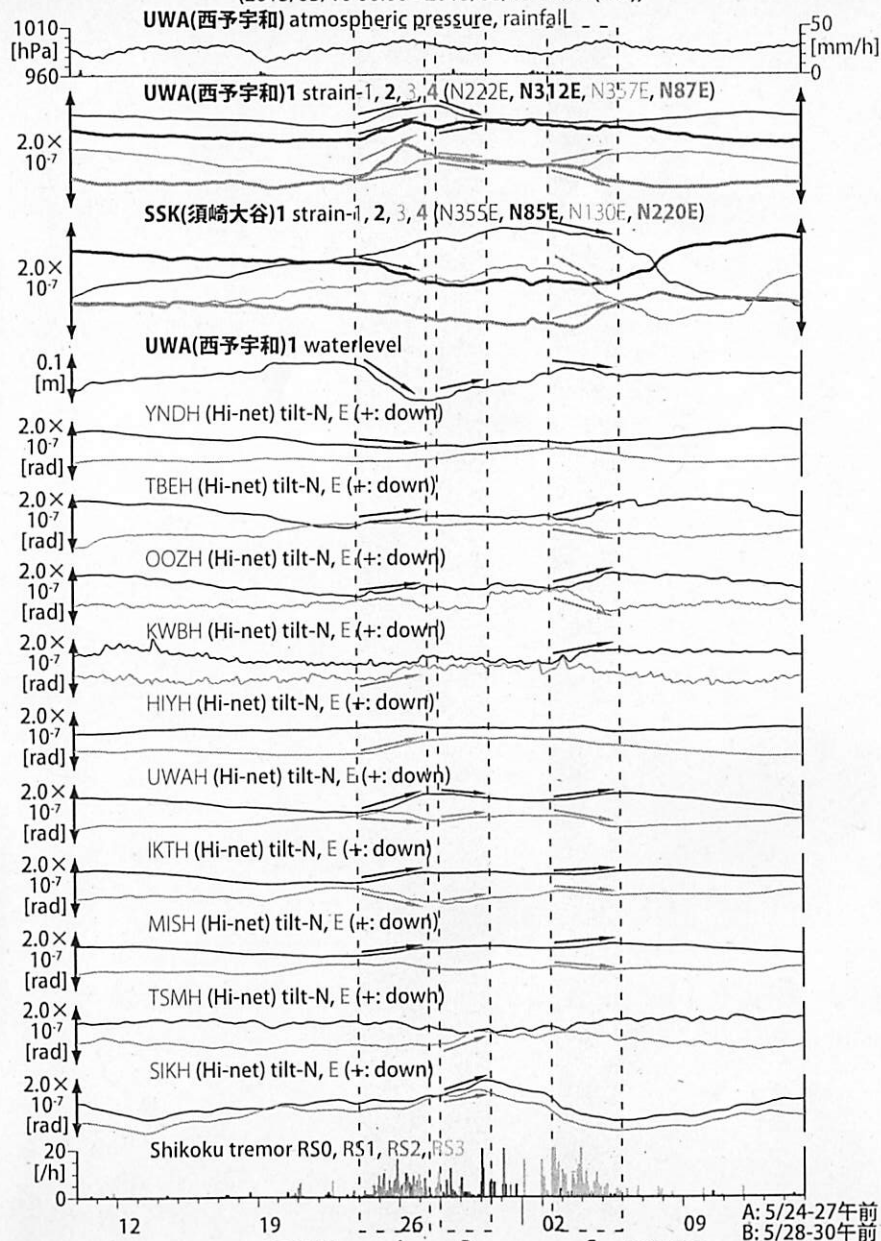
05/20 ————— Time ————— 06/10

ANK: 阿南桑野, MUR: 室戸岬, KOC: 高知市,
 SSK: 須崎大谷, TSS: 土佐清水松尾,
 MAT: 松山南江戸, UWA: 西予宇和

第44図: 2013/5/20 0:00 - 6/10 0:00 における東海地方の深部低周波微動の時空間分布図。エンベロープ相関法により決定。

第43図: (上段)プレート境界面上のパッチ(断層面)をすべらせた際の、歪・傾斜の観測値と計算値の残差分布図。断層面サイズは固定(20x20km)。黒色矩形は最小残差の断層面を表す。このパッチのすべり量、Mwを下部に示している。
 (下段)断層面推定結果(黒色矩形)。位置を微動域に限定して推定した。主歪の観測値とモデルからの計算値との比較を右側に示す。灰色の矩形は、最近周辺で発生した短期的SSEの推定断層面を示す。
 1: 2012年8月16-18日(Mw5.9), 2: 同19-24日(Mw5.8),
 3: 同年10月31日-11月2日(Mw5.5), 4: 同3-5日(Mw5.7)
 (共通)小さい黒色丸印は産総研による深部低周波微動の震央位置を示す。黒色太字は産総研の、灰色は気象庁の観測点名を示す。

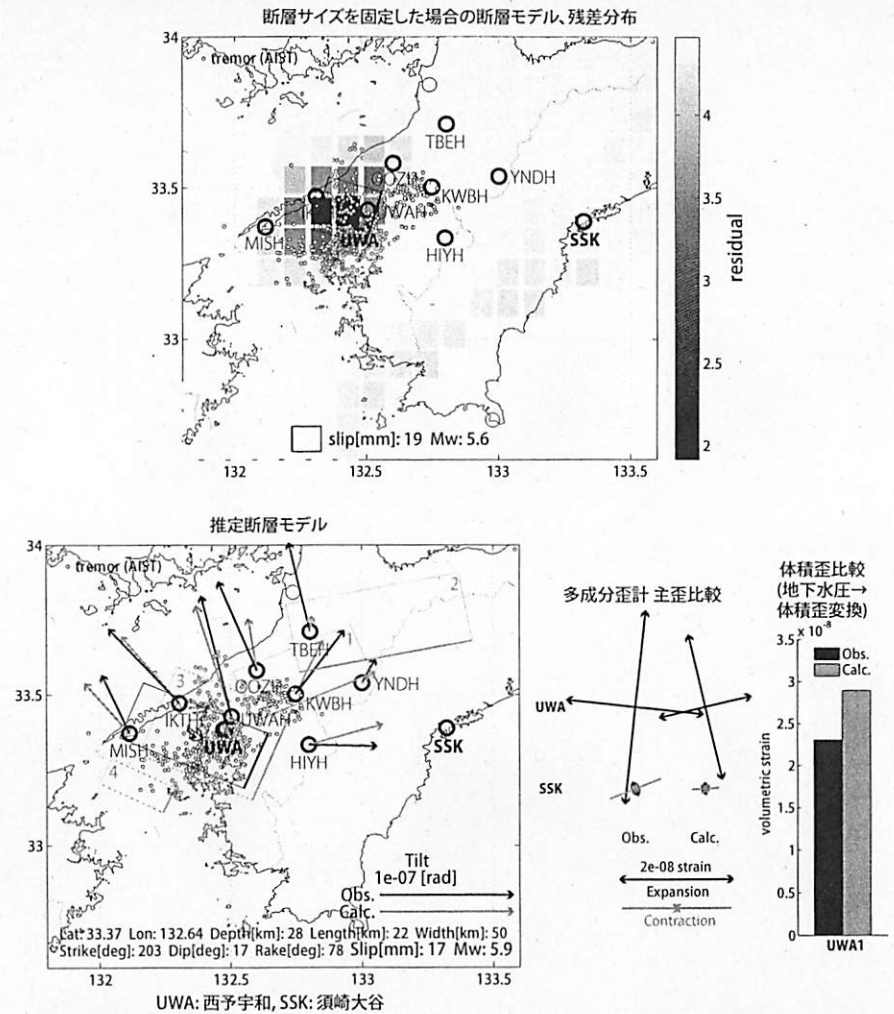
第45図: 四国における歪・傾斜観測結果
(2013/05/10 00:00 - 2013/06/15 00:00 (JST))



歪・傾斜は直線トレンド、潮汐・気圧応答・ノイズ成分除去 (BAYTAP-G)

A: 5/24-27午前
B: 5/28-30午前
C: 6/2午後-5

A: 2013/05/24-27午前

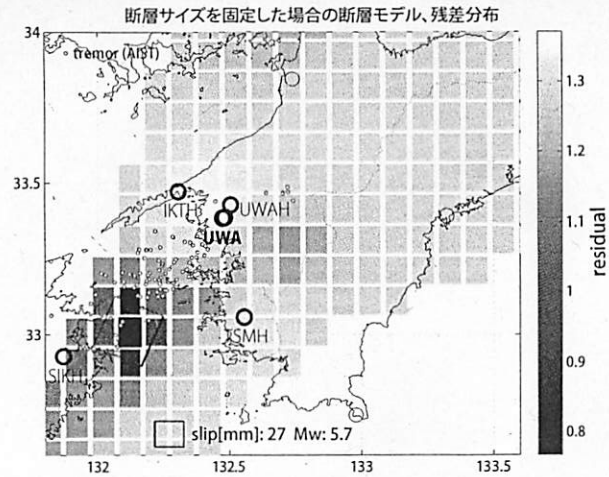


第46図: (上段)プレート境界面上のパッチ(断層面)をすべらせた際の、歪・傾斜の観測値と計算値の残差分布図。断層面サイズは固定(20x20km)。黒色矩形は最小残差の断層面を表す。このパッチのすべり量、Mwを下部に示している。

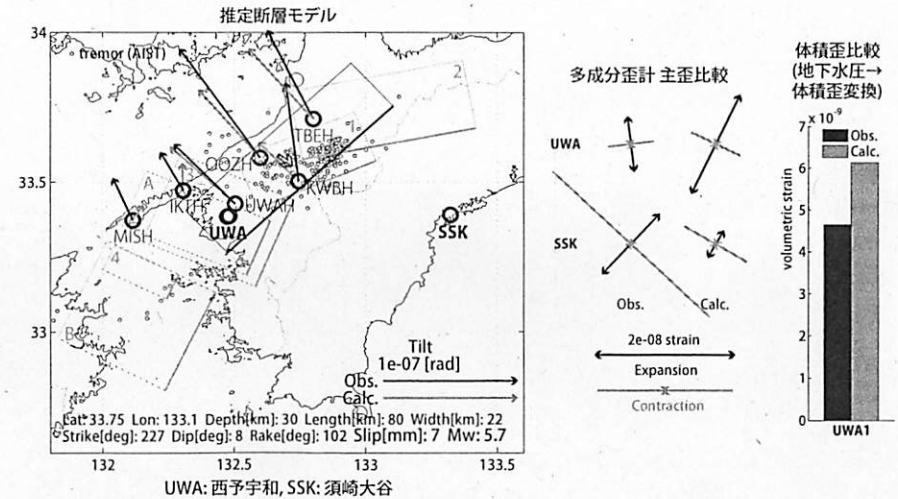
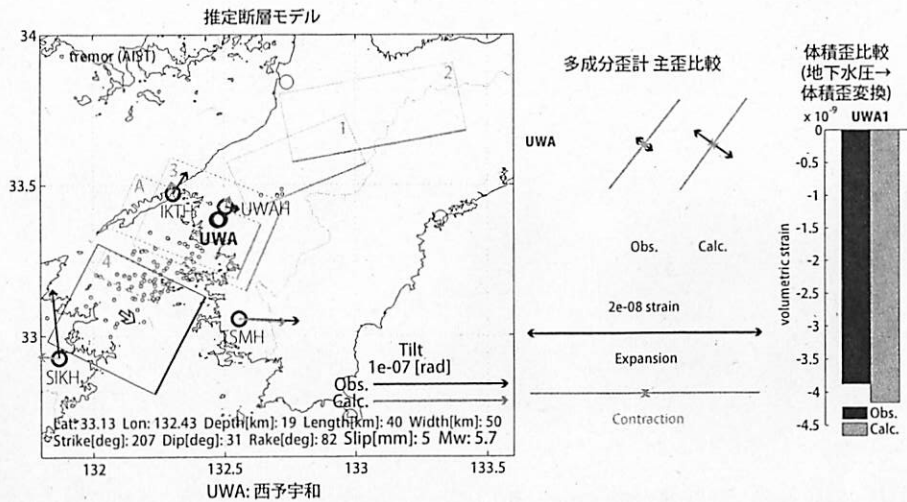
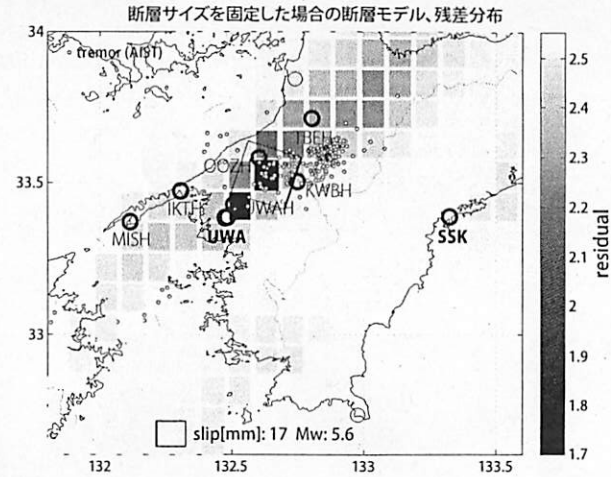
(下段)断層モデル推定結果(黒色矩形)。傾斜の観測値・モデルからの計算値との比較を地図内に、主歪および体積歪(地下水圧を変換)の観測値とモデルからの計算値との比較を右側に示す。灰色の矩形は、周辺で最近発生した短期的SSEの推定断層面を示す。

1: 2012年11月26-30日, 2: 同年12月1-3日, 3: 同9-11日, 4: 2013年3月21日午後-22日
(共通)小さい黒色丸印は産総研による深部低周波微動の震央位置を示す。黒色太字は産総研の、黒色細字は防災科研Hi-netの観測点を示す。

B: 2013/05/28-30午前



C: 2013/06/02午後-05



第47図: (上段)プレート境界面上のパッチ(断層面)をすべらせた際の、歪・傾斜の観測値と計算値の残差分布図。断層面サイズは固定(20x20km)。黒色矩形は最小残差の断層面を表す。このパッチのすべり量、Mwを下部に示している。

(下段)断層モデル推定結果(黒色矩形)。傾斜の観測値・モデルからの計算値との比較を地図内に、主歪および体積歪(地下水圧を変換)の観測値とモデルからの計算値との比較を右側に示す。灰色の矩形は、周辺で最近発生した短期的SSEの推定断層面を示す。

1: 2012年11月26-30日, 2: 同年12月1-3日, 3: 同9-11日, 4: 2013年3月21日午後-22日

A: 2013年5月24-27日午前

(共通)小さい黒色丸印は産総研による深部低周波微動の震央位置を示す。黒色太字は産総研の、黒色細字は防災科研Hi-netの観測点を示す。

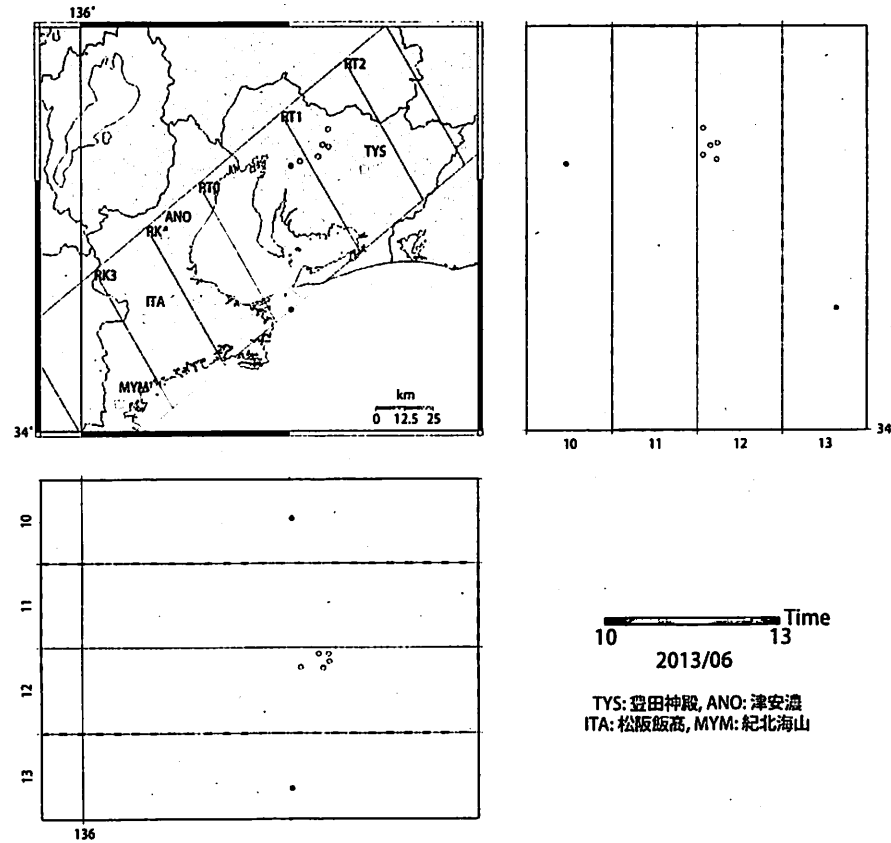
第48図: (上段)プレート境界面上のパッチ(断層面)をすべらせた際の、歪・傾斜の観測値と計算値の残差分布図。断層面サイズは固定(20x20km)。黒色矩形は最小残差の断層面を表す。このパッチのすべり量、Mwを下部に示している。

(下段)断層モデル推定結果(黒色矩形)。傾斜の観測値・モデルからの計算値との比較を地図内に、主歪および体積歪(地下水圧を変換)の観測値とモデルからの計算値との比較を右側に示す。灰色の矩形は、周辺で最近発生した短期的SSEの推定断層面を示す。

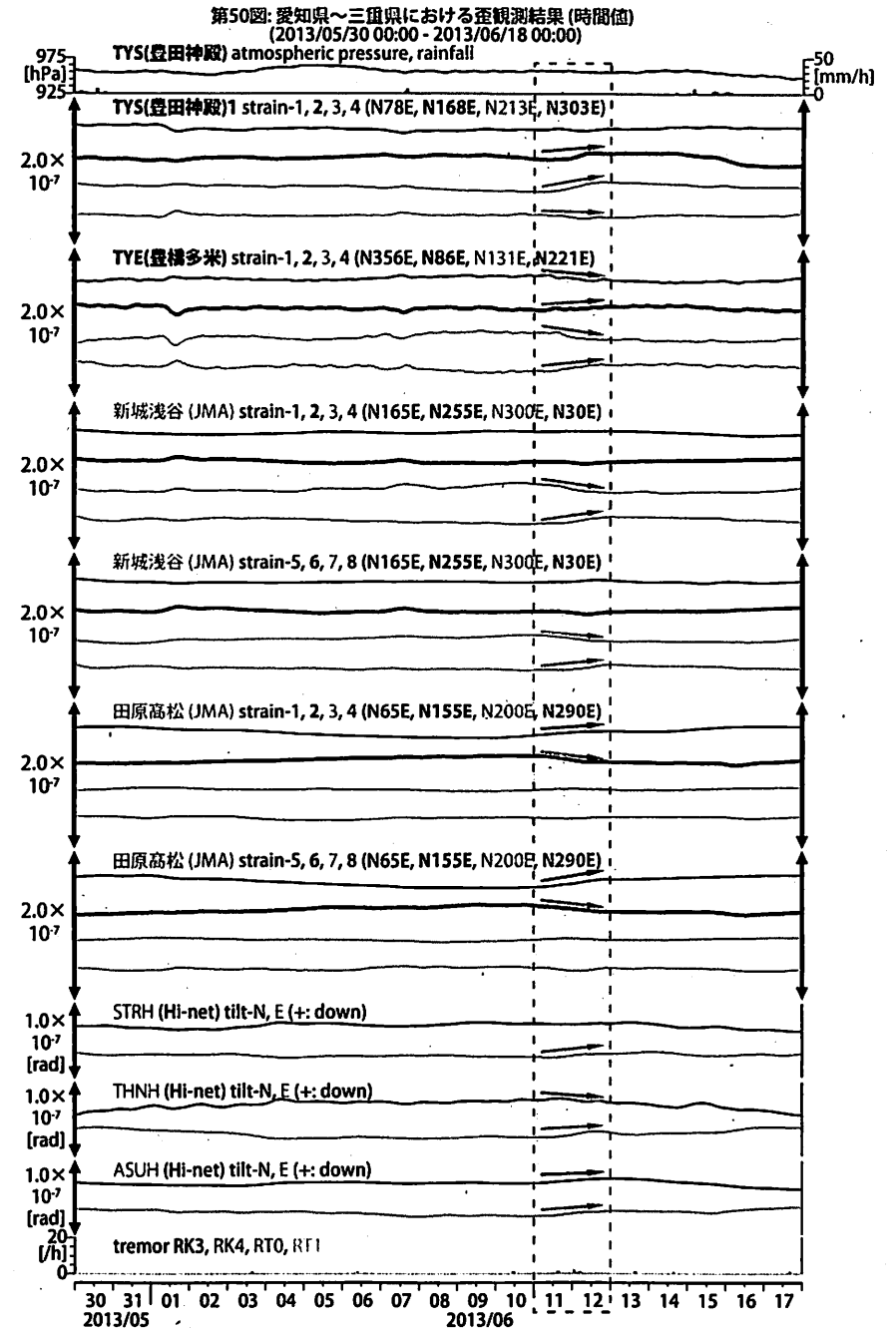
1: 2012年11月26-30日, 2: 同年12月1-3日, 3: 同9-11日, 4: 2013年3月21日午後-22日

A: 2013年5月24-27日午前, B: 同28-30日午前

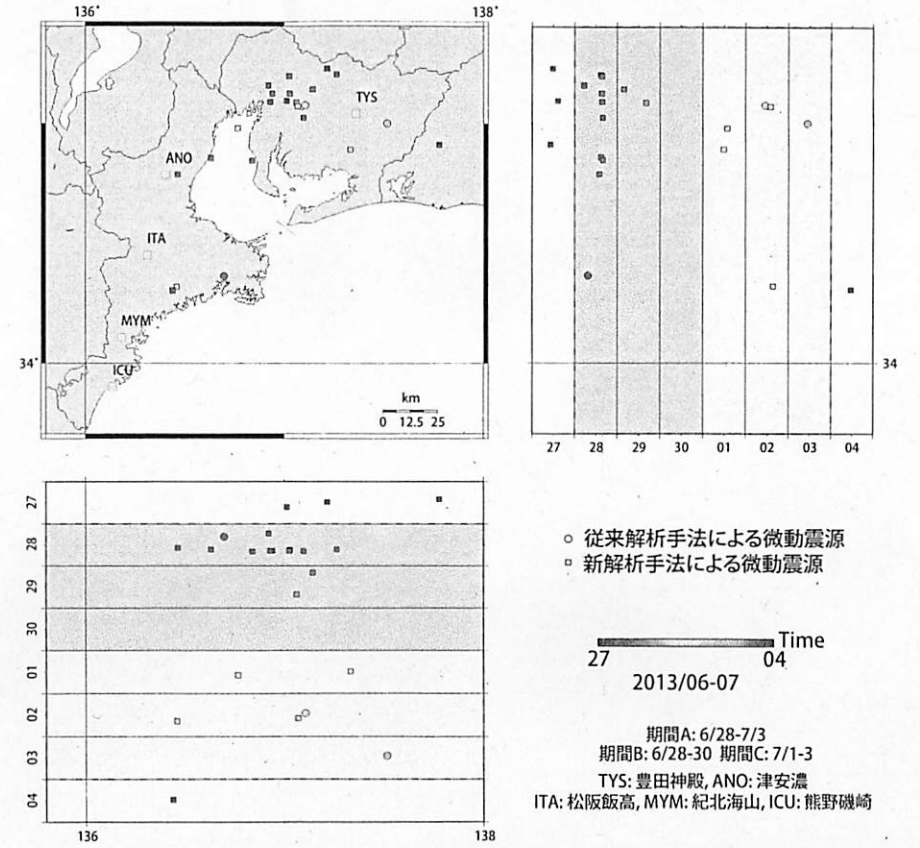
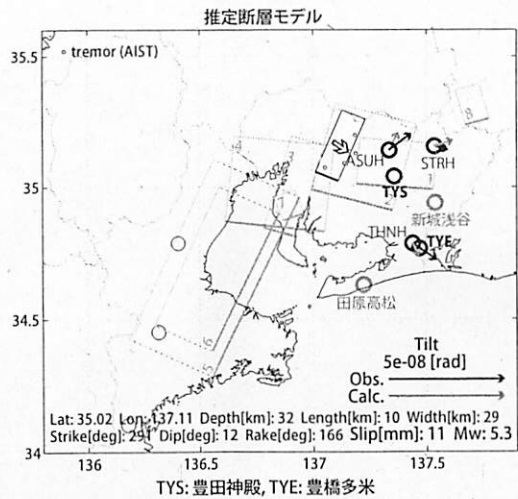
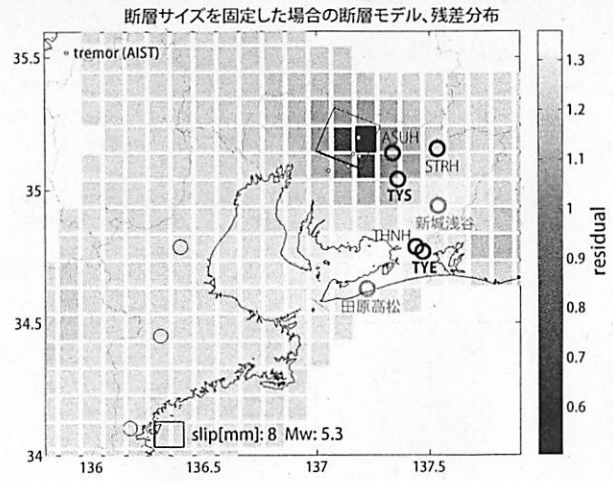
(共通)小さい黒色丸印は産総研による深部低周波微動の震央位置を示す。黒色太字は産総研の、黒色細字は防災科研Hi-netの観測点を示す。



第49図: 2013/6/10 0:00 - 6/14 0:00 における愛知県～三重県の深部低周波微動の時空間分布図。
エンベロープ相関法により決定。

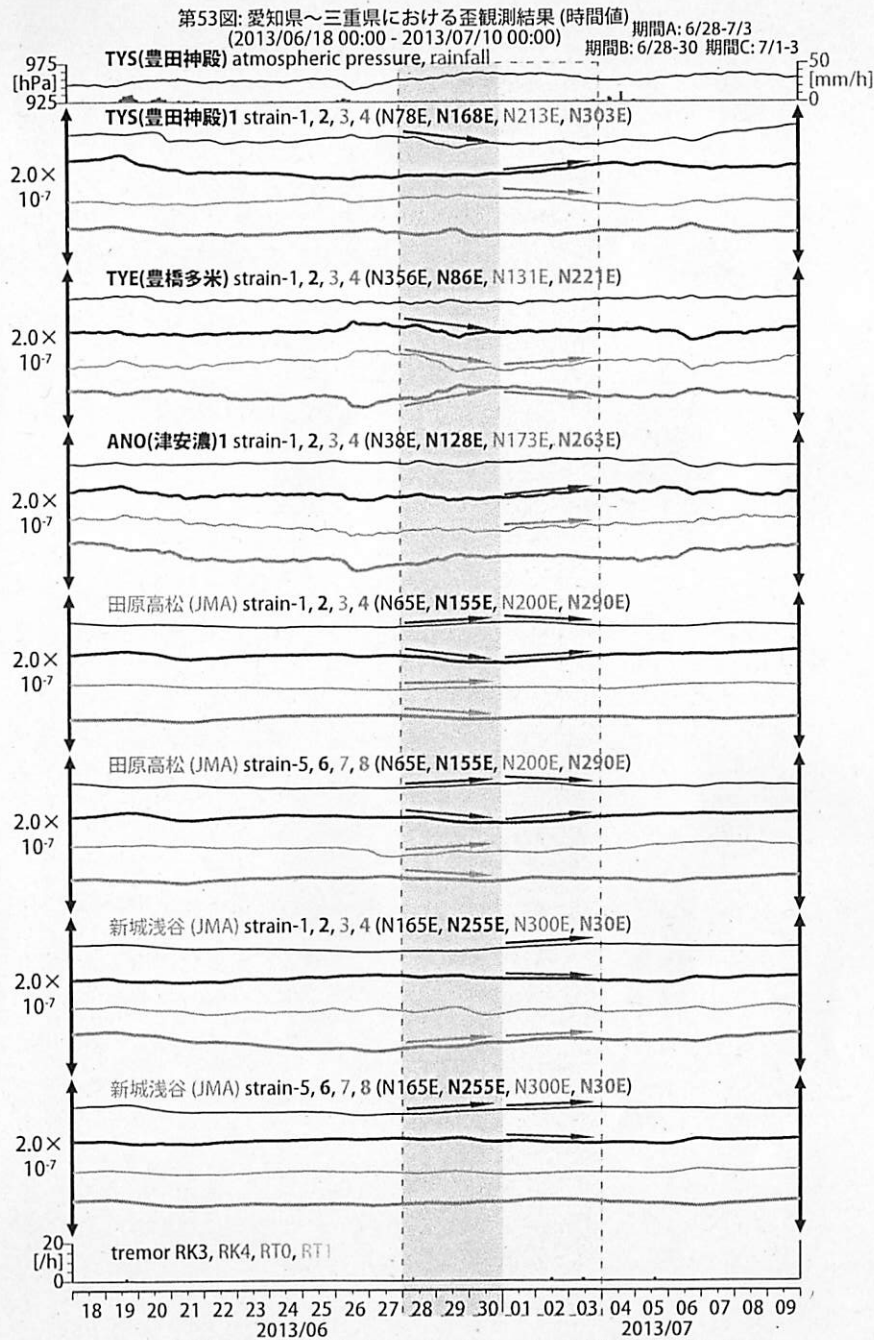


歪・傾斜は潮汐・気圧応答・ノイズをBAYTAP-Gで除去後、1次トレンド除去



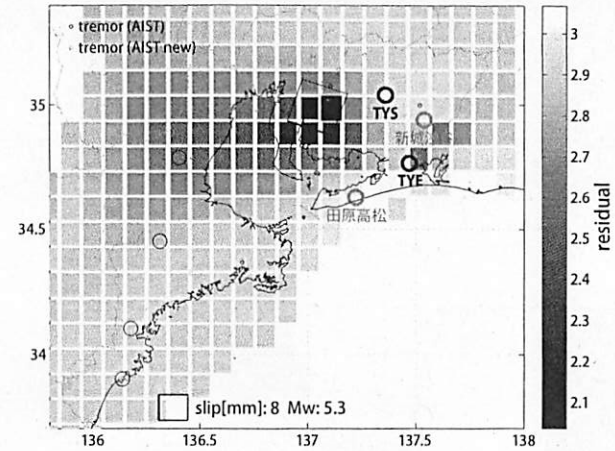
第52図: 2013/6/27 0:00 - 7/5 0:00 における愛知県～三重県の深部低周波微動の時空間分布図。エンベロープ相関法により決定。

第51図: (上段)プレート境界面上のパッチ(断層面)をすべらせた際の、歪・傾斜の観測値と計算値の残差分布図。断層面サイズは固定(20x20km)。黒色矩形は最小残差の断層面を表す。このパッチのすべり量、Mwを下部に示している。
(下段)断層面推定結果(黒色矩形)。位置を微動域に限定して推定した。主歪の観測値とモデルからの計算値との比較を右側に示す。灰色の矩形は、最近周辺で発生した短期的SSEの推定断層面を示す。
1: 2012年10月31日-11月2日(Mw5.5), 2: 同3-5日(Mw5.7), 3: 同21-26日(Mw5.6), 4: 同22-23日(Mw5.5)
5: 2013年4月7-9日(Mw6.0), 6: 同8-9日(Mw5.7), 7: 同10-14日午前(Mw5.4), 同年5月15-19日(Mw5.3)
(共通)小さい黒色丸印は産総研による深部低周波微動の震央位置を示す。黒色太字は産総研の、灰色は気象庁の観測点名を示す。

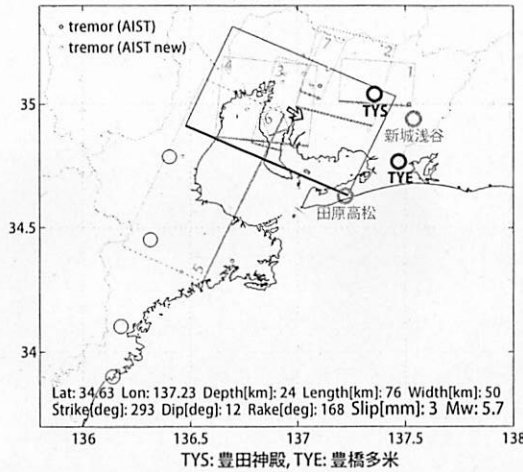


期間A: 6/28-7/3

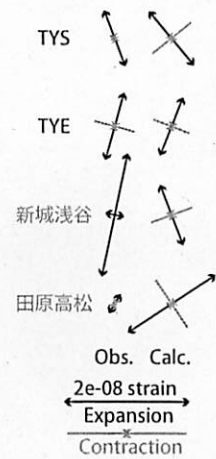
断層サイズを固定した場合の断層モデル、残差分布



推定断層モデル

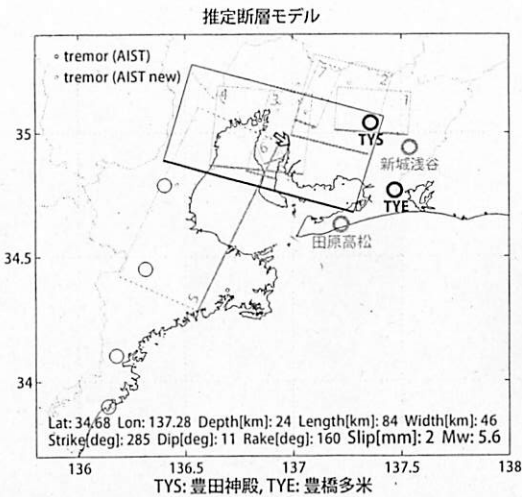
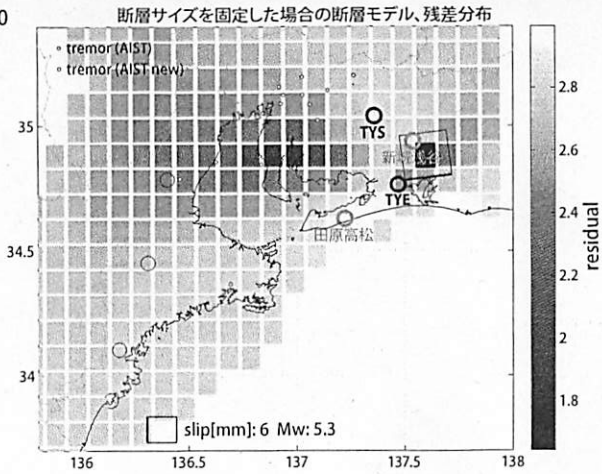


多成分歪計 主歪比較

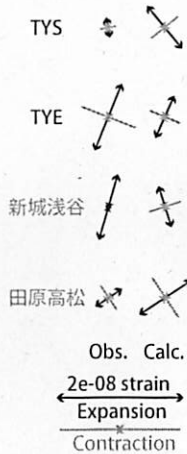


第54図: (上段)プレート境界面上のパッチ(断層面)をすべらせた際の、歪の観測値と計算値の残差分布図。断層面サイズは固定(20x20km)。黒色矩形は最小残差の断層面を表す。このパッチのすべり量、Mwを下部に示している。
 (下段)断層面推定結果(黒色矩形)。位置を微動域に限定して推定した。主歪の観測値とモデルからの計算値との比較を右側に示す。灰色の矩形は、最近周辺で発生した短期的SSEの推定断層面を示す。
 1: 2012年10月31日-11月2日(Mw5.5), 2: 同3-5日(Mw5.7), 3: 同21-26日(Mw5.6), 4: 同22-23日(Mw5.5)
 5: 2013年4月7-9日(Mw6.0), 6: 同10-14日午前(Mw5.4), 7: 同年6月11-12日(Mw5.3)
 (共通)小さい黒色丸印は産総研による深部低周波微動、小さい灰色丸印は産総研の新解析手法による深部低周波微動の震央位置を示す。黒色太字は産総研の、灰色は気象庁の観測点名を示す。

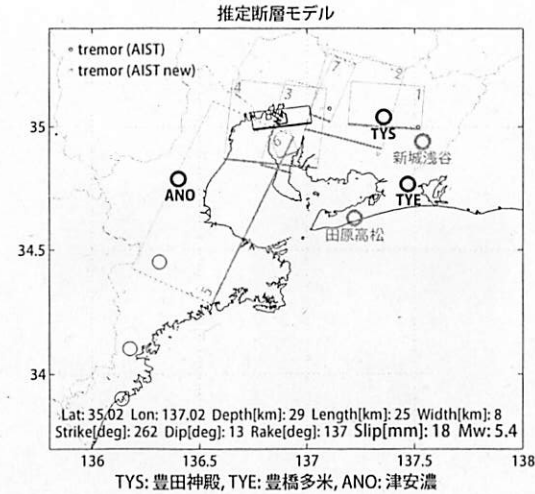
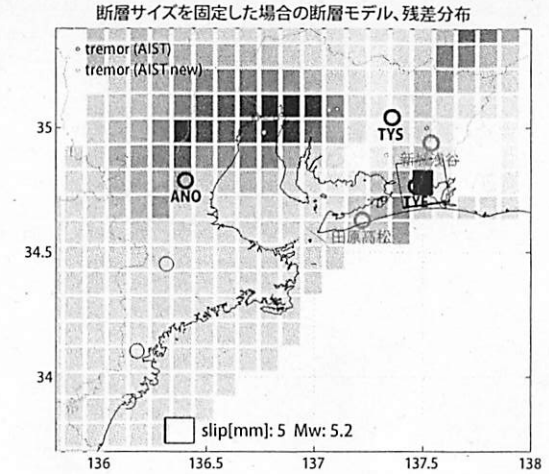
期間B: 6/28-30



多成分歪計 主歪比較



期間C: 7/1-3



多成分歪計 主歪比較



第55図: (上段)プレート境界面上のPATCH(断層面)をすべらせた際の、歪の観測値と計算値の残差分布図。断層面サイズは固定(20x20km)。黒色矩形は最小残差の断層面を表す。このPATCHのすべり量、Mwを下部に示している。

(下段)断層面推定結果(黒色矩形)。位置を微動域に限定して推定した。主歪の観測値とモデルからの計算値との比較を右側に示す。灰色の矩形は、最近周辺で発生した短期的SSEの推定断層面を示す。

1: 2012年10月31日-11月2日(Mw5.5), 2: 同3-5日(Mw5.7), 3: 同21-26日(Mw5.6), 4: 同22-23日(Mw5.5)
5: 2013年4月7-9日(Mw6.0), 6: 同10-14日午前(Mw5.4), 7: 同年6月11-12日(Mw5.3)

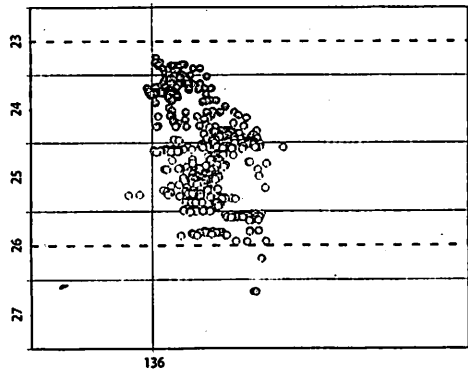
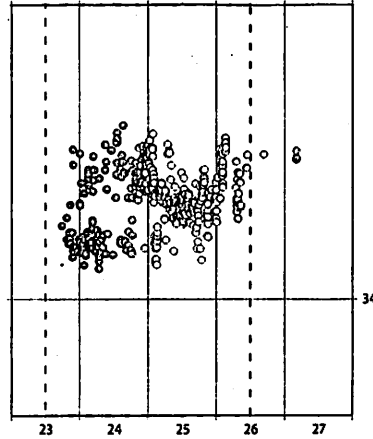
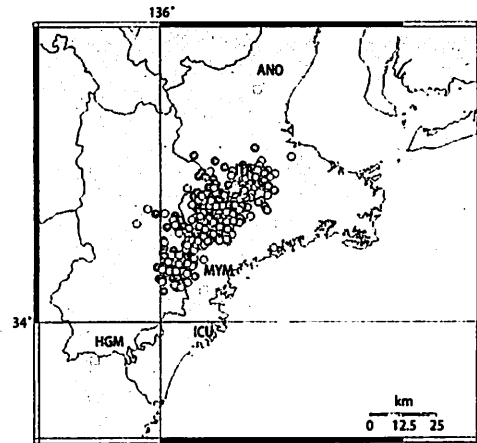
(共通)小さい黒色丸印は産総研による深部低周波微動、小さい灰色丸印は産総研の新解析手法による深部低周波微動の震央位置を示す。黒色太字は産総研の、灰色は気象庁の観測点名を示す。

第56図: (上段)プレート境界面上のPATCH(断層面)をすべらせた際の、歪の観測値と計算値の残差分布図。断層面サイズは固定(20x20km)。黒色矩形は最小残差の断層面を表す。このPATCHのすべり量、Mwを下部に示している。

(下段)断層面推定結果(黒色矩形)。位置を微動域に限定して推定した。主歪の観測値とモデルからの計算値との比較を右側に示す。灰色の矩形は、最近周辺で発生した短期的SSEの推定断層面を示す。

1: 2012年10月31日-11月2日(Mw5.5), 2: 同3-5日(Mw5.7), 3: 同21-26日(Mw5.6), 4: 同22-23日(Mw5.5)
5: 2013年4月7-9日(Mw6.0), 6: 同10-14日午前(Mw5.4), 7: 同年6月11-12日(Mw5.3)

(共通)小さい黒色丸印は産総研による深部低周波微動、小さい灰色丸印は産総研の新解析手法による深部低周波微動の震央位置を示す。黒色太字は産総研の、灰色は気象庁の観測点名を示す。

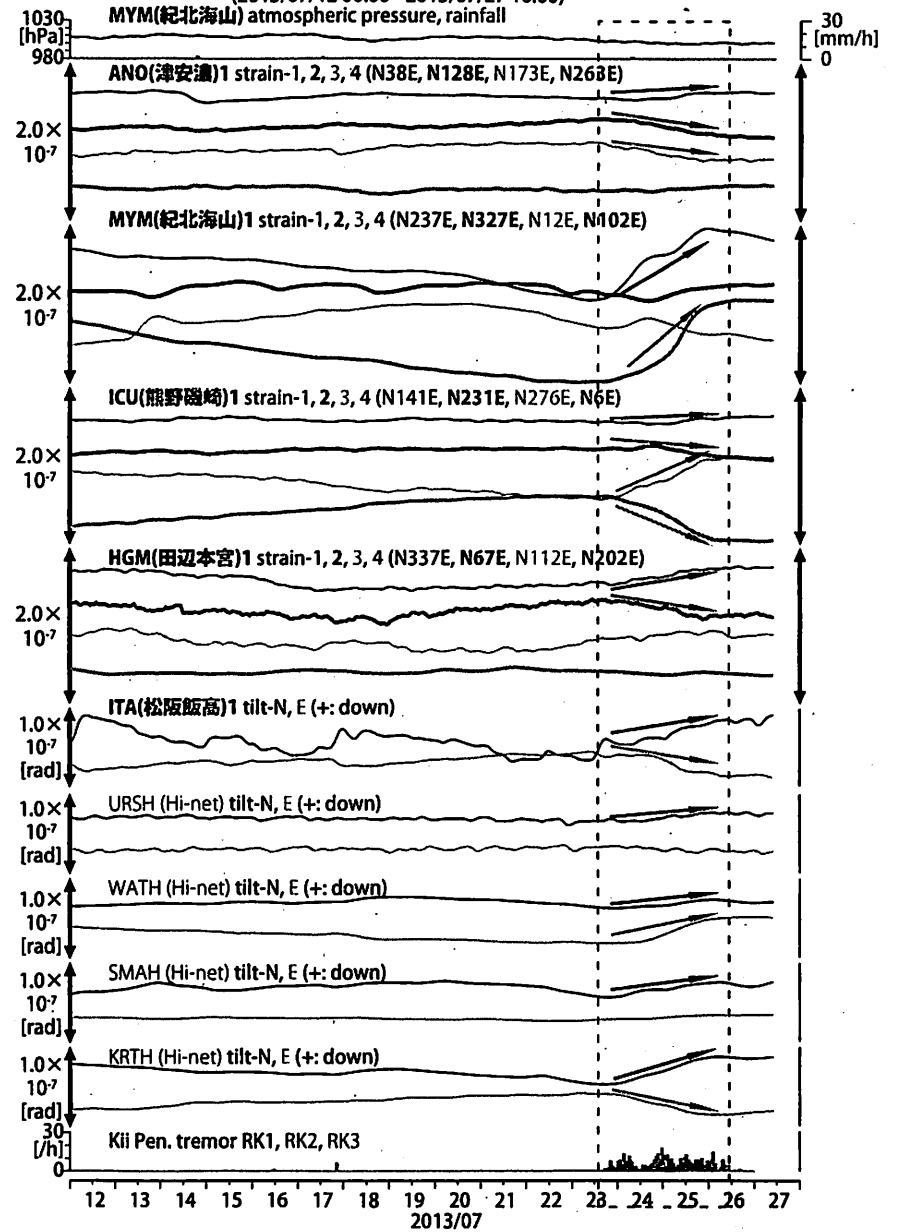


Time
23 27
2013/07

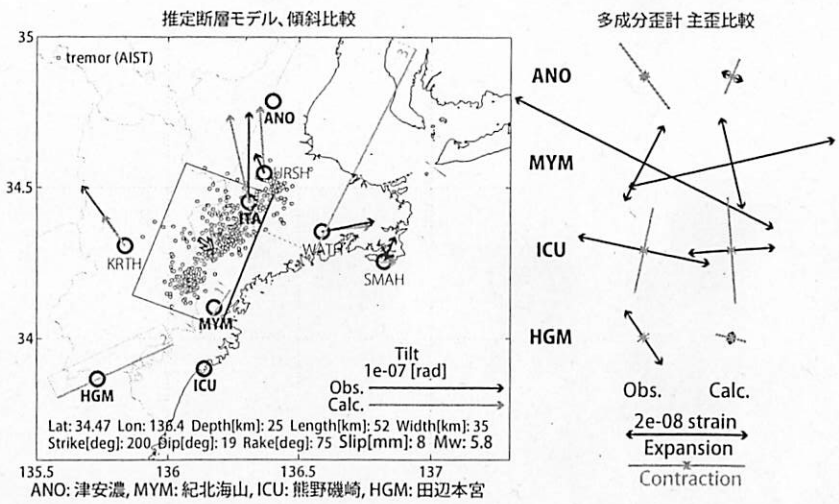
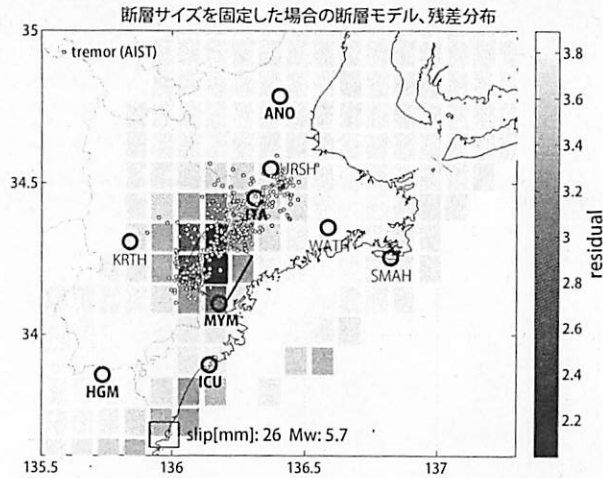
ANO: 津安濃, ITA: 松阪飯高, MYM: 紀北海山,
ICU: 熊野磯崎, HGM: 田辺本宮

第57図: 2013/7/27 0:00 - 7/28 0:00 における紀伊半島東部の深部低周波微動の時空間分布図。
エンベロープ相関法により決定。

第58図: 紀伊半島における歪・傾斜観測結果
(2013/07/12 00:00 - 2013/07/27 10:00)



歪・傾斜は直線トレンド、潮汐・気圧応答・ノイズ成分除去 (BAYTAP-G)



第59図: (上段)プレート境界面上のパッチ(断層面)をすべらせた際の、歪・傾斜の観測値と計算値の残差分布図。断層面サイズは固定(20x20km)。黒色矩形は最小残差の断層面を表す。このパッチのすべり量、Mwを下部に示している。
 (下段)断層面推定結果(黒色矩形)。灰色の矩形は、最近周辺で発生した短期的SSEの推定断層面を示す。1: 2012年12月17-18(Mw5.3), 2: 2013年3月8-11日(Mw5.5), 3: 同年4月7-9日(Mw6.0), 傾斜の観測値・モデルからの計算値との比較を地図内に、主歪および、体積歪(地下水圧は体積歪変換)の歪観測値・モデルからの計算値との比較を右側に示す。
 (共通)小さい黒色丸印は産総研による深部低周波微動の震央位置を示す。黒太字色は産総研の、黒色細字は防災科研Hi-netの観測点を示す。

神奈川県西部地域の地下水位観測（2013年5月～2013年7月）

神奈川県温泉地学研究所・産業技術総合研究所

1. はじめに

神奈川県温泉地学研究所では、神奈川県西部地震の予知研究の一環として、第1図・第1表に示した6箇所に地下水位観測施設を整備し地下水位の連続観測を行っている。2013年5月-2013年7月の期間に重点をおいた観測結果を報告する。

2. 観測

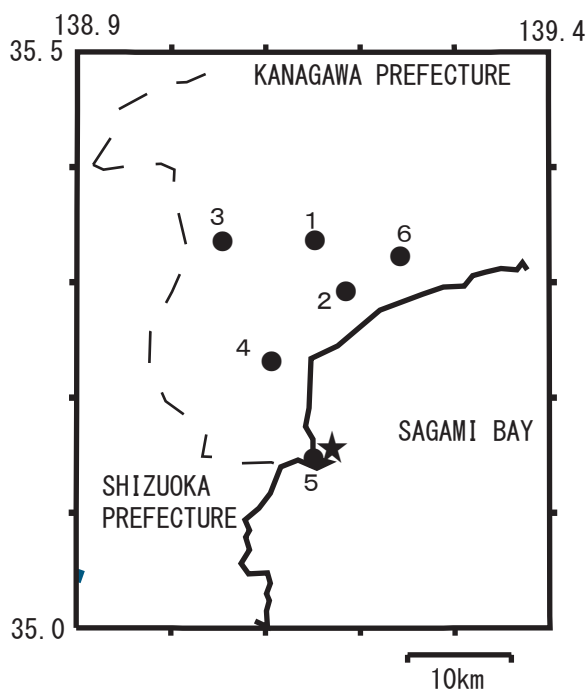
第1図の6箇所の観測点では、地下水位の他、気圧・降水量も1分サンプリングで観測を行っている。得られたデータは、1日1回テレメータにて温泉地学研究所に送信される。

3. 結果（第2～3図）

結果を第2図（原則1時間値、真鶴・二宮のみ24時間平均値）と第3図（原則0時の瞬時値）に示す。第1図の範囲内（北緯35～35.5度、東経138.9～139.4度）で、2013年5月～2013年7月に深さ30km以浅でM4以上の地震はない。同期間で、上記以外の地震で観測点周辺で震度2以上の揺れをもたらしたものは、

- 1) 2013年5月18日14時47分頃に発生した福島県沖の地震 (M6.0, 深さ46km, 観測点周辺の震度2),
- 2) 2013年7月3日18時20分頃発生した伊豆大島近海の地震 (M3.6, 深さ31km, 観測点周辺の震度は1-2),
- 3) 2013年7月10日0時21分頃発生した相模湾の地震 (M3.9, 深さ10km, 観測点周辺の震度は2-4),

の3つである。3の地震に対して大井観測井戸（第1図の1）で約4cmの水位の上昇が観測された（第2, 3図）（板寺一洋・原田昌武・小泉尚嗣）。



参考論文

横山尚秀・他, 1995, 神奈川県西部地震予知のための地下水位観測施設と地下水位解析, 温泉地学研究所報告, 26, 21-36.

第1図 地下水観測点の分布（●）と7月10日の相模湾の地震の震央（★）。

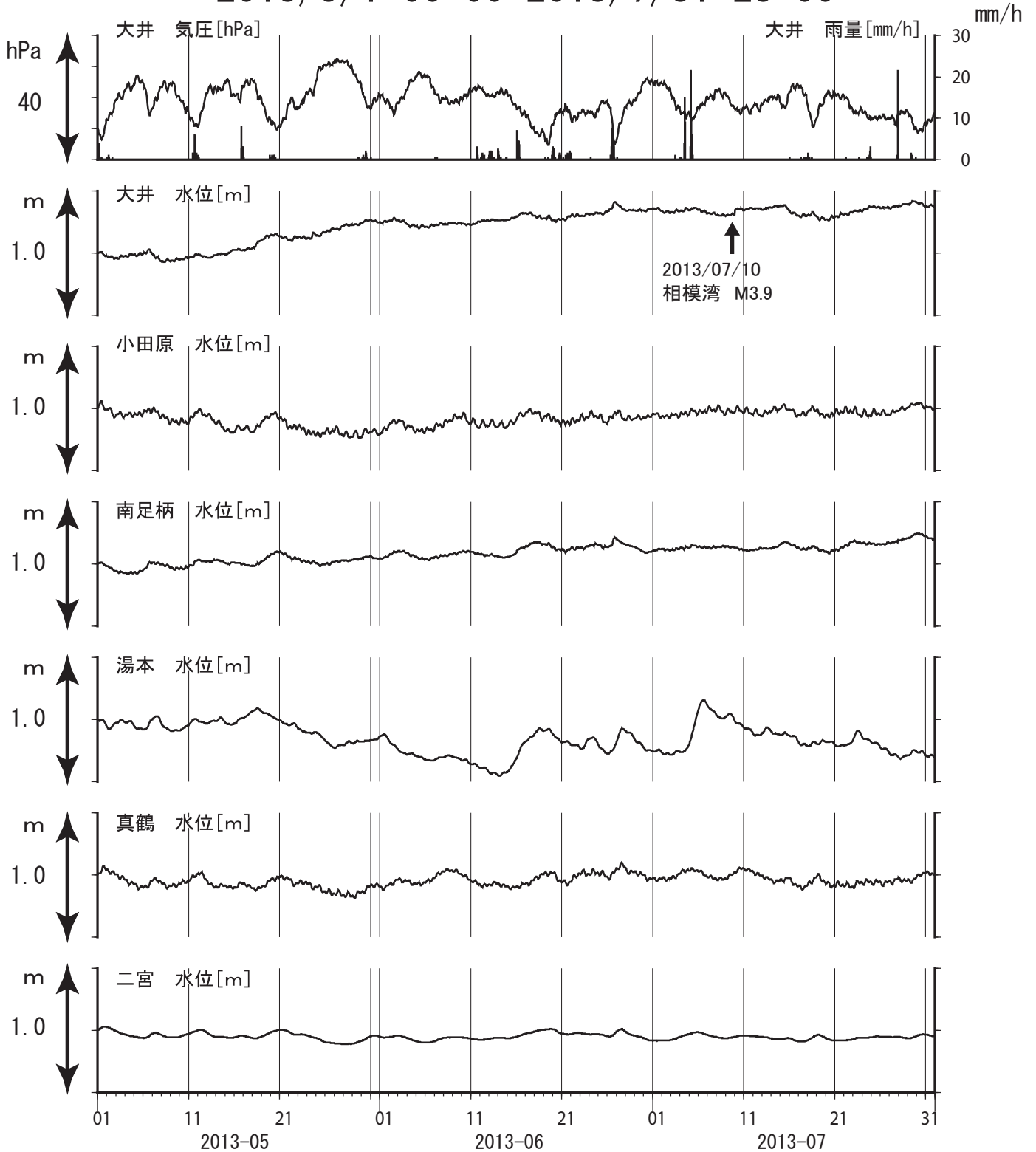
● 1 : 大井, ● 2 : 小田原, ● 3 : 南足柄, ● 4 : 湯本, ● 5 : 真鶴, ● 6 : 二宮。

第1表：地下水観測点の概要（横山・他, 1995）

観測点名	標高 (m)	深度 (m)	スクリーン (m)	センサー位置 (m)	帯水層の地質
大井	47	300	270～300	18	更新統(固結レキ層)
小田原	22	300	270～300	15	更新統(固結泥岩層)
南足柄	143	150	120～150	32	足柄層群(固結レキ層)
湯本	67	300	250～300	20	早川凝灰角レキ岩
真鶴	40	300	250～300	43	箱根古期外輪山溶岩
二宮	51	500	450～500	13	先第四系(固結レキ層)

神奈川県西部地域の地下水位観測 中期(時間値)

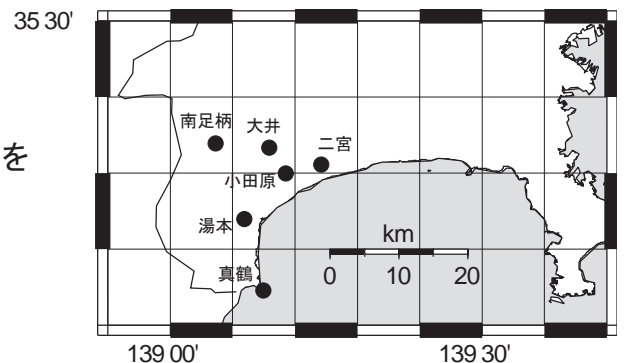
2013/5/1 00:00-2013/7/31 23:00



コメント：特記事項なし

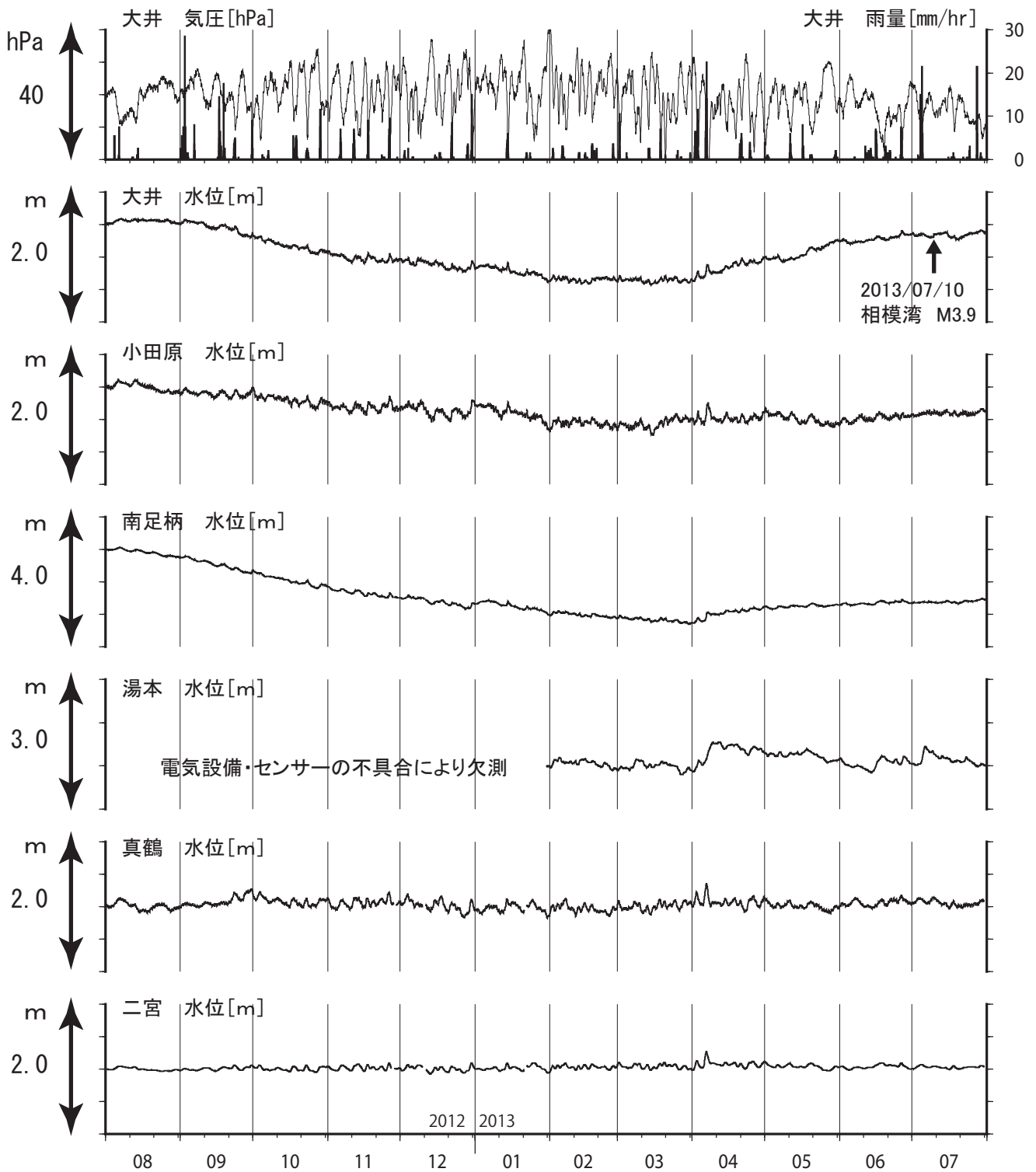
真鶴・二宮は潮汐の影響が大きいため日平均値を示している。他は一時間値(生データ)

第2図



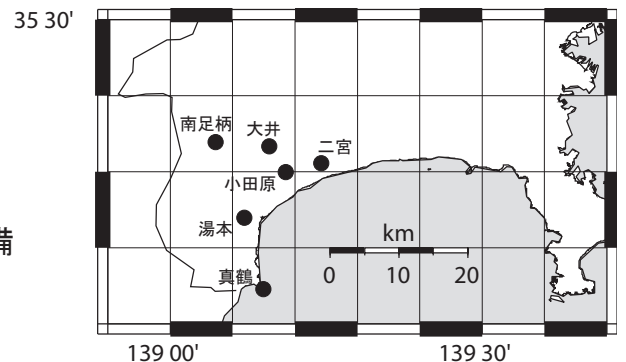
神奈川県西部地域の地下水位観測 長期

2012/8/1 00:00-2013/7/31 23:00



コメント：特記事項なし

真鶴・二宮以外は毎正時の瞬時値を示している。
2013年1月までの湯本の欠測は、観測点の電気設備
およびセンサーの不具合による。



第3図

鳥取県・岡山県・島根県における温泉水・地下水変化（2013年2月～ 2013年7月）

鳥取大学工学部・産業技術総合研究所

1. はじめに

鳥取県・島根県・岡山県は温泉が多く、その所在も地震活動と関連していると考えられる。この地方の特徴を生かし、国際ロータリー第2690地区、鳥取県西部地震義援金事業の一環として、温泉水の時間変化を観測網を山陰地方（鳥取県西部地震周辺及び鳥取県東部・岡山県北部地域）に整備し、地震活動との関連を調べている。

2. 観測

現在観測を行なっている地点は7点である（第1図）。観測方法としては、温泉井に水位計や温度計（分解能：1/100℃）を設置し、測定値をデータロガーにいったん収録した後、観測センター（鳥取大学工学部）へ電話回線を利用して転送する。観測センターには、データの回収・記録・解析システムを設置し、温泉データを地震データ等と比較して関係を調べる。解析の結果は、速報として観測センターのホームページで公開している（http://www.geosd.jp/onsen_k/index.htm）。

水位・水温の測定インターバルは10秒で1分間の平均値を記録している。温度センサーは、事前の温度検層により、湯谷温泉等を除いて、最も温度変化の大きい位置（深さ）に設置している（鳥取温泉175m、岩井温泉150m、三朝温泉25m、奥津温泉130m等）。なお、湯谷（第1図の6）と吉岡（7）では、2012年度からデータを現地集録に切り替えている。

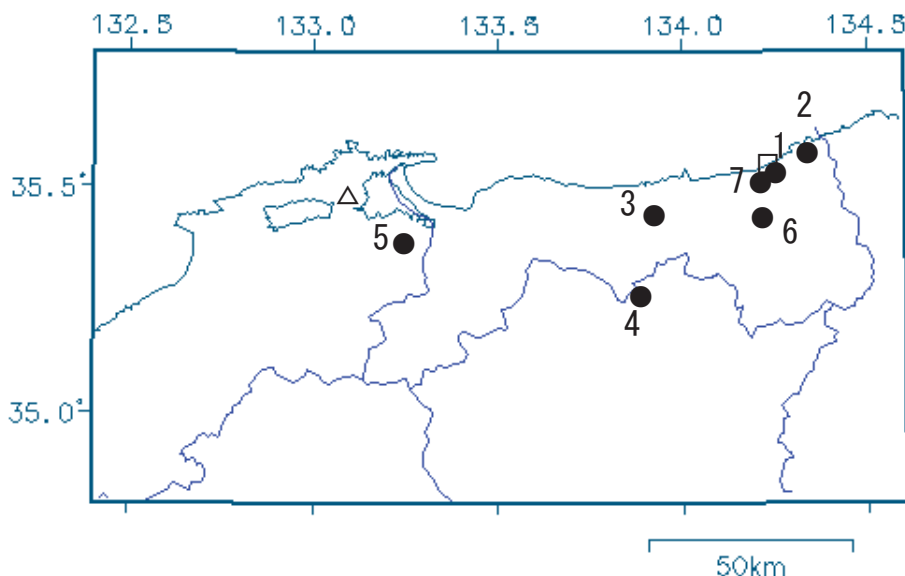
3. 結果（第2～4図）

結果（原則として1時間値）を第2～4図に示す。気圧や気温の記録は、鳥取や松江の気象台の測定値を用いている。吉岡温泉の水温は46～47℃と39～41℃を行き来する変化を以前から繰り返しているがその原因は不明である。2013年の6月中旬以降高温の状態が長くなっている（第3図）。鷺の湯温泉の水位が時々上昇するのは降雨による変化と思われる（第4図）。

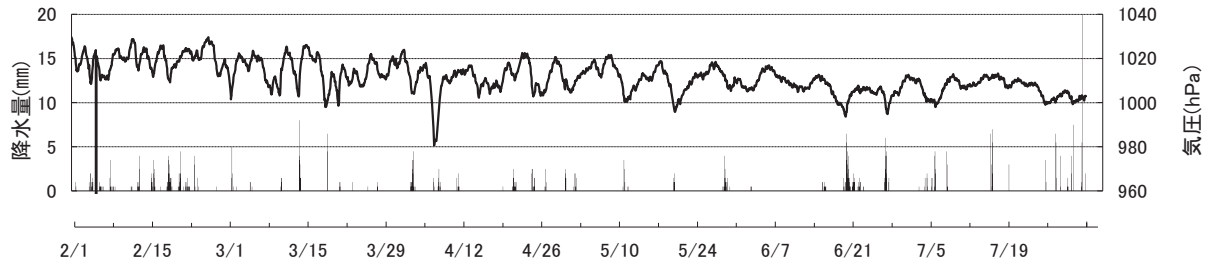
2013年2月～2013年7月の間に、第1図の範囲内（北緯34.8～35.8度、東経132.4～134.6度）で深さ30km以浅でM4以上の地震はない。また、観測点周辺に震度2以上の揺れをもたらした地震は、2013年4月13日5時33分頃に発生した淡路島付近の地震（M6.2、深さ15km、観測点周辺の震度は3）のみである。この地震の後に、鳥取温泉の水位および岩井温泉・湯谷温泉の水温に顕著な上昇が認められた。鷺の湯温泉の水温上昇も、淡路島付近の地震の揺れの影響と思われる（野口竜也・香川敬生・西田良平・小泉尚嗣）。

第1図 鳥取気象台（□）と松江気象台（△）および温泉水・地下水観測点（●）の分布。

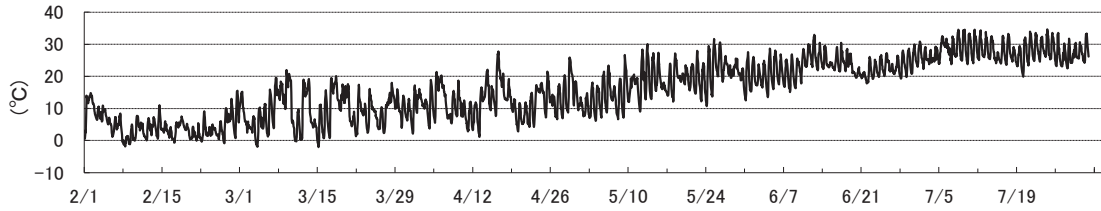
1：鳥取温泉， 2：岩井温泉， 3：三朝温泉， 4：奥津温泉， 5：鷺の湯温泉，
6：湯谷温泉， 7：吉岡温泉



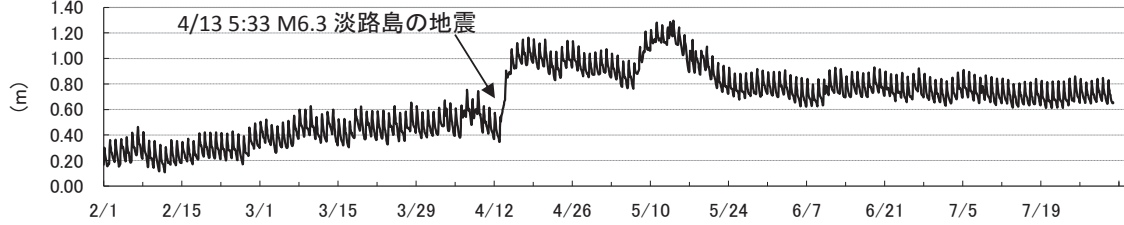
鳥取市 気圧・降水量



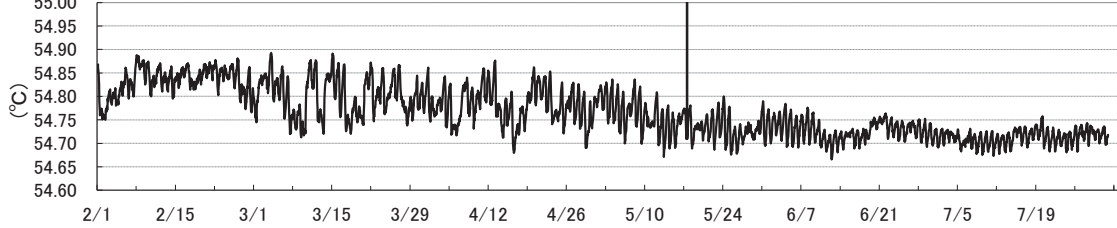
鳥取市 気温



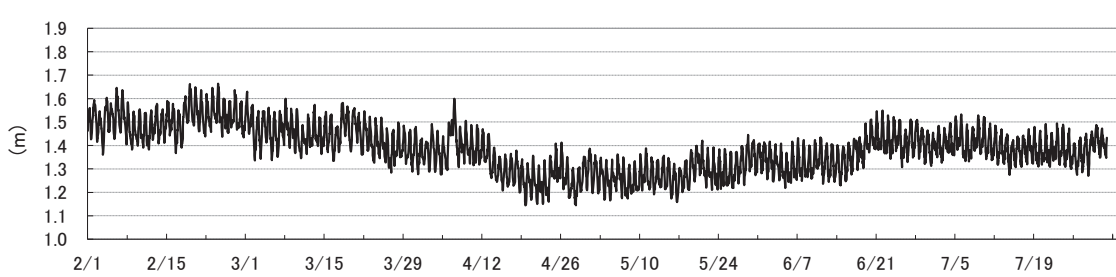
鳥取温泉 水位(m)



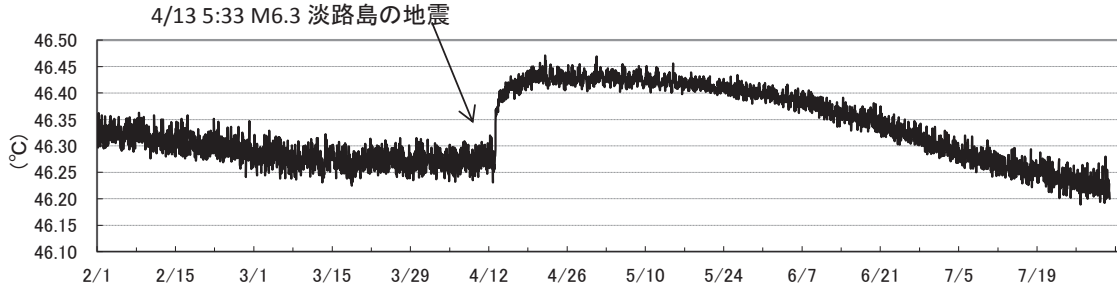
鳥取温泉 水温(°C)

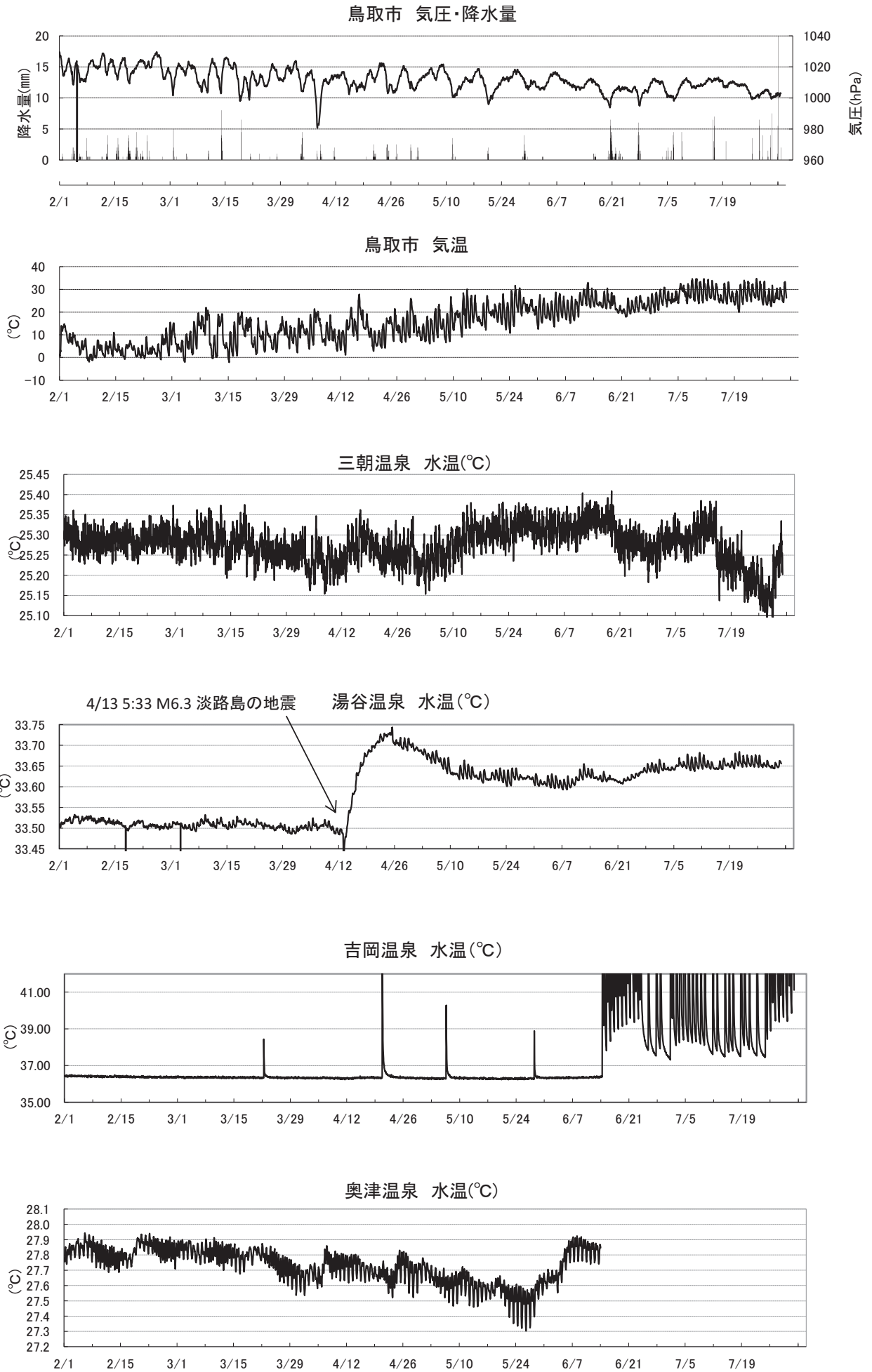


岩井温泉 水位(m)

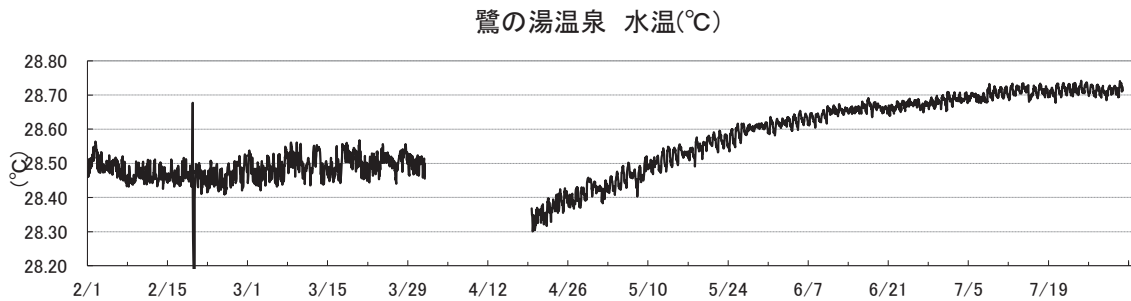
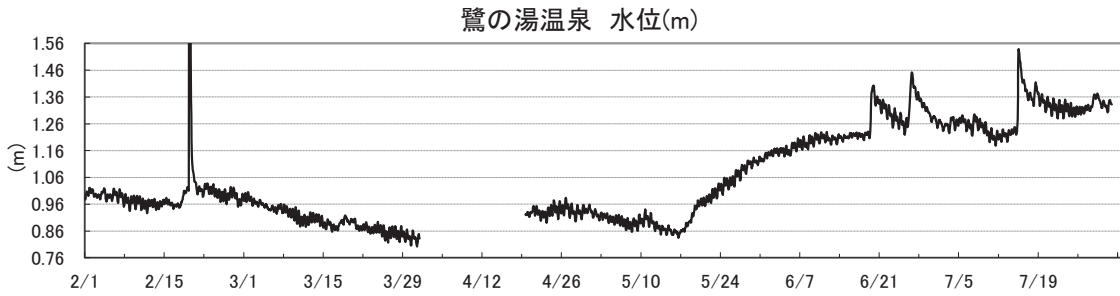
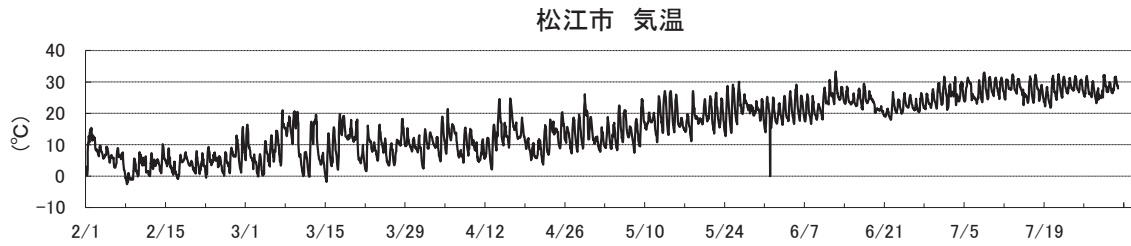
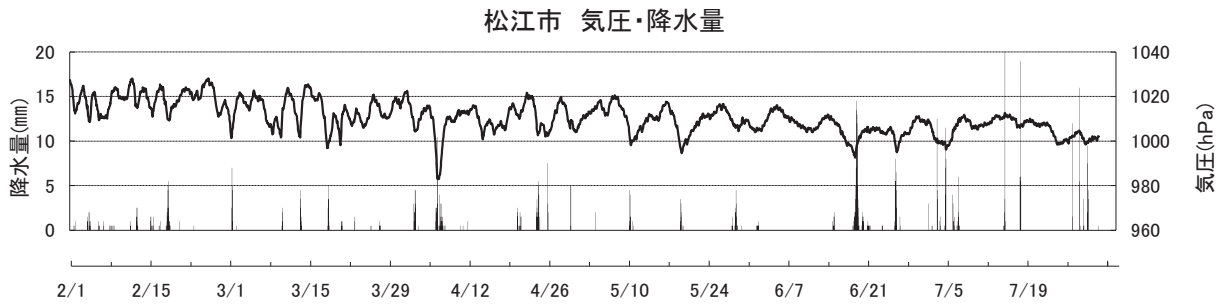


岩井温泉 水温(°C)





*13/6/14以降、計器不良のためデータ欠損



* 13/4/5~4/19 計器不良のためデータ欠損

第4図

近畿地域の地下水位・歪観測結果（2013年5月～2013年7月）

産業技術総合研究所

2013年5月～2013年7月の近畿地域におけるテレメータによる地下水位およびボアホール型歪計による地殻歪（水平3成分）の観測結果を報告する。観測点は13点（観測井は15井戸）である（第1図）。同期間中に第1図で示す範囲内で、M4以上で深さ30kmより浅い地震は、2013年6月8日16時17分頃に発生した和歌山県北部の地震（M4.0、深さ4km）、2013年7月17日12時07分頃に発生した淡路島付近の地震（M4.0、深さ17km）である。M4以上で深さ30kmより深い地震は、無かった。

第2～5図には、2013年2月～2013年7月における地下水位1時間値の生データ（上線）と補正值（下線）を示す。ボアホール型歪計が併設してある観測点については、同期間における歪3成分の観測値（生データ）も示す。歪の図において「N120E」などと示してあるのは、歪の方向が北から120度東方向に回転していることを示す。水位補正值（corrected）は、潮汐解析プログラムBAYTAP-GIによって、気圧・潮汐・不規則ノイズの影響を除去した結果である。なお、tkz・ysk・yst1・yst2およびyst3は地上より上に水位が来るので、井戸口を密閉して水圧を測定し、それを水位に換算している。hksではケーシングを二重にして、外管で浅い方の地下水位（hks-o）を、内管で深い方の地下水位（hks-i）をそれぞれ測定し、別々の観測井にカウントしている。

yskの水位の2013年5月下旬のヒゲ状ノイズは水位計の動作異常によると思われる（第2図）。hrbの地下水位の短期的な上下変化は口元から雨が流れ込んだためと思われる（第3図）。hnoの歪のN327成分の2013年7月4日から13日までの欠測は機器の故障のため（第4図）。

これらのデータ（グラフ等）は、<http://riodb02.ibase.aist.go.jp/gxwell/GSJ/index.shtml>で公開されている。（北川有一・小泉尚嗣・高橋誠・佐藤努・松本則夫・大谷竜・板場智史・桑原保人・佐藤隆司・木口努・長郁夫）

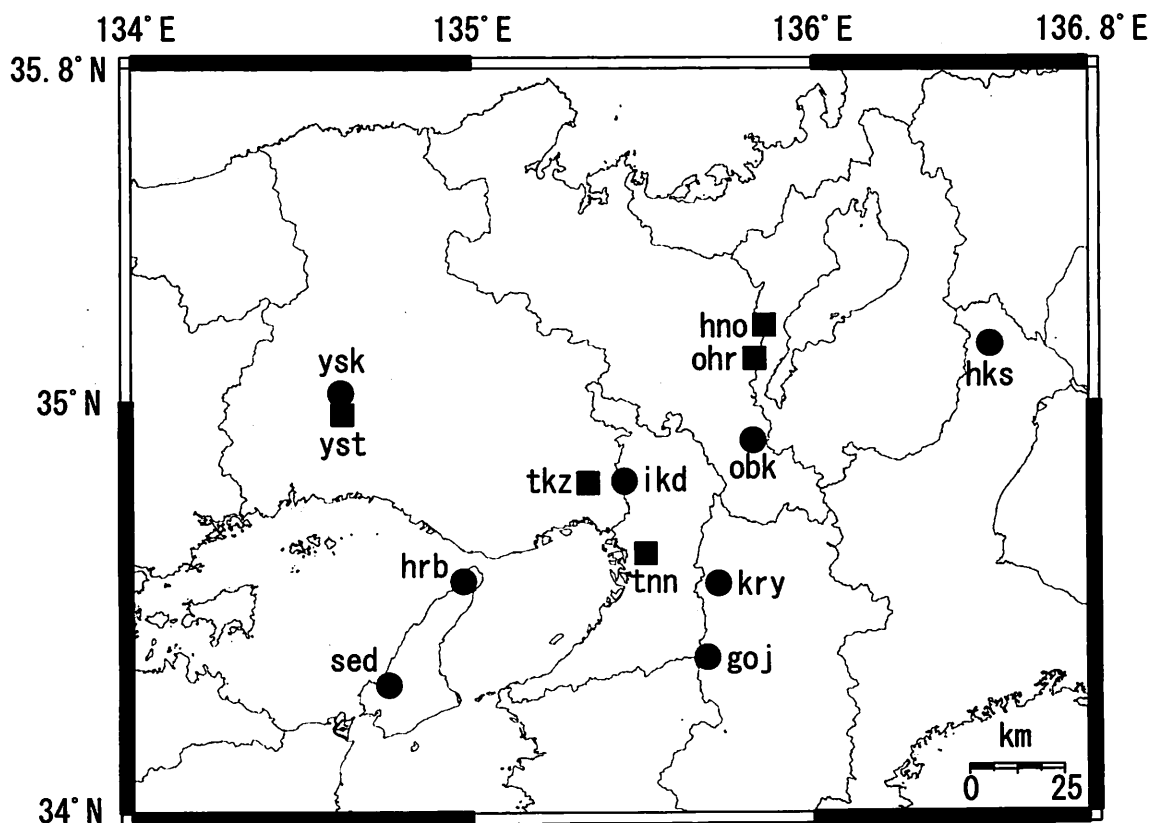


Fig. 1 観測点分布図（●・■）。●は地下水のみの観測点で、■はボアホール型歪計を併設している観測点。

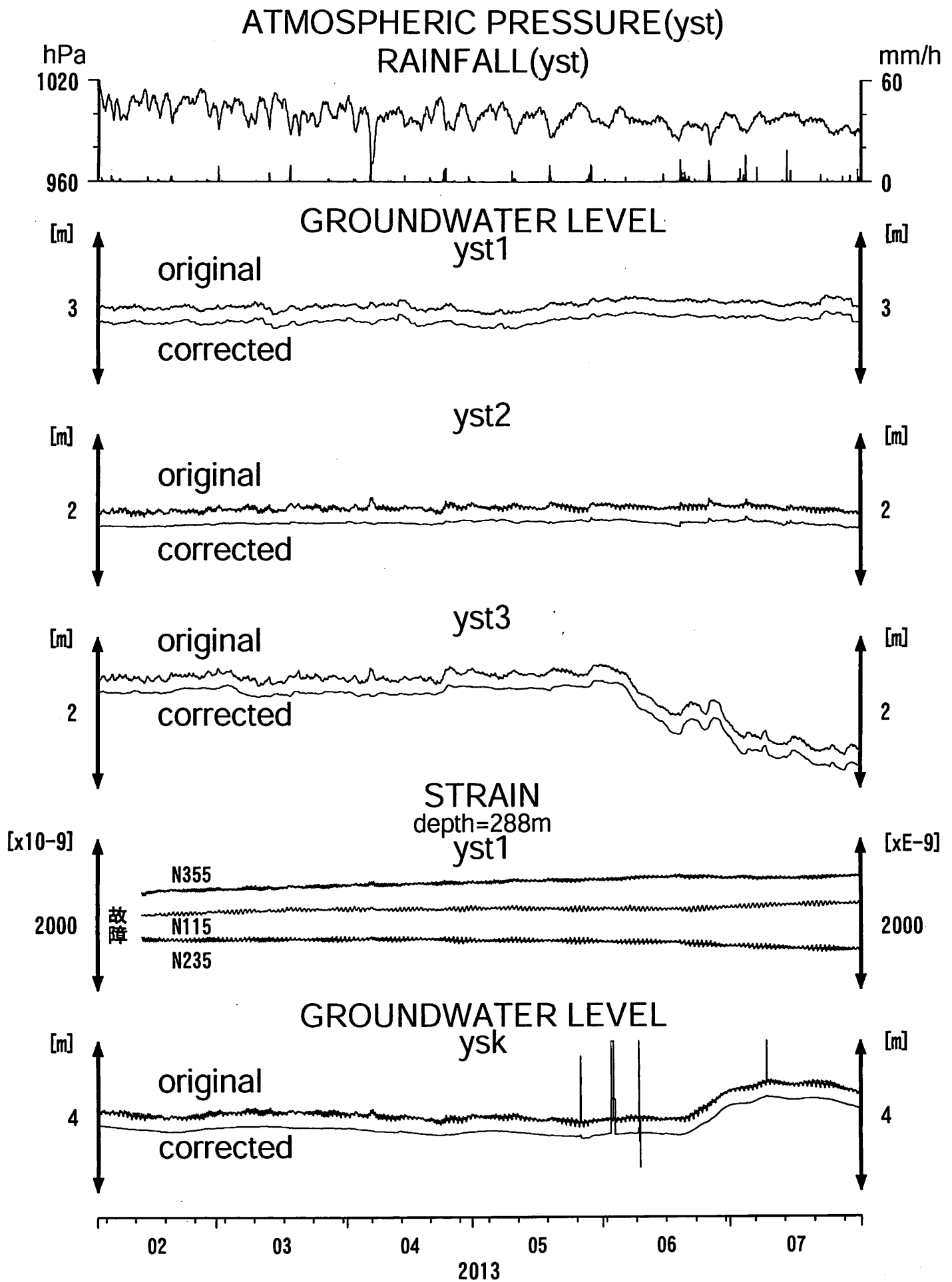


Fig.2

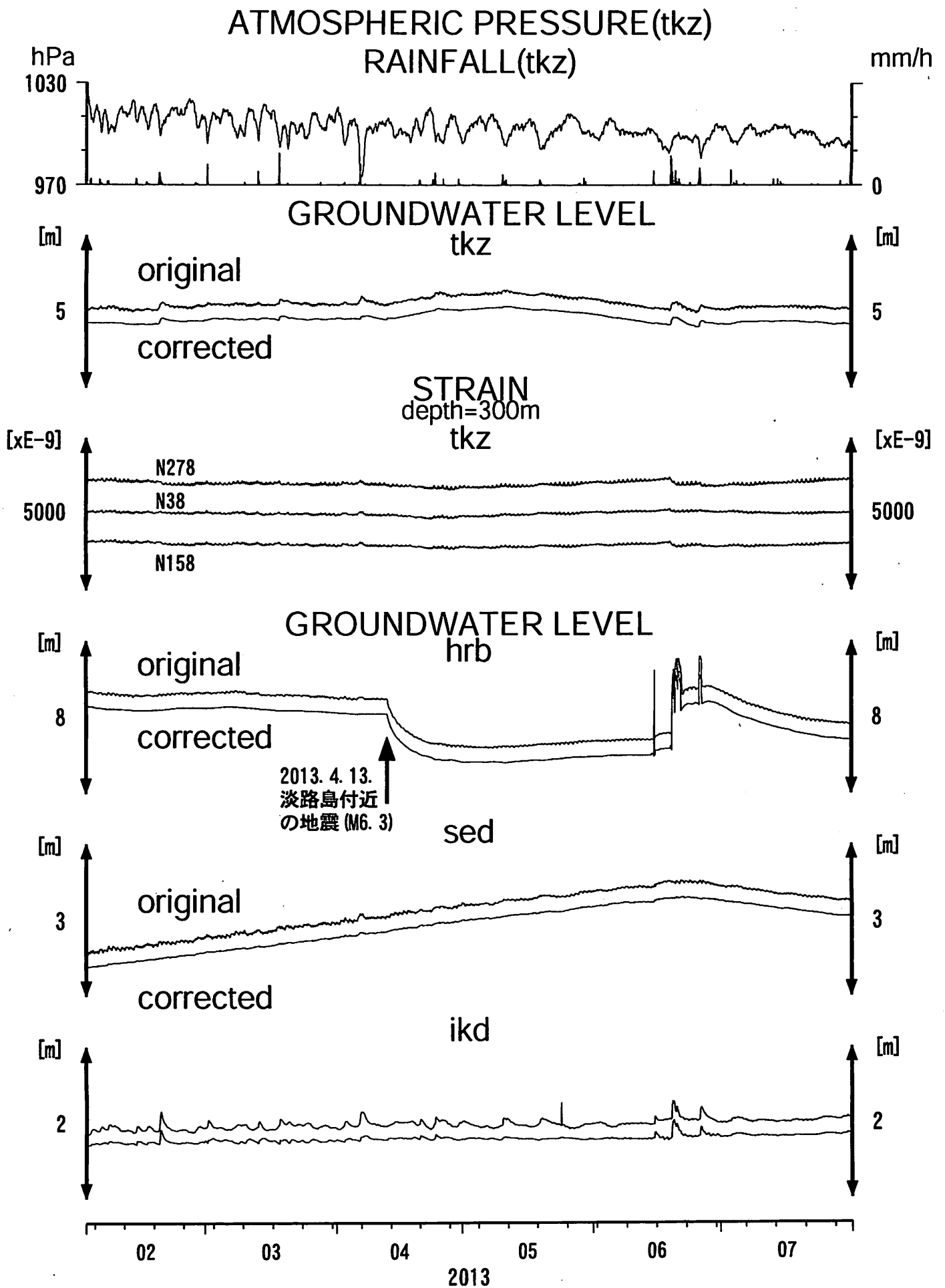


Fig.3

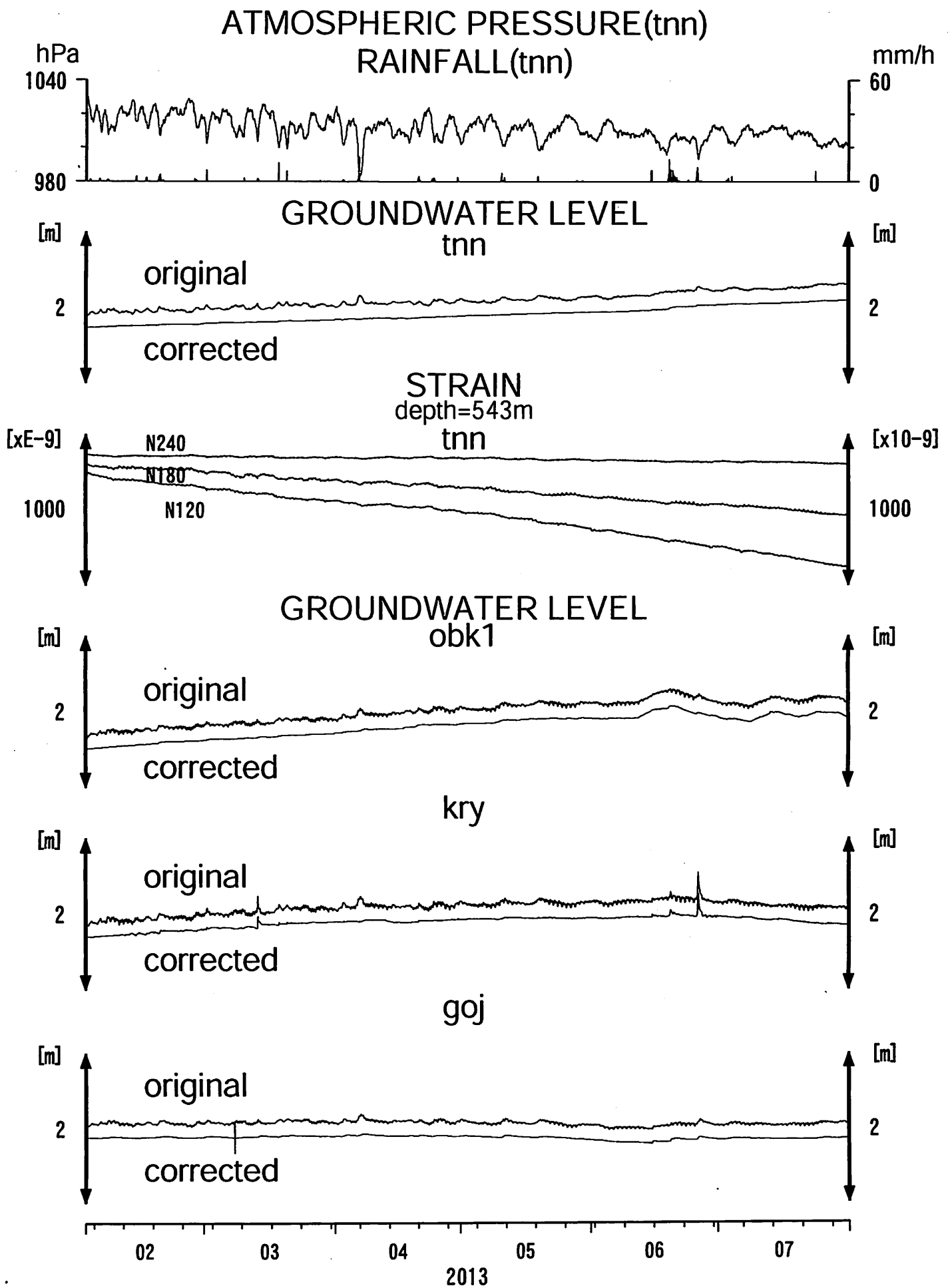


Fig.4

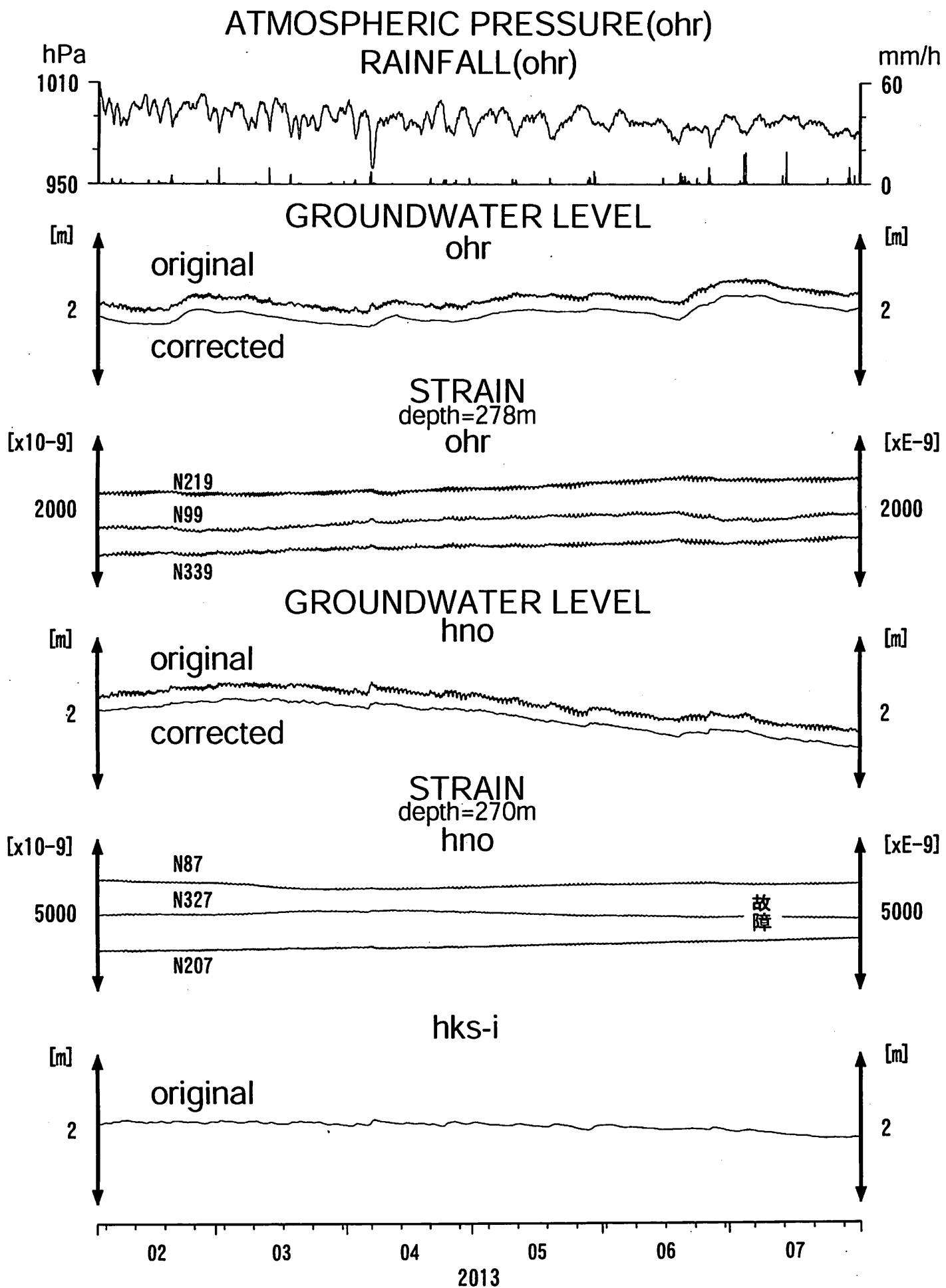


Fig.5